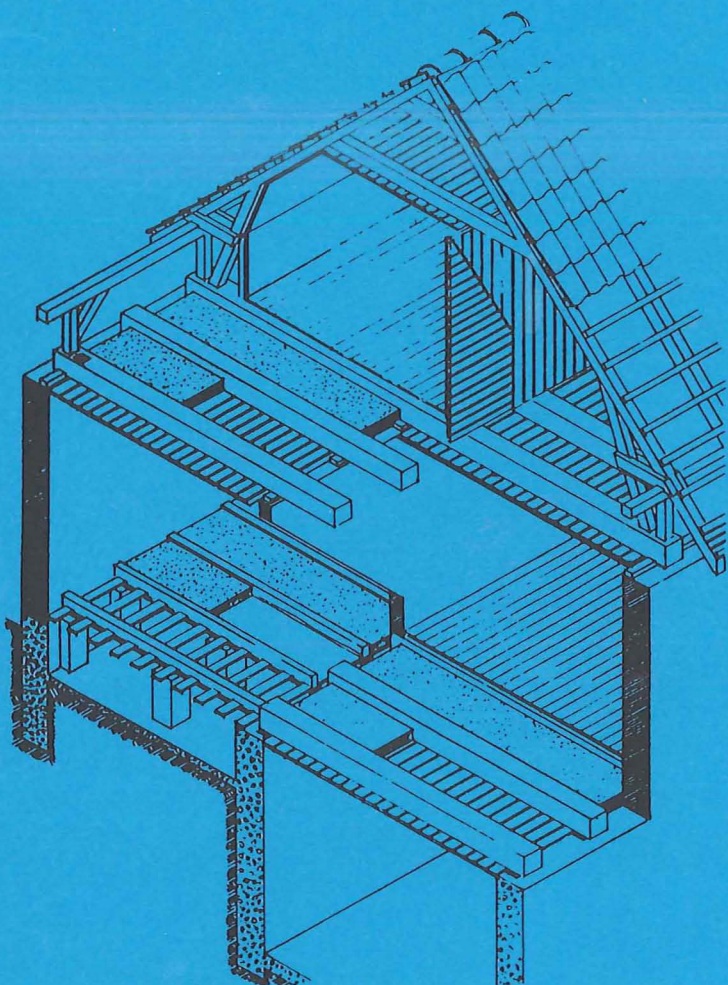


Ove Larsen

KURSUSNOTAT **5**

# STATIK OG STYRKELÆRE

Ove Larsen



BÆRENDE KONSTRUKTIONER

BYGGETEKNISK HØJSKOLE KØBENHAVN

JUNI 1994

## INDHOLD:

Last 1 - 3.

### Statik:

Understøtninger - leje.	4 - 5.
Ligevægt ydre kraeftter.	6 - 8.
Indre kraeftter	
Normalkraft N.	9 - 11.
Trækraft V.	11 - 13.
Moment M.	14 - 16.
Bjælke med enkelkraft.	17.
Bjælke med jævnit fordelt last.	18.

Sikkerhed. 19.

### Styrke/cærer:

Trækstang.	20.
Bjælker bøjning.	21 - 23.
Bjælker usymmetrisk trærsnit.	24.
Bjælker forskydning.	25 - 27.
Bjælker nedbøjning.	27 - 28.
Tryk - vederlag.	31.
<u>Søjler i træ og stål.</u>	32 - 42.

### Murvaerk:

Sten- og blokformater.	43.
Minimunstrærsnit.	43 - 45.
Sten- og blokklasser.	46.

Mørtel.	46.
Styrketal.	47.
Vederlag.	47.
Søjlefunktion.	48.
<u>Jernbetonbjælker.</u>	52 - 58.
<u>Jernbetonplader.</u>	59 - 64.
<u>Jernbetonsøjler.</u>	65 - 66.
<u>Boltsamlinger:</u>	67 - 68.
Traerlastede slipbolte.	68 - 69.
Traeklastede slipbolte.	70.
Slipbolte, træk + forskydning.	72.
Spændbolte.	73 - 74.
<u>Screjesamlinger:</u>	75 - 76.
Stumpsømme.	76 - 78.
Kantsømme.	79 - 80.
Screjesignaturer.	81 - 82.
Tilnærmet beregn. af screjs.	83 - 84
<u>Træsnitskonstanter:</u>	85 - 89.
<u>Gerberbjælker.</u>	90 - 91.
<u>Shoer bøjning.</u>	92 - 94.
<u>2-charnieres rammer</u>	95 - 98.

## Kurver og tabeller:

<u>Trae.</u>	styrke- og stivhedstal.	30.
	Søjlekurve.	39.
	Søjlers bæreevne.	41.
<u>stål.</u>	styrke- og stivhedstal.	30.
	Søjlekurve.	39.
	Søjlers bæreevne.	41.
<u>Bolte</u>	styrker.	67.
<u>i stål.</u>	Data.	68.
	Afstande.	69.
<u>Svejsning.</u>	Sømfaktorer.	76.
	Signaturer.	81.
<u>Mur værk.</u>	Styrketal.	47.
	Excentricitet.	49.
	Søjlekurve.	50.
<u>Jernbe-ton.</u>	Styrketal - armering.	54.
	Styrketal - beton.	54.
	Signaturer - armering.	54.
	Armeringsplacering.	57.
	Bjæltekammering.	53.
	Pladcarmering.	60.
	Søjlers bæreevne.	66.

## Eksempler:

Traebjælke.	29.
Traesøjle.	40.
stålspjæle.	42.
Vederlag.	47.
Murpille.	51.
Jernbetonbjælke.	38.
Jernbetonplade.	63.
Jernbetonsøjle.	66.
Slipbolt.	68, 69, 70, 72.
spædbolt.	74.
Stumpsøm.	78.
Kantsøm.	80.
Kombination af snithæfter, svoljsn.	84.
Traersnitskonstanter.	87, 88, 89.
Gerberbjælke.	91.
Skæv bøjning.	94.
Ramme.	97.

## Formler:

<u>Trae.</u>	Bjælker. søjler.	23, 27, 28, 31. 37.
<u>stål.</u>	Bjælker. søjler.	23, 27, 28. 37.
<u>Bolte i stål.</u>	Slipbolte. Spændbolte.	68, 69, 70, 72. 73, 74.
<u>Svejsning.</u>	Stumpsømme. Kantsømme.	77. 79, 80.
<u>Murværk.</u>	Søjlefunktion.	48.
<u>Jernbeton.</u>	Bjælker. Plader. søjler.	53, 55, 56. 60, 61, 62, 63. 65, 66.
<u>Traersnit.</u>		84, 85, 87.
<u>Gerber.</u>		90.
<u>skær bøjn.</u>		91, 92.



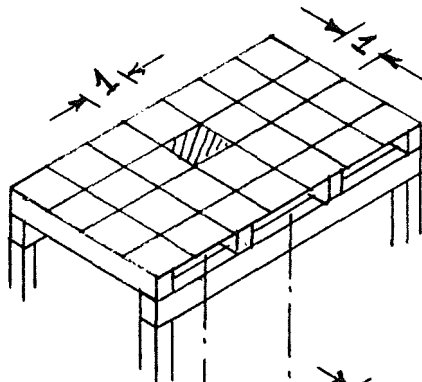
1.

## FLADELAST-LINIELAST-ENKELKRAFT.

### Last på flader:

Last på f. eks. etageadskillelser oplyses i Regi-boer 2. (DS 410) som en jævnt fordelt fladelast pr. m<sup>2</sup>.

Eks. 8kN/m<sup>2</sup>



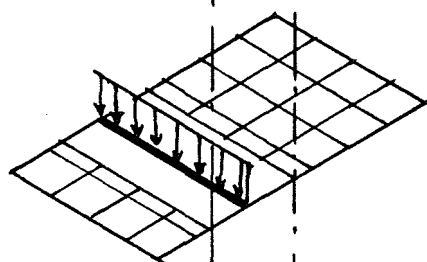
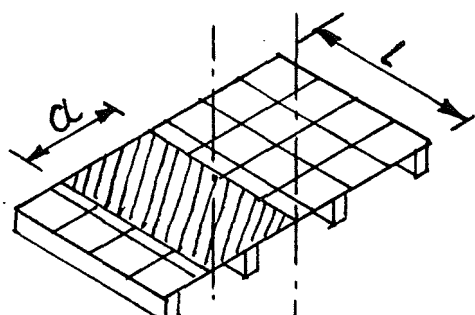
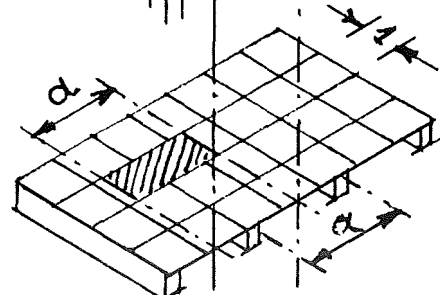
### Bjælke last:

Med bjælkeafstanden  $a$  skal hver meter af bjælekken bære lasten fra arcadelet  $1 \times a$ . ( $a = \text{lastbredde}$ ).

Den totale last bjælekken skal bære kommer fra arcadelet  $a \times l$ . ( $\text{lastarcal}$ ).

Lasten vises som en jævnt fordelt linielast.

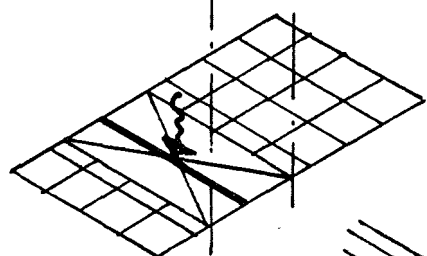
Eks.  $8 \text{ kN/m}^2 \cdot 1,6 \text{ m} = 12,8 \text{ kN/m}$ .



Eller den kan vises som totallast med en krølpil i tyngdepunktet.

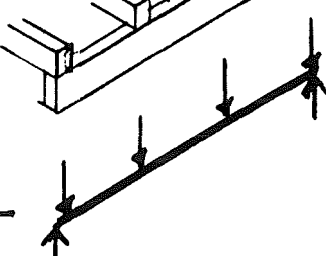
Eks.  $12,8 \text{ kN/m} \cdot 4 \text{ m} = 51,2 \text{ kN}$

Eks.  $8 \text{ kN/m}^2 \cdot 1,6 \text{ m} \cdot 4 \text{ m} = 51,2 \text{ kN}$



En bjælke kan også modtage lasten som enkelkrafter.

Eks.  $\frac{1}{2} \cdot 8 \text{ kN/m}^2 \cdot 1,6 \text{ m} \cdot 4 \text{ m} = 25,6 \text{ kN}$



2.

## TREKANTFORDELT LAST.

En bjælkelast kan også have andre former, f.eks. vil den viste vinduesbjælke modtage trapezformet last fra den overliggende mur.

Beregningen bliver lettere hvis lasten opdeles i en trekantfordelt last og en joært fordelt last, idet figurernes tyngdepunkt er kendt.

### Eks. 5:

Last fra mur  $4,0 \text{ kN/m}^2$

### Trekantfordelt Last.

$$4,0 \text{ kN/m}^2 \cdot (1,7 \text{ m} - 0,5 \text{ m}) = \underline{4,8 \text{ kN/m}}$$

### Joært fordelt last.

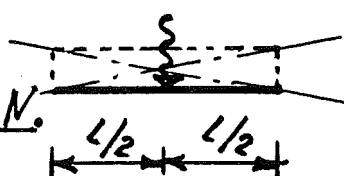
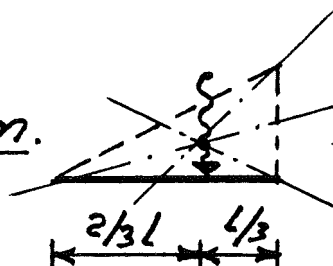
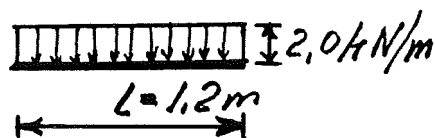
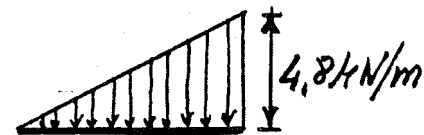
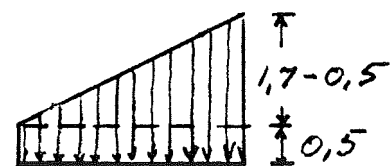
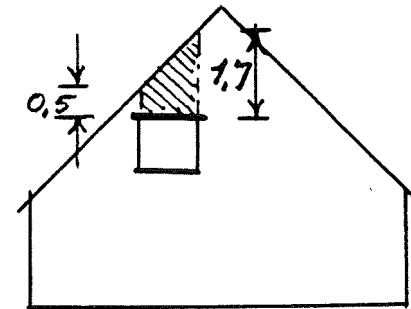
$$4,0 \text{ kN/m}^2 \cdot 0,5 \text{ m} = \underline{2,0 \text{ kN/m}}$$

### Trekantlast total.

$$\frac{1}{2} \cdot 4,8 \text{ kN/m} \cdot (1,7 \text{ m} - 0,5 \text{ m}) \cdot 1,2 \text{ m} = \underline{2,4 \text{ kN}}$$

### Joært fordelt last total.

$$0,5 \cdot 4,0 \text{ kN/m}^2 \cdot 1,2 \text{ m} = \underline{2,4 \text{ kN}}$$



3.

## LAST PÅ SKRÅ FLADER.

Tages egenlast oplyses som joævnt fordelt last pr. m<sup>2</sup> af den skrålade.

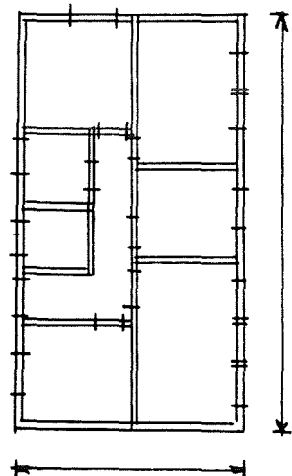
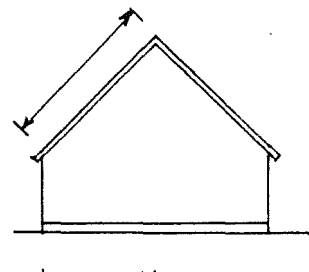
Beregningen af konstruktionerne bliver lettere hvis lasten på den skrålade omregnes til last pr. m<sup>2</sup> af tagets horizontalprojektion, idet man bl. a. derved kan benytte de vandrette bygningsmål.

1 m<sup>2</sup> af horizontalprojektionen er lig med 1/cos $\alpha$  m<sup>2</sup> af skrålade.

$$\rho_{ho.} \text{ kN/m}^2 = \rho_{sk.} \cdot \frac{1}{\cos \alpha} \text{ kN/m}^2 \Rightarrow$$

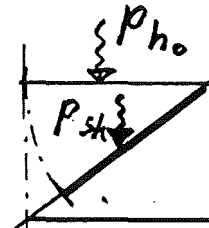
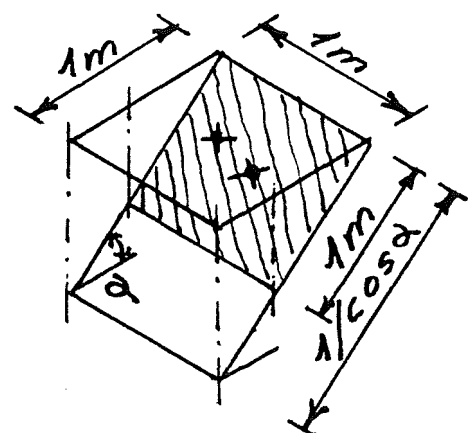
$$\boxed{\rho_{ho.} = \frac{\rho_{sk.}}{\cos \alpha} \text{ kN/m}^2}$$

Med andre ord, når lasten på den skrålade divideres med cos. til taghældningen, få's lasten pr. m<sup>2</sup> af tagets horizontalprojektion.



$$\cos \alpha = \frac{l}{sk} \Rightarrow$$

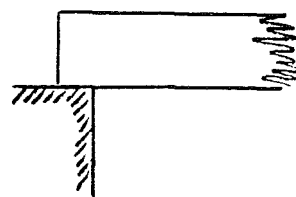
$$sk = \frac{1}{\cos \alpha}$$



4.

## UNDERSTØTNINGER.

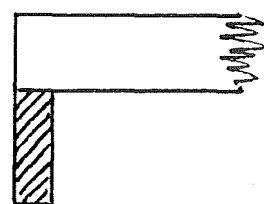
Bjælkeunderstøtninger indenfor alm. husbygning er som regel meget enkle i sin konstruktion.



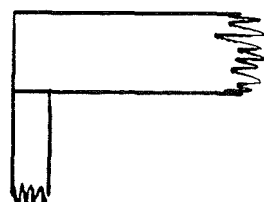
Understøtningernes formål er at forhindre at bjælken bevæger sig.

Bjælke-mur.

Da betingelsen for at beregne en bjælke som statisk bestemt, d.v.s. ved hjælp af de tre ligevægtligninger, er konstruktionens udførelse meget forenklet i forhold til de statiske betingelser.



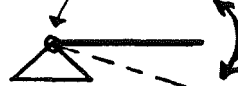
Bjælke-draeger.



Bjælke-søjle.

### Simpel understøtning.

Charnier  
Hængsellede



Denne sikrer at bjælken frit kan dreje så der ikke opstår momenter.

### Fast simpel understøtn.

Denne kan optage kroeftter i vilkårlig retning, som dog næsten



5.

altid oplosses i en vandret reaktion  $H_A$  og en lodret reaktion  $V_A$ . Hvor index A refererer til understøtningspunkt og H = horizontal (vandret) og V = vertikal (lodret).

Understøtningen forhindrer altså både lodret og vandret bevoegelse.

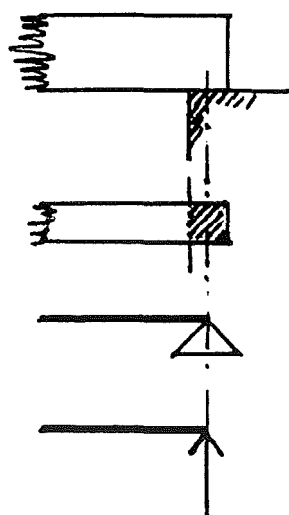
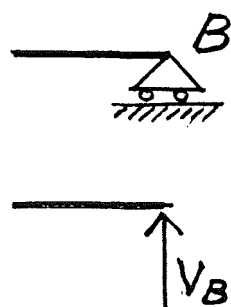
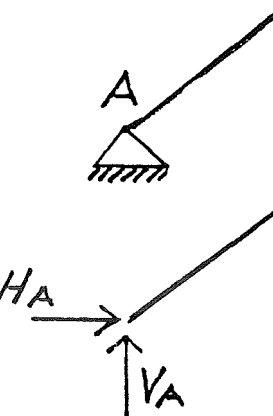
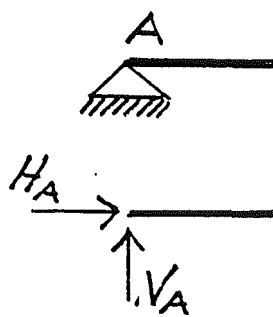
### Bewegeelig simpel understøtning.

Denne kan kun optage kraeftter vinkelret på lejefloden (ruller eller glideflade).

Understøtningen forhindrer altså kun lodret bevoegelse.

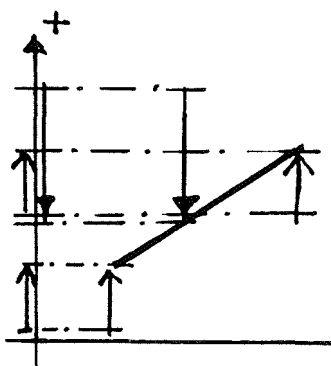
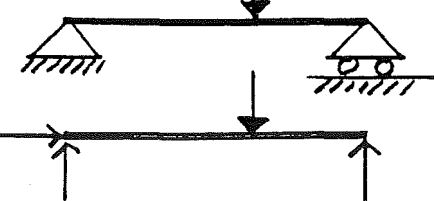
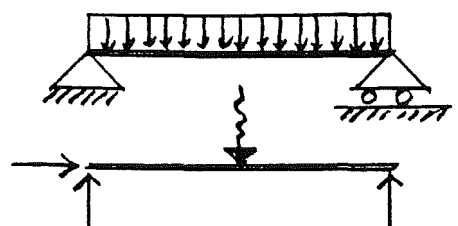
### Lejeflade.

Reaktionerne  $V_A$  og  $V_B$ 's beliggenhed er i lejefladens tyngdepunkt.



## LIGEVÆGT.

Statisk bestemte bjælker regnes ved hjælp af ligevægtsligningerne, h.v.s. der må kun være 3 ukendte. Den simpelt understøttede bjælke har 2 understøtninger med i alt 3 reaktioner.



$$\uparrow \Sigma V = 0:$$

Ingen lodret bevægelse, positiv opad.

$$\rightarrow^+ \Sigma H = 0:$$

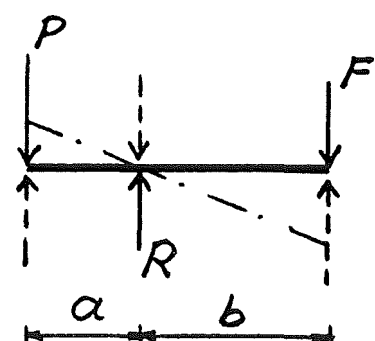
Ingen vandret bevægelse, positiv mod højre.

$$\nearrow \Sigma M = 0/A:$$

Ingen rotation, positiv med uret, A er omdrejningspunkt.

$$P \cdot a = F \cdot b \Rightarrow$$

$$F \cdot b - P \cdot a = 0 = \nearrow \Sigma M = 0/R$$



7.

Eks. 6:

$$\sum H = 0 : H_A = 0 \text{ kN.}$$

$$\sum M = 0 \text{ } \downarrow A :$$

$$10 \text{ kN} \cdot 1 \text{ m} - V_B \text{ kN} \cdot 4 \text{ m} = 0 \Rightarrow$$

$$V_B = \frac{10 \cdot 1 \text{ kNm}}{4 \text{ m}} = 2,5 \text{ kN}$$

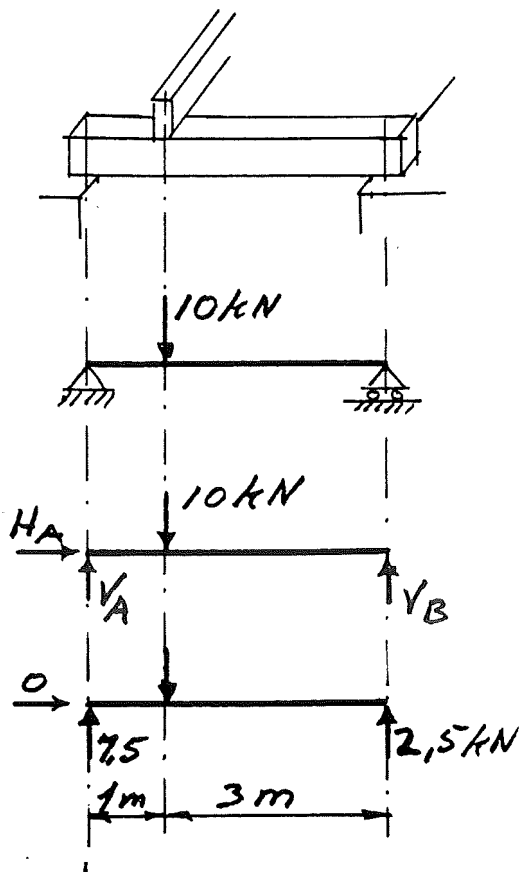
$$\sum M = 0 \text{ } \downarrow B :$$

$$V_A \text{ kN} \cdot 4 \text{ m} - 10 \text{ kN} \cdot 3 \text{ m} = 0 \Rightarrow H_A$$

$$V_A = \frac{10 \cdot 3 \text{ kNm}}{4 \text{ m}} = 7,5 \text{ kN}$$

Kontrol

$$\sum V = 0 : 7,5 - 10 + 2,5 = 0$$

Eks. 7:

$$\text{Total last. } 2 \text{ kN/m} \cdot 4 \text{ m} = 8 \text{ kN.}$$

$$\sum M = 0 \text{ } \downarrow A :$$

$$(2 \cdot 4) \text{ kN} \cdot 2 \text{ m} - V_B \text{ kN} \cdot 4 \text{ m} = 0 \Rightarrow$$

$$V_B = \frac{2 \cdot 4 \cdot 2 \text{ kNm}}{4 \text{ m}} = 4 \text{ kN}$$

$$\sum M = 0 \text{ } \downarrow B :$$

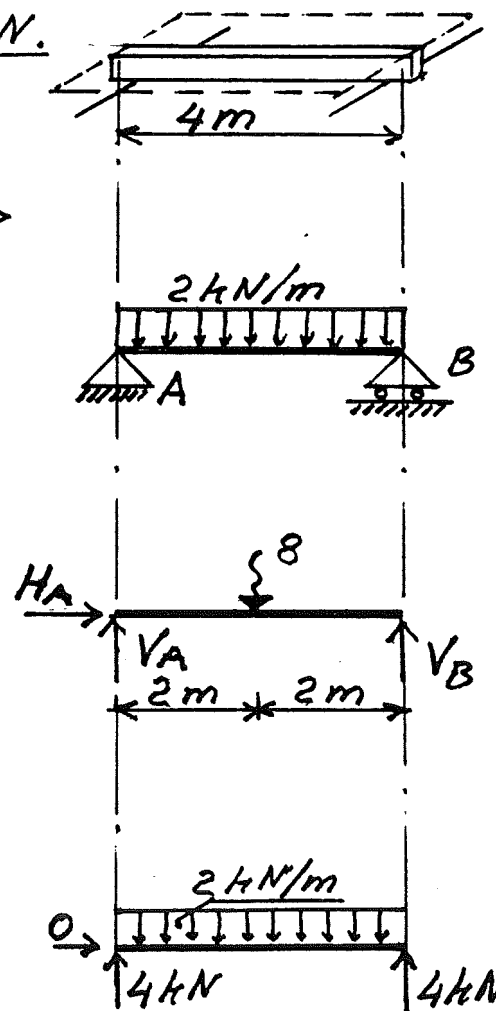
$$V_A \text{ kN} \cdot 4 \text{ m} - (2 \cdot 4) \text{ kN} \cdot 2 \text{ m} = 0 \Rightarrow$$

$$V_A = \frac{2 \cdot 4 \cdot 2 \text{ kNm}}{4 \text{ m}} = 4 \text{ kN}$$

Kontrol

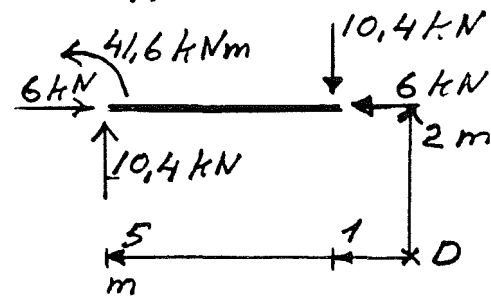
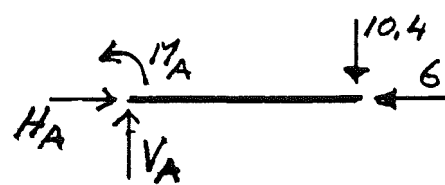
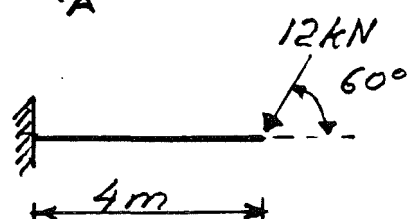
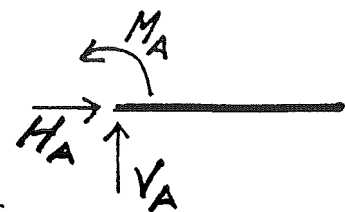
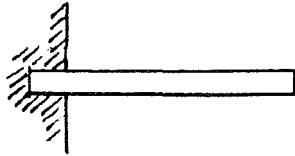
$$\sum V = 0 : 4 - 2 \cdot 4 + 4 = 0$$

$$\sum H = 0 : H_A = 0$$



## Indspændt understøtning.

Med denne understøtning etableres en fuldstændig fast forbindelse, hvilket vil sige at den kan optage både vandrette og lodrette krafte samt moment, altså ingen lodret berægning, ingen vandret berægning og ingen rotation.



### Eks. 8:

$$F_H = 12 \cdot \cos 60^\circ = 6,0 \text{ kN}$$

$$F_V = 12 \cdot \sin 60^\circ = 10,4 \text{ kN}$$

$$\sum V = 0 : V_A - 10,4 = 0 \Rightarrow V_A = 10,4 \text{ kN}$$

$$\sum H = 0 : H_A - 6,0 = 0 \Rightarrow H_A = 6,0 \text{ kN}$$

$$\sum M = 0 : A : -M_A + 10,4 \cdot 4 = 0 \Rightarrow$$

$$M_A = 10,4 \cdot 4 = 41,6 \text{ kNm}$$

### Kontrol:

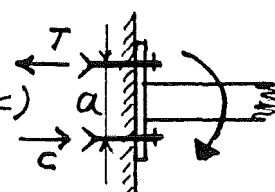
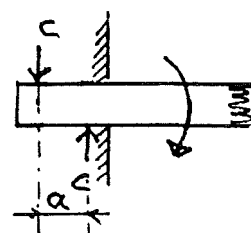
$$\sum M = 0 : D :$$

$$6 \cdot 2 + 10,4 \cdot 5 - 41,6 - 10,4 \cdot 1 - 6 \cdot 2 = 0$$

Indspændingsmomentet

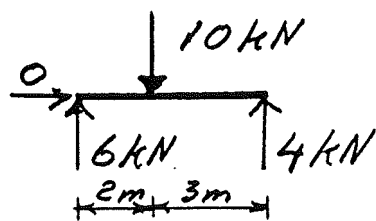
optages som træk ( $T$ ) - tryk ( $C$ )

$$T = C = \frac{M}{\alpha}$$



## INDRE KRAEFTER I BJÆLKER.

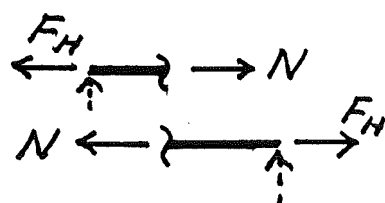
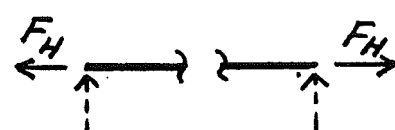
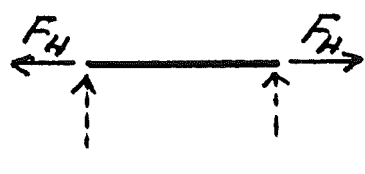
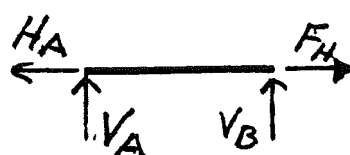
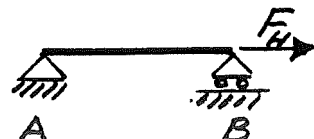
Last og reaktioner er bjælkenes ydre kraefter.



For at kunne bestemme en bjælkes dimension er det nødvendigt at kende dens indre kraefter.

Hvis der f. eks. bliver trukket i en bjælke med kraften  $F_H$  bliver reaktionen  $H_A = F_H$  bjælken forbinder, altså de 2 kraefter  $F_H$ .

Skaeres bjælken over, vil de 2 dele bøve sig bort fra hinanden, der må altså være kraefter inde i bjælken der forhindrer denne bevægelse, og for at finde disse kraefter benyttes snitprincippet, hvilket vil sige bjælken tænkes snittet over, og de kraefter der tilføjes i snittet, benæernes her hvor de er ≠ med bjælkeaksen, for normalkrafter  $N$ .



10.

Ved nu at bruge ligevegt-ligningen:  $\sum H = 0$  findes snitkraften  $N$ .

$$\sum H = 0: -F_H + N_c = 0 \Rightarrow \underline{N_c = F_H}.$$

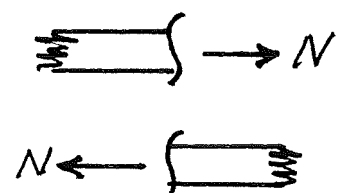
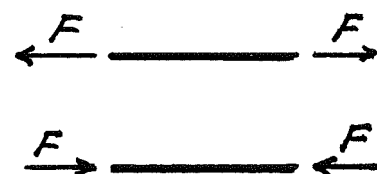
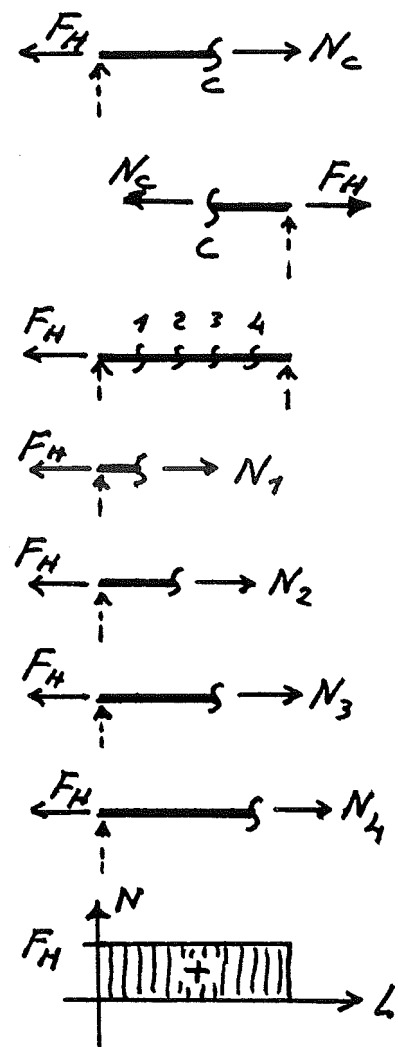
$$\sum H = 0: -N_c + F_H = 0 \Rightarrow \underline{N_c = F_H}.$$

Ved nu at lægge snit passende steder i bøjelken, kan forløbet af normalkrafterne bestemmes, og vises på en kurve. Den viste bøjelke/trækstang har i alle snit  $N = F_H$ . Her hvor der er træk i bøjelken er normalkraften positiv, og tilsvarende er den negativ normalkraft når den er tryk i bøjelken.

$+N = \text{træk}$
$-N = \text{tryk}$

For at dette bliver rigtigt, skal snitpilen altid vise bort fra snittet.

Normalkraften i et snit vil altid være lig summen af kroefterne til henholdsvis høje og venstre for snittet.



Alt efter den last der er på en bjælke, er der mulighed for 3 typer snitkraeftter: normalkraft  $N$ , tværkraft  $V$  og moment  $M$ .

Tværkraften  $V$  er en snitkraft vinkelret på bjælkeaksen, og den findes ved  $\sum V = 0$ .

$$\text{t} \sum V = 0: V_A - V_1 = 0 \Rightarrow \underline{V_1 = V_A}$$

$$\text{t} \sum V = 0: V_1 - F_V + V_B = 0 \Rightarrow \underline{V_1 = F_V - V_B}$$

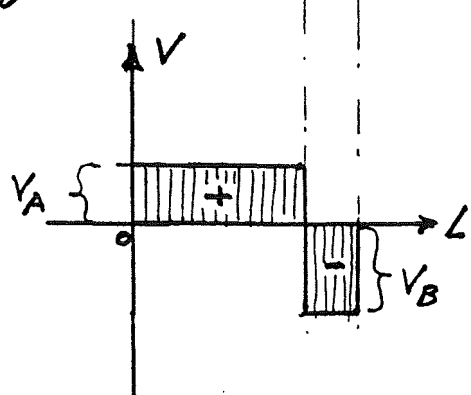
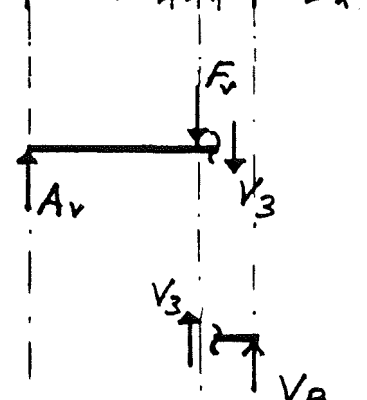
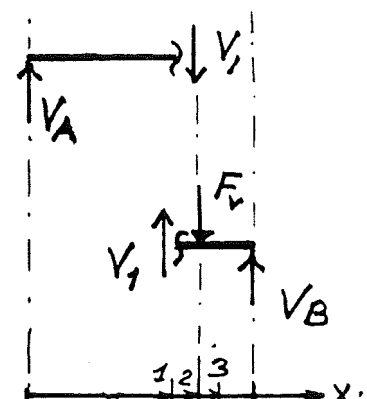
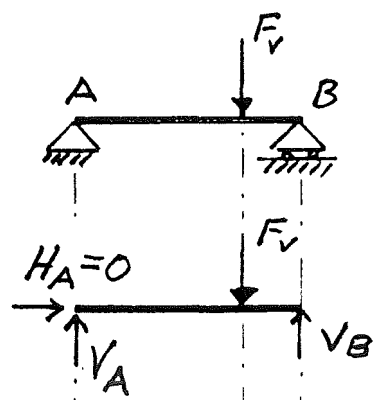
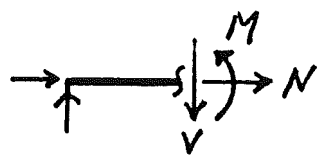
Begge ligninger gælder ikke kun for det riste snit, men i hele området.  $0 \leq x \leq L$

$$\text{t} \sum V = 0: V_A - F_V - V_3 = 0 \Rightarrow \underline{V_3 = V_A - F_V}$$

$$\text{t} \sum V = 0: V_3 + V_B = 0 \Rightarrow \underline{V_3 = -V_B}$$

Her gælder begge ligninger for området.  $2 \leq x \leq L$ .

$V$ -kurven kan derefter tegnes ud fra de beregnede tværkrafters størrelse.



Eks. 9:

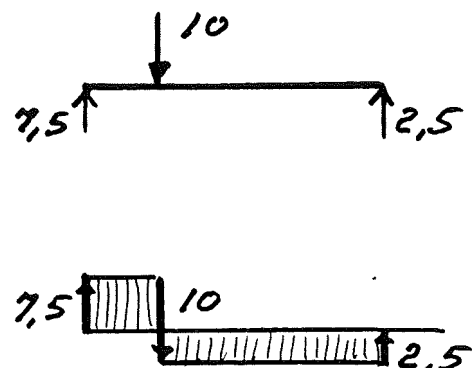
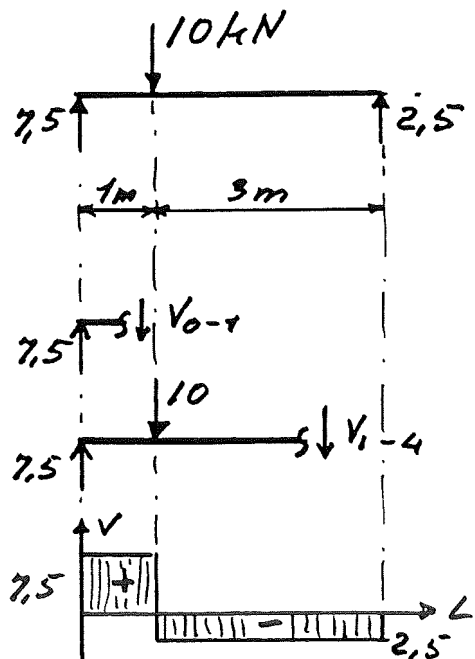
Forsøttelse af eks. 6.

$$\sum V = 0: 7,5 - V_{0-1} = 0 \Rightarrow V_{0-1} = 7,5 \text{ kN}.$$

$$\sum V = 0: 7,5 - 10 - V_{1-4} = 0 \Rightarrow V_{1-4} = -2,5 \text{ kN}.$$

Men der er også en enkle  
re måde, idet frækkraf-  
turven i et hvert punkt vi-  
ser summen af bjælkenens  
ydre kraeftter til venstre  
eller til højre, hvilket  
resultere i at en enkel-  
kraft på bjælken giver  
et spring i kurven, og  
der hvor der ingen last  
er vil kurven være vand-  
ret. Dette betyder at kur-  
ven kan tegnes uden be-  
regning.

For at få rigtigt fortegn  
skal snitpilen vendes ned-  
ad for ligevægt af venstre  
del, og opad for ligevægt  
på højre del.



13.

Eks. 10:

Forsøttelse af eks. 7.

$$\uparrow \sum V = 0: 4 - V_0 = 0 \Rightarrow V_0 = 4 \text{ kN}.$$

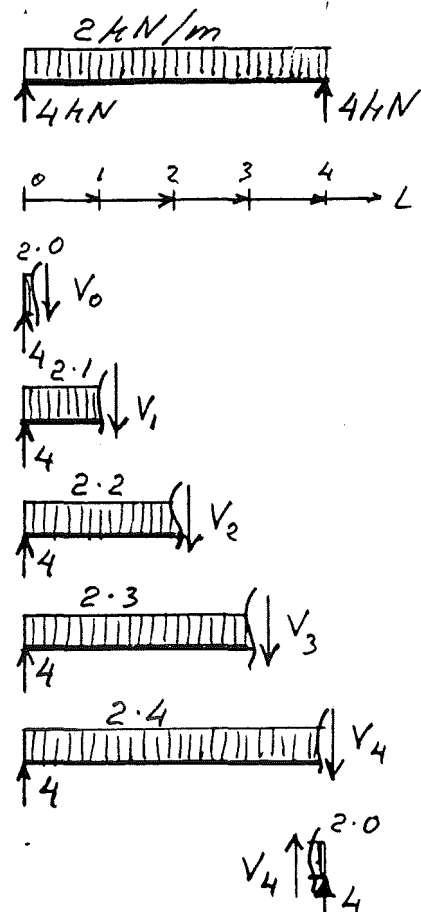
$$\uparrow \sum V = 0: 4 - 2 \cdot 1 - V_1 = 0 \Rightarrow V_1 = 2 \text{ kN}.$$

$$\uparrow \sum V = 0: 4 - 2 \cdot 2 - V_2 = 0 \Rightarrow V_2 = 0 \text{ kN}.$$

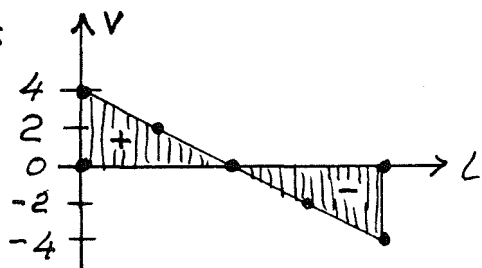
$$\uparrow \sum V = 0: 4 - 2 \cdot 3 - V_3 = 0 \Rightarrow V_3 = -2 \text{ kN}.$$

$$\uparrow \sum V = 0: 4 - 2 \cdot 4 - V_4 = 0 \Rightarrow V_4 = -4 \text{ kN}.$$

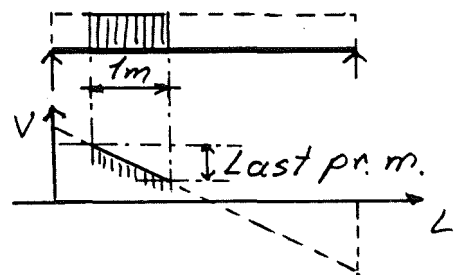
$$\uparrow \sum V = 0: 4 + V_4 = 0 \Rightarrow V_4 = -4 \text{ kN}.$$



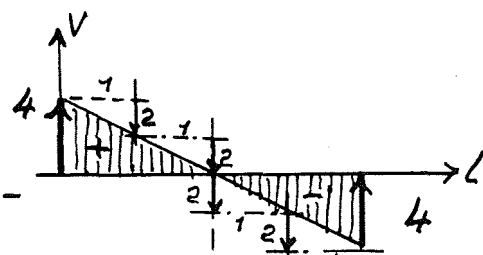
V-kurven vil når den tegnes ved hjælp af de beregnede punkter være trekantformet.



Kurvens hældning er lig med den jævnt fordelte Last pr. meter.



Også for en bjælke med jævt fordelt last kan V-kurven tegnes uden beregning.

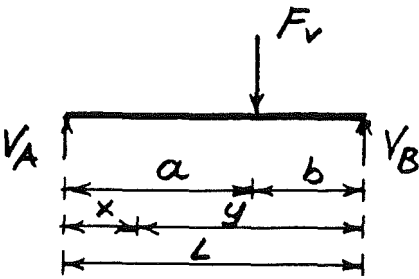


14.

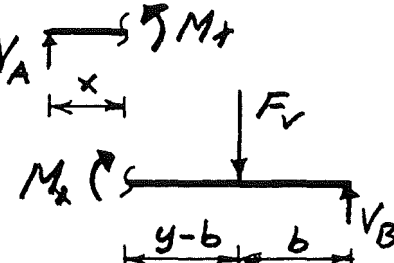
## Momentet $M$ .

Snitmomentet findes ved  
 $\Sigma M = 0$ .

$$\text{P} \Sigma M = 0 \text{ } \leftarrow_x: V_A \cdot x - M_x = 0 \Rightarrow \underline{M_x = V_A \cdot x}.$$



$$\text{P} \Sigma M = 0 \text{ } \leftarrow_x: M_x + F_v(y-b) - V_B \cdot y = 0 \Rightarrow$$

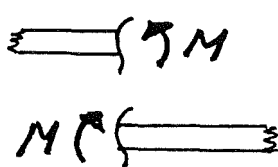
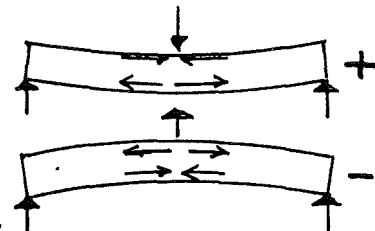


$$\underline{M_x = V_B \cdot y - F_v(y-b)}.$$

## Fortegnsregel.

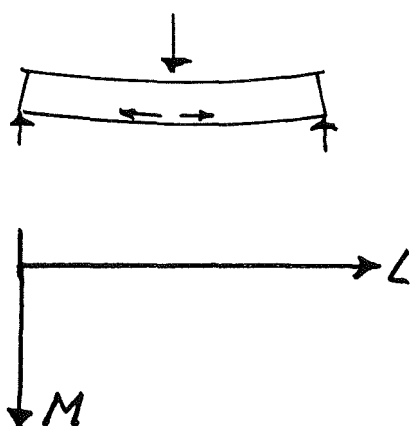
Når momentet i en bjælke  
er positivt, vil der være  
træk i undersiden af bjæl-  
ken og tryk i oversiden.

For at dette bliver rigtigt,  
skal snitmomentpilen dre-  
je mod uret for venstre  
bjælkedel og med uret  
for højre bjælkedel.



## Momentkurve.

For at markere sam-  
menhængen mellem  
positivt moment - træk  
i undersiden - nedbøj-  
ning, vælges M-kurvens  
positive retning nedad.



15.

Eks. 11.

Forsøttelse af eks. 9.

$$\text{F}\sum M = 0 \text{ at } 0: 7,5 \cdot 0 - M_0 = 0 \Rightarrow M_0 = 0$$

$$\text{F}\sum M = 0 \text{ at } 1: 7,5 \cdot 1 - M_1 = 0 \Rightarrow M_1 = 7,5 \text{ kNm}$$

$$\text{F}\sum M = 0 \text{ at } 2: 7,5 \cdot 2 - 10 \cdot 1 - M_2 = 0 \Rightarrow$$

$$M_2 = 5,0 \text{ kNm}$$

$$\text{F}\sum M = 0 \text{ at } 3: 7,5 \cdot 3 - 10 \cdot 2 - M_3 = 0 \Rightarrow$$

$$M_3 = 2,5 \text{ kNm}$$

$$\text{F}\sum M = 0 \text{ at } 4: 7,5 \cdot 4 - 10 \cdot 3 - M_4 = 0 \Rightarrow$$

$$M_4 = 0$$

Momentkurven bliver ret-linet med sit maximum ved kraftens angrebspunkt.

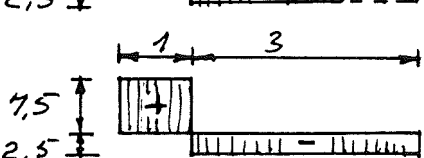
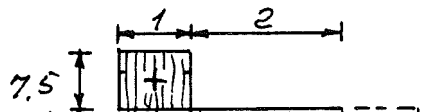
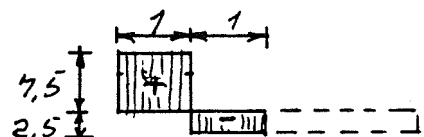
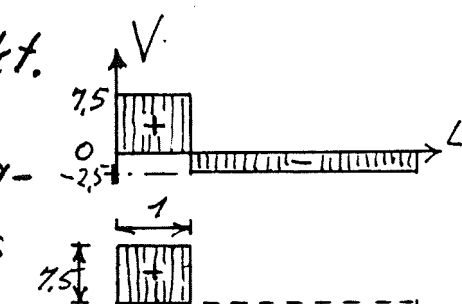
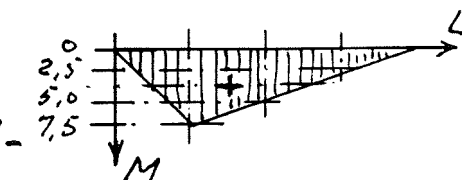
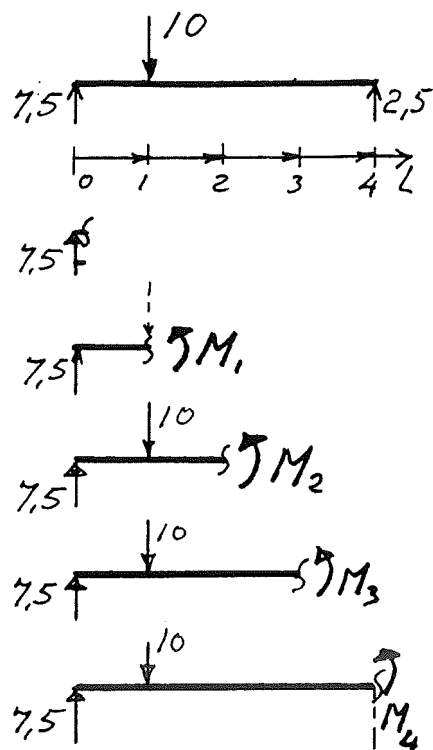
Bjælkenes moment kan også beregnes af V-kurvens areal.

$$M_1 = 7,5 \cdot 1 = 7,5 \text{ kNm}$$

$$M_2 = 7,5 \cdot 1 - 2,5 \cdot 1 = 5 \text{ kNm}$$

$$M_3 = 7,5 \cdot 1 - 2,5 \cdot 2 = 2,5 \text{ kNm}$$

$$M_4 = 7,5 \cdot 1 - 2,5 \cdot 3 = 0$$



Eks. 12:

Forsættelse af eks. 10.

$$\text{P} \sum M = 0 \downarrow_1 : 4 \cdot 1 - (2 \cdot 1) \cdot 0,5 - M_1 = 0 \Rightarrow$$

$$\underline{M_1 = 3 \text{ kNm.}}$$

$$\text{P} \sum M = 0 \downarrow_2 : 4 \cdot 2 - (2 \cdot 2) \cdot 1 - M_2 = 0 \Rightarrow$$

$$\underline{M_2 = 4 \text{ kNm.}}$$

$$\text{P} \sum M = 0 \downarrow_3 : 4 \cdot 3 - (2 \cdot 3) \cdot 1,5 - M_3 = 0 \Rightarrow$$

$$\underline{M_3 = 3 \text{ kNm.}}$$

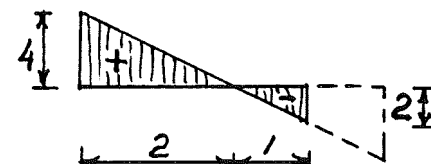
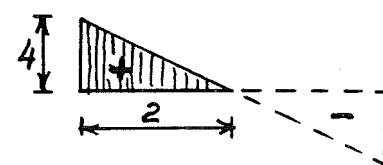
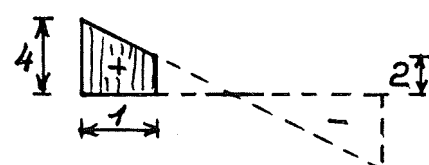
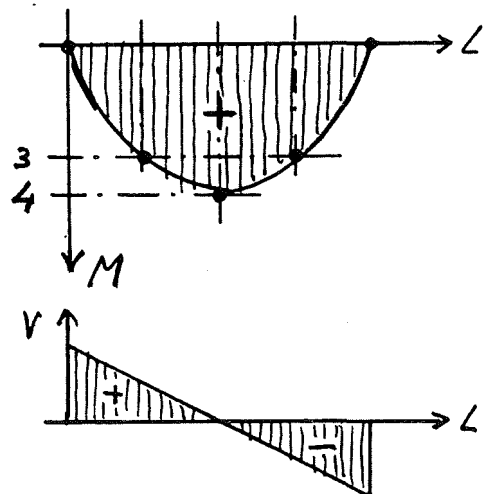
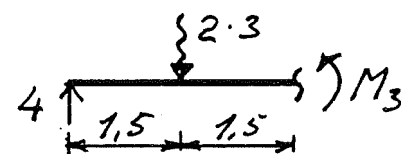
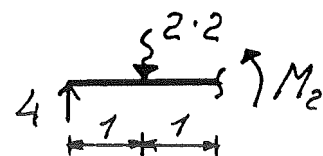
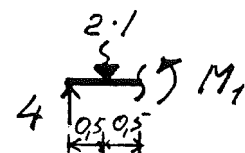
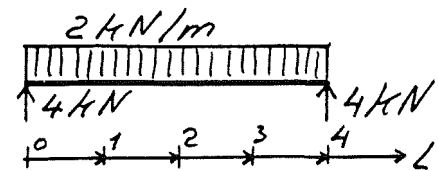
For bøjelker med jævnt fordelt last bliver M-kurven parabelformet.

Bøjelkens moment beregnet af V-kurvrens areal.

$$M_1 = \frac{1}{2} (4+2) \cdot 1 = \underline{3 \text{ kNm.}}$$

$$M_2 = \frac{1}{2} \cdot 4 \cdot 2 = \underline{4 \text{ kNm.}}$$

$$M_3 = \frac{1}{2} \cdot 4 \cdot 2 - \frac{1}{2} \cdot 2 \cdot 1 = \underline{3 \text{ kNm.}}$$



Sammenfatning.Konstruktion.statisk model.**Formler T.S. s. 98-10**Frit legeme.

$$V_A = 10 \text{ kN} \cdot 3 \text{ m} / 4 \text{ m} = 7,5 \text{ kN}$$

$$V_B = 10 \text{ kN} \cdot 1 \text{ m} / 4 \text{ m} = 2,5 \text{ kN}$$

V-kurve. (Troerkraeftter).

$$V_{\max} = V_A = 7,5 \text{ kN}$$

M-kurve. (Momenter).

$$M_{\max} = 10 \text{ kN} \cdot 1 \text{ m} \cdot 3 \text{ m} / 4 \text{ m} = 7,5 \text{ kNm}$$

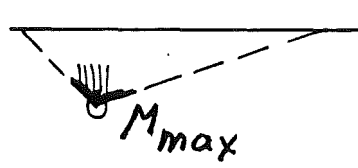
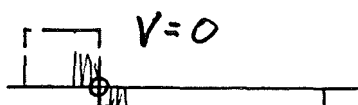
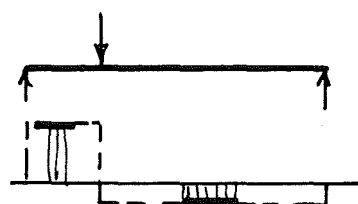
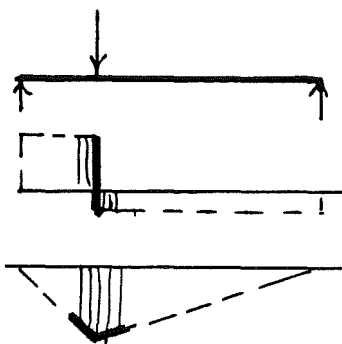
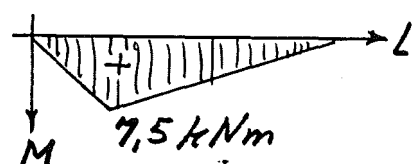
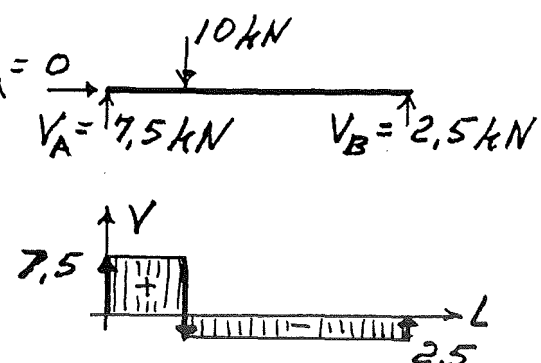
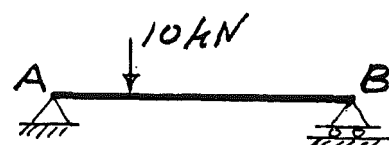
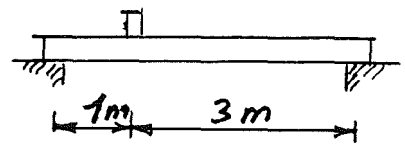
Bemerk.

Hvor der er enkeltkraft på bjælken, har V-kurven et spring, og M-kurven et knæk.

Hvor bjælken er ubelastet er V-kurven vandret og M-kurven joernt voksende ved positiv troerkraft og joernt aftagende ved negativ troerkraft.

Hvor V-kurven skoerer o-akssen vender M-kurven, h.v.s.

$M_{\max}$ , eller  $M_{\min}$ .



Konstruktion.statisk model.**Formler T.S. s. 95-1**Frit legeme.

$$V_A = V_B = \frac{1}{2} \cdot 2 \text{ kN/m} \cdot 4 \text{ m} = \underline{4 \text{ kN}}$$

V-kurve.

$$V_{\max} = V_A = V_B = \underline{4 \text{ kN}}$$

M-kurve.

$$M_{\max} = \frac{1}{8} \cdot 2 \text{ kN/m} \cdot 4^2 \text{ m} = \underline{4 \text{ kNm}}$$

Bemærk.

Hvor der er jævnt fordelt last på bjælken er V-kurven jævnt faldende, og M-kurven parabelformet.

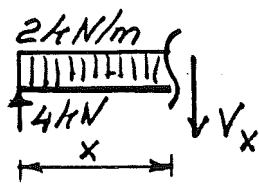
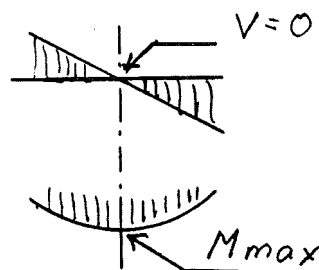
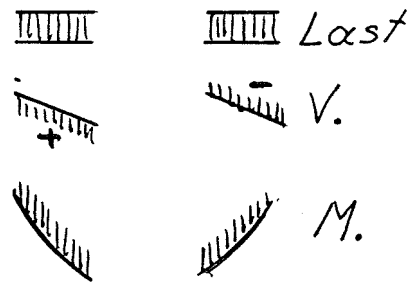
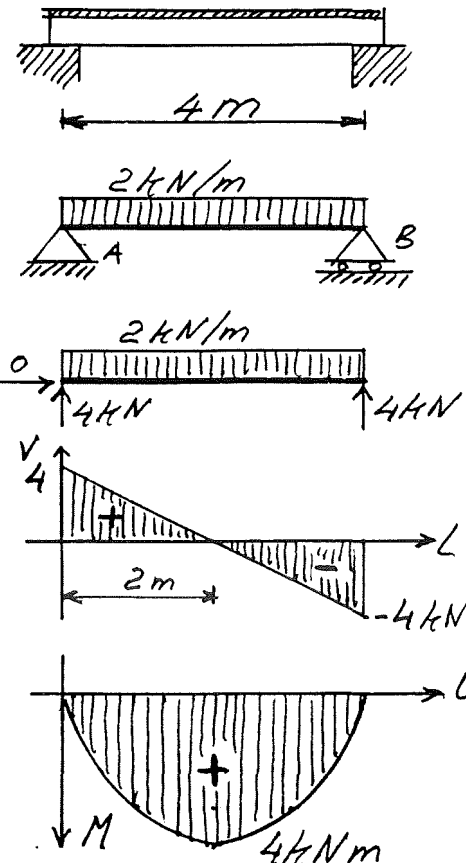
Hvor V-kurven skører O-aksen vender M-kurven, h.v.s.  $M_{\max}$ , eller  $M_{\min}$ .

$$V=0$$

$$\uparrow \Sigma V=0: 4 \text{ kN} - 2 \text{ kN/m} \cdot x \text{ m} - V_x = 0 \Rightarrow$$

$$V_x = 0$$

$$x = \frac{4 \text{ kN}}{2 \text{ kN/m}} = \underline{2 \text{ m}}$$



## Sikkerhed.

Bjælker, søjler o.s.v. skal ikke kun holde til den last de skal bære. De skal af sikkerhedsgrunde kunne bære mere, sikkerheden indføres ved at gange lasten med en  $r_d$  partiaalkoefficient & hvis størrelse er afhængig af lastart og flere andre ting.

Last med sikkerhed er regningsmæssig, hvilket vises med index d.

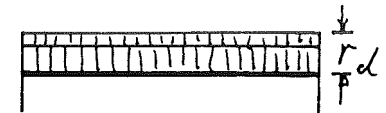
Pensum vedrørende last og sikkerhed se Regi 2.

Snitkroefter for regningsmæssig last får også index d

Regn. trækraft  $V_d$

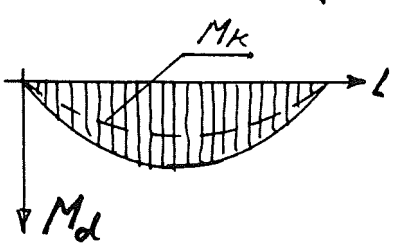
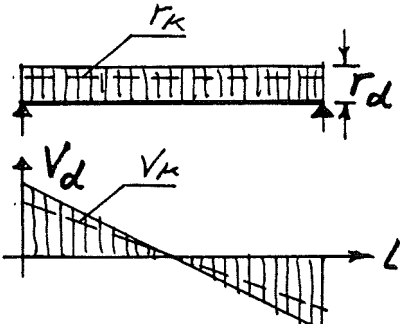
" moment  $M_d$

" normalkraft  $N_d$



$$r_d = g + 1,3 q.$$

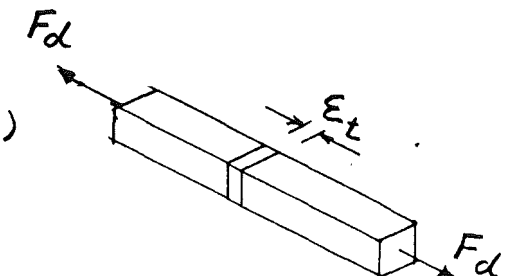
$$r_d = g + 1,3 s.$$



## Styrkeløbere.

### Trækstænger.

Hvis normalkraften i en stang er positiv (+) er det en trækstang.

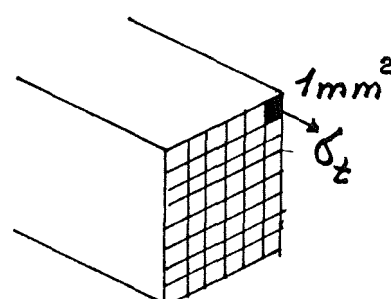
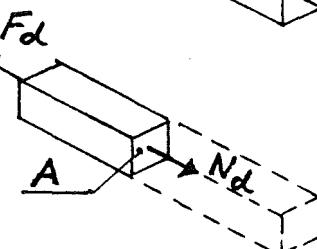
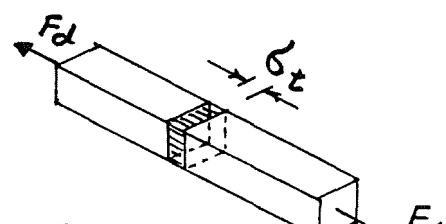
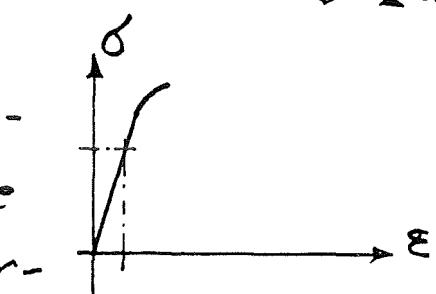


Ved trækket bliver stangen længere, og deformationsen  $\epsilon_t$  (epsilon) vil være lige stor over hele trærsnittet A. Ifølge Hooks Lov vil der så også være lige store spændinger  $\sigma_t$  (sigma) over hele trærsnittet. Med spændingsenheden  $Mpa = N/mm^2$  vil  $\sigma_t$  være den trækkraft der er på hver  $mm^2$  i trærsnittet. Summen af spændinger er lig med normalkraften.

$$\sigma_t \cdot A = N_d \Rightarrow$$

$$\sigma_t = \frac{N_d}{A} N/mm^2 \in \text{styrke}$$

Som så er spændingsformen for trækstænger.



## Bjælker.

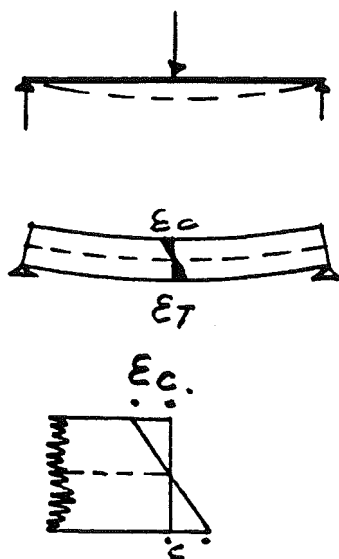
Når en bjælke belastes deformerer den. Den bøjer ned og bliver ør ved kortere i oversiden  $E_c$  og længere i undersiden  $E_T$ , i midten af tværsnittet er deformationen nul. (nulllinjen).

Hvor bjælken bliver kortere er der tryk  $c$ , og hvor bjælken bliver længere er der træk  $t$ .

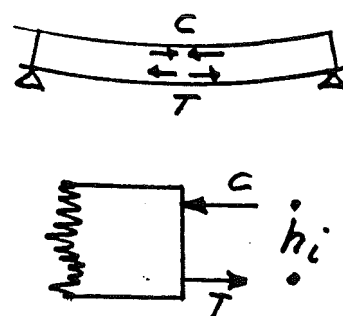
Da  $\Sigma H = 0$  er  $c = t$  hvilket vil sige at  $c$  og  $t$  er et kraftpar/moment

Ifølge Hooke's lov er der for et elastisk materiale (f. eks. træ) proportionalitet mellem deformationerne  $\epsilon$  og spændingerne  $\sigma$  (sigma). Dette betyder at spændingsfiguren har facon som deformationsfiguren.

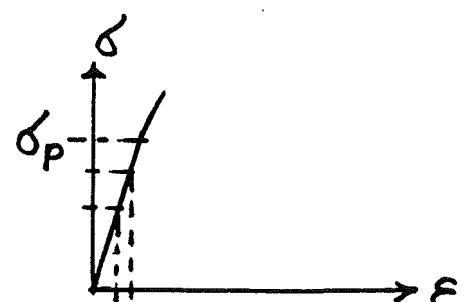
Lasten på en bjælke forårsager altså et



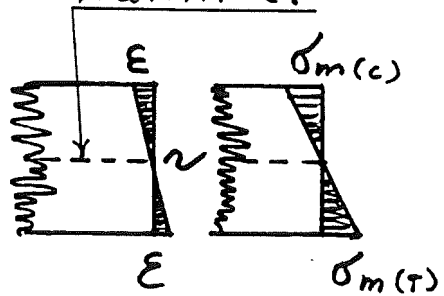
$\epsilon = \text{Epsilon}$ .



$$\frac{c}{h_i} = \frac{t}{T} = \sigma_{c \cdot h_i}^M$$



Nulllinie.



$\epsilon$

$\sigma_m(t)$

moment der af bjælken optages som et kraftpar der giver bjælken spændinger.

$$\sum H = 0 \Rightarrow C = T$$

$$\sum M = 0 \Rightarrow M = C \cdot h_i = T \cdot h_i$$

$$C = \frac{1}{2} \cdot b \cdot h/2 \cdot \delta_{m(c)} = \frac{1}{4} \cdot b \cdot h \cdot \delta_{m(c)}$$

$$h_i = 2 \cdot \frac{2}{3} \cdot h/2 = \frac{2}{3} \cdot h$$

$$M = C \cdot h_i$$

$$M = \frac{1}{4} \cdot b \cdot h \cdot \delta_{m(c)} \cdot \frac{2}{3} \cdot h = \frac{1}{6} \cdot b \cdot h^2 \cdot \delta_{m(c)}$$

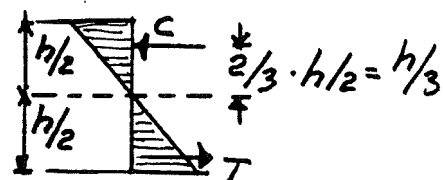
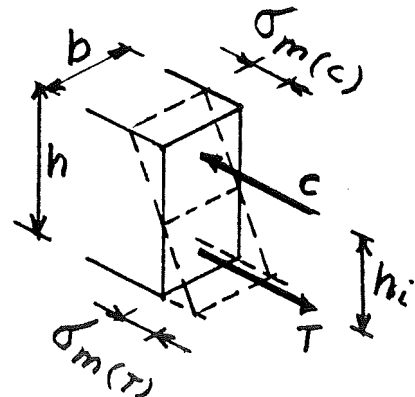
$$\delta_{m(c)} = \frac{M}{\frac{1}{6} \cdot b \cdot h^2}$$

$$\text{Da } C = T \text{ er } \delta_{m(c)} = \delta_{m(T)}$$

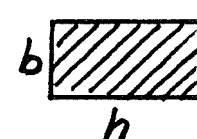
h.v.s. træk- og trykspændingerne er lige store  
derfor  $\delta_{m(c)} = \delta_{m(T)} = \delta_m$

$\frac{1}{6} \cdot b \cdot h^2 = W$  modstands-  
moment for et rekt-  
angulært tværsnit.

Tværsnit på højhant har  
størst modstandsmoment.



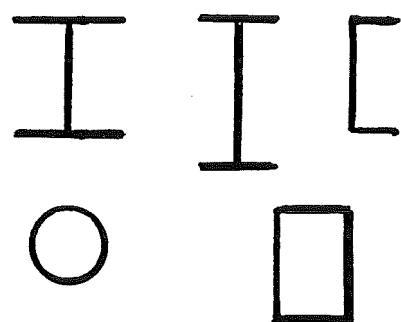
$$W_{max} = \frac{1}{6} \cdot b \cdot h^2$$



$$W_{min} = \frac{1}{6} \cdot h \cdot b^2$$

Forskellige tværsnits  
modstandsmonenter  
findes i teknisk ståbi.

$$\delta_m = \frac{M}{W}$$



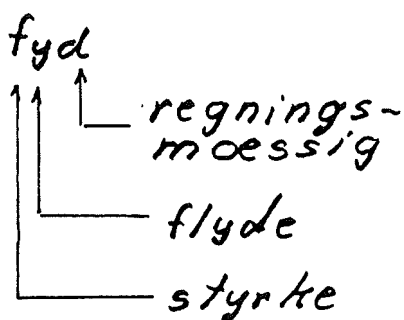
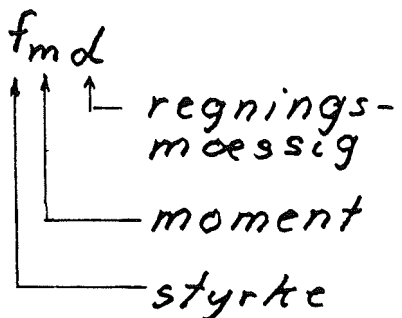
Den spænding der opstår i den belastede bjælke må ikke overskride bjælkematerialets regningsmæssige styrke ( $f$ ), som findes af den karakteristiske styrke divideret med en partialkoefficient ( $\gamma$ ). (gamma)

$$\text{Træ: } f_{md} = \frac{f_{mk}}{\gamma}$$

$$\text{Stål: } f_{yd} = \frac{f_y}{\gamma}$$

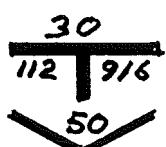
For træ er den karakteristiske styrke bestemt ved sortering:

Styrke-klasse  $\left\{ \begin{array}{l} K30 \\ K24 \end{array} \right\}$  T-virke  
 $K18 - U/K - DK18$

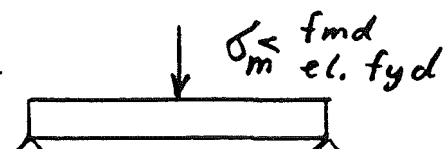
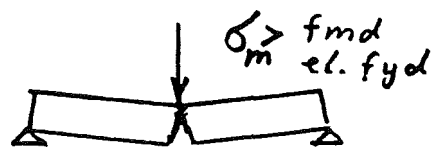


Stål fremstilles i forskellige styrkeklasser:

Fe 360, Fe 430 og Fe 510.



Spændingskontrol.	Dimensivering.	Materiale.
$\sigma_m = \frac{M_d}{W} \leq f_{md}$	$W \geq \frac{M_d}{f_{md}}$	Træ
$\sigma_m = \frac{M_d}{W} \leq f_{yd}$	$W \geq \frac{M_d}{f_{yd}}$	Stål



## Usymmetriske træsnit.

Hvis bøjningsspændingen  $\delta_m$  ønskes fundet et vilkårligt sted i træsnittet er det nødvendigt at udvide spændingsformlen.

$$\delta_m = \frac{M_d}{W}$$

For det rektangulære træsnit.

$$\delta_m = \frac{M_d}{\frac{1}{6} \cdot b \cdot h^2}$$

$$W = \frac{1}{6} \cdot b \cdot h^2 \\ I = \frac{1}{12} \cdot b \cdot h^3$$

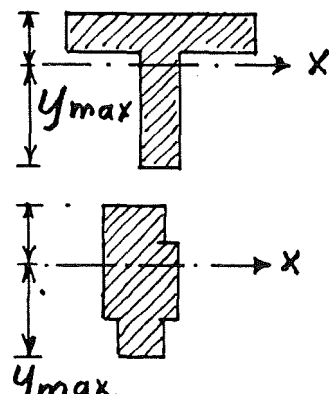
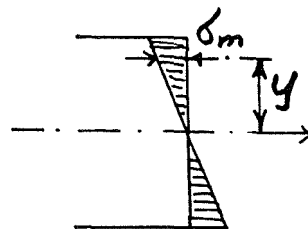
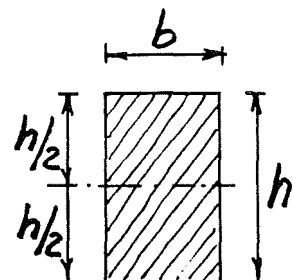
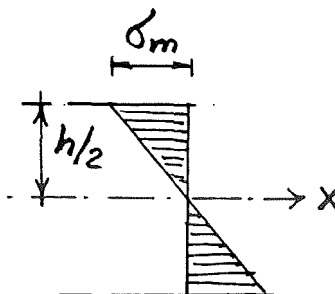
$$I = \frac{1}{6} \cdot b \cdot h^2 \cdot h/2 \\ I = W \cdot h/2 \\ W = \frac{I}{h/2}$$

$$\delta_m = \frac{M_d}{I} \cdot h/2$$

Spændingen kan nu findes et vilkårligt sted ved at ændre  $h/2$  til  $y$  hvis værdi kan vælges efter ønske.

$$\boxed{\delta_m = \frac{M_d}{I} \cdot y}$$

Formlen kan også bruges til at finde spændingen i usymmetriske træsnit. Indsættes  $y = y_{max}$  findes største spænding.



## Forskydning.

På samme måde som det på grundlag af momentkurven sikres at spændingen  $\sigma_m$  ikke er større end bøjningsstyrken  $f_{md}$  eller fyd, skal det sikres at de på grundlag af V-kurven fundne trækrafter ikke giver større forskydningssspændinger  $\tau$  (tau) end forskydningsstyrker fra eller  $0,58 \cdot f_{yd}$ .

$$V_d = V_A = \frac{1}{2} \cdot r_d \cdot L$$

## Ligevægt.

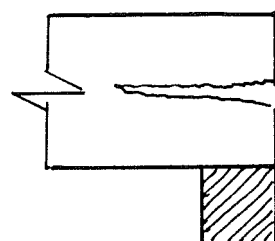
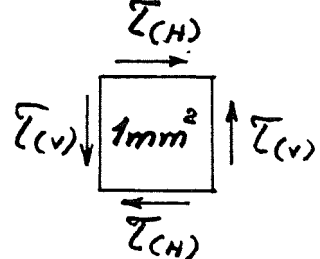
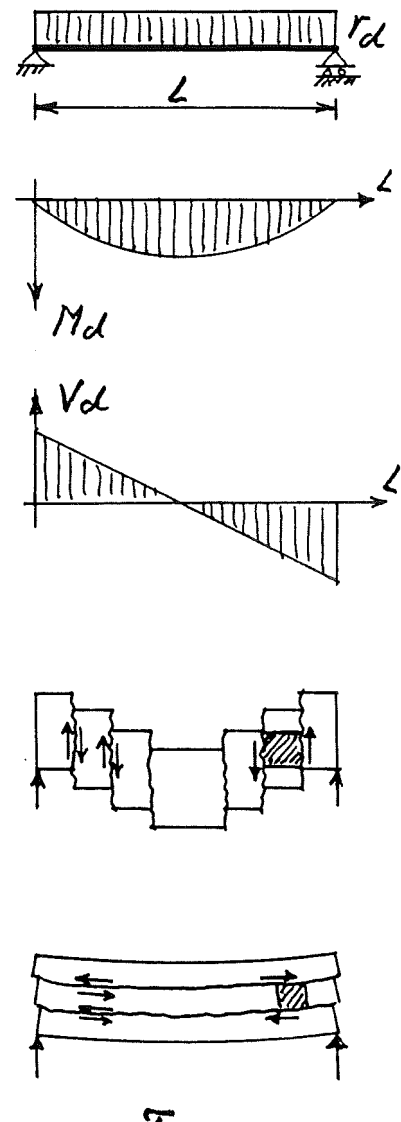
$$\sum H = 0.$$

$$\sum V = 0.$$

$$\sum M = 0. \Rightarrow \tau_{(v)} = \tau_{(h)}.$$

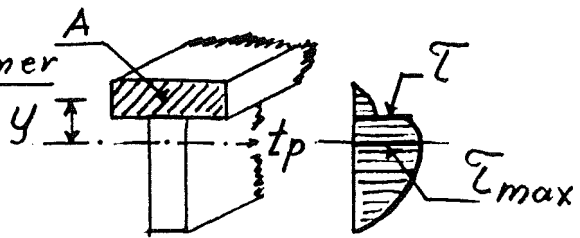
Samme forskydningsspænding lodret og vandret.

Forskydningsbrud i træbjælker er vandret på grund af at forskydningsstyrken er ringere  $\neq$  fibrene end  $\perp$  fibrene.



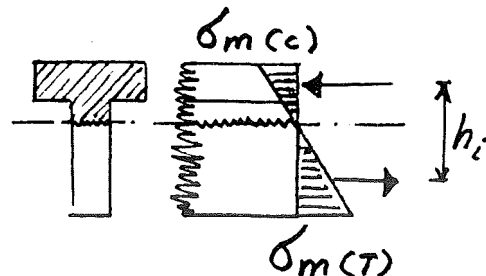
Forskydning alle træsnitsformer

$$\bar{\tau} = \frac{V_d \cdot S}{b \cdot I}$$



$S = A \cdot y$ . statisk moment om  
træsnittets tyngdepunkt (tp)  
for det areal (A) der ligger  
udenfor forskydningssnittet.

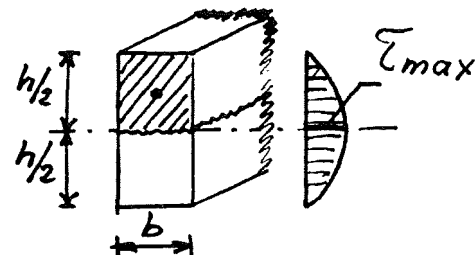
Største forskydning  $\bar{\tau}_{max}$   
findes altid i træsnittets  
tyngdepunkt.



Rektangulært homogen  
træsnit.

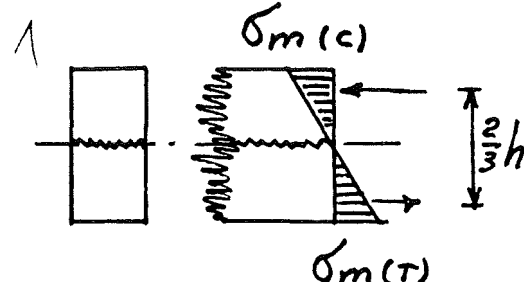
$$\bar{\tau} = \frac{V_d \cdot S}{b \cdot I} = \frac{V_d}{b \cdot I/S}$$

$$\frac{I}{S} = \frac{1/12 \cdot b \cdot h^3}{b \cdot h/2 \cdot h/4} = \frac{2}{3}h = h_i$$



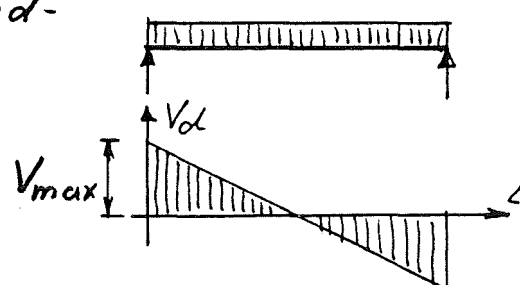
$$\bar{\tau}_{max} = \frac{V_d}{b \cdot 2/3 \cdot h} = \frac{3}{2} \frac{V_d}{b \cdot h}$$

$\bar{\tau}_{max}$  er største forskydnings-  
spænding i træsnittet.



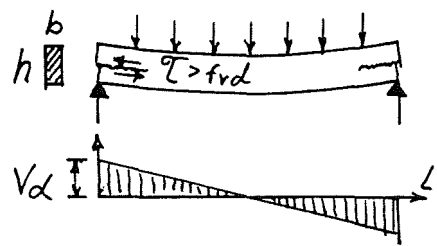
Bjæltens største forskydnings-  
spænding findes når  $V_{max}$  ind-  
sættes

$$\bar{\tau}_{max} = \frac{3}{2} \cdot \frac{V_{max}}{b \cdot h}$$



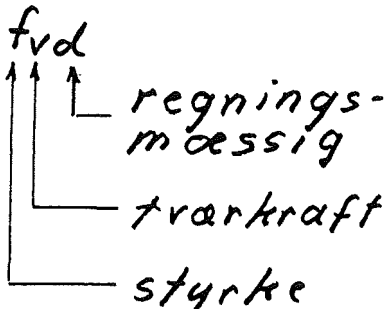
## Forskydning træ.

$$\bar{\epsilon} = \frac{3}{2} \cdot \frac{V_d}{b \cdot h} \leq f_{vd}$$



### I-træersnit.

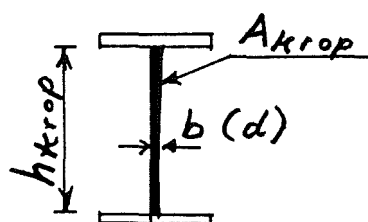
Da en stor del af træersnitsarealet er koncentreret i flangerne, bliver afstanden  $h_i$  mellem tryk- og trækresultanten næsten lig med kropshøjden.



$$\bar{\epsilon} = \frac{V_d}{b \cdot I_s} = \frac{V_d}{b \cdot h_i}$$

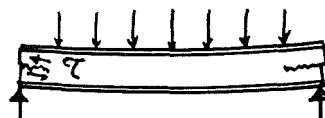
$$b \cdot h_i \approx b \cdot h_{krop} = A_{krop}$$

$$\bar{\epsilon}_{max} = \frac{V_{max}}{A_{krop}}$$



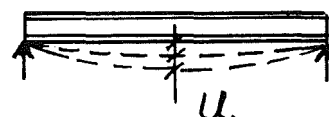
### Forskydning stål.

$$\bar{\epsilon} = \frac{V_d}{A_{krop}} \leq 0,58 \cdot f_{yd}$$



### Nedbøjning.

Den nedbøjning der kommer i en bjælke der belastes, kan deles op i den blivende nedbøjning fra den permanente last og den nedbøjning der kommer af



den variable last.

Den "permanente" nedbøjning har betydning for fuger, udseende o.s.v., og der stilles sjældent krav til hvor stor den må være.

Til den "variable" nedbøjning stiller normerne krav, idet denne nedbøjning er et udtryk for bjælkens slaphed (ryster-gynger).

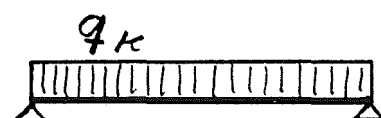
### Træ:

Etagebjælker.

$U \leq 1/500 \cdot L$ , for lasten  $1.5 \text{ kN/m}^2$  (Lastbredde)

Tagbjælker.

$U \leq 1/400 \cdot L$ , for  $g_k$  (se. TRÆ 28)



### Stål:

Etagebjælker.

$U \leq 1/400 \cdot L$

Tagbjælker.

$U \leq 1/200 \cdot L$

} for  
 $g_k + q_k$

Nedbøjningslast.

$q_k$  = karr. nyttelast

$$U = \frac{5}{384} \cdot \frac{(q) \cdot L^4}{E \cdot I}$$

Eksempel 13.

Etagebjælke i træ.

K18, P+L, UI.  $\rightarrow f_{md} = 9,0 \text{ N/mm}^2$ 

Last.	K	$\gamma$	d
NytTEL.	1,50	1,3	1,95
L. vægge	0,50	1,0	0,50
Gulvbr.	0,15	1,0	0,15
Bjælker	0,10	1,0	0,10
Isolering	0,20	1,0	0,20
Forstakk.	0,15	1,0	0,15
Løftpuds.	0,25	1,0	0,25

$$r_d = 3,30 \text{ kN/m}^2$$

$$L = 3,7 + 2 \cdot 0,1/2 = 3,80 \text{ m}$$

$$r_d = 0,8 \cdot 3,30 = 2,64 \text{ kN/m}$$

$$V_A = V_B = V_d = 1/2 \cdot 3,8 \cdot 2,64 = 5,02 \text{ kN}$$

$$M_d = 1/8 \cdot 2,64 \cdot 3,80^2 = 4,77 \text{ kNm}$$

$$W = \frac{4,77 \cdot 10^6}{9,0} = 530 \cdot 10^3 \text{ mm}^3$$

$$\frac{100 \times 225 \text{ mm}}{\delta_m} \cdot \begin{cases} W = 844 \cdot 10^3 \text{ mm}^3 \\ I = 94,9 \cdot 10^6 \text{ mm}^4 \end{cases}$$

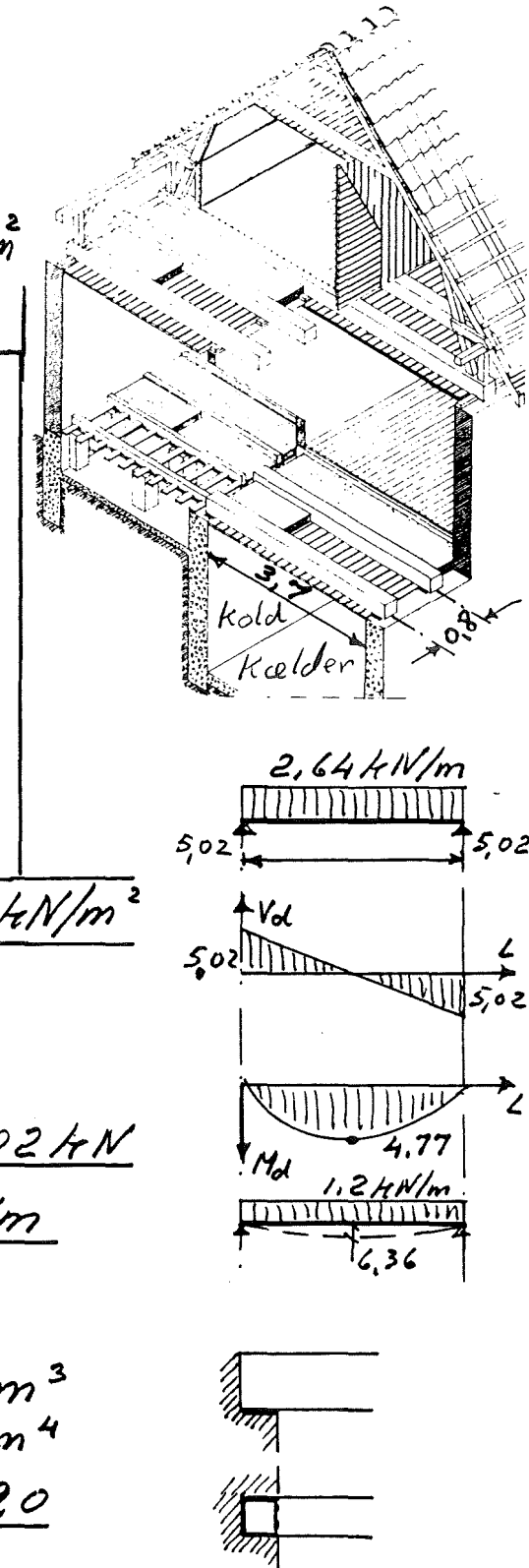
$$\delta_m = \frac{4,77 \cdot 10^6}{844 \cdot 10^3} = 5,65 \text{ N/mm}^2 < 9,0$$

$$\sigma_{max} = \frac{3}{2} \cdot \frac{5,02 \cdot 10^3}{100 \cdot 225} = 0,34 \text{ N/mm}^2 < f_{vd} = 1,2$$

$$q_k = 0,8 \cdot 1,50 = 1,20 \text{ kN/m}$$

$$U = \frac{5}{384} \cdot \frac{1,2 \cdot 3,84 \cdot 10^{12}}{5400 \cdot 94,9 \cdot 10^6} = 6,36 \text{ mm} < \frac{1}{500} \cdot 3800 = 7,6$$

$$\zeta_c = \frac{5,02 \cdot 10^3}{100 \cdot 100} = 0,50 \text{ N/mm}^2 < \begin{cases} f_{cd} (\text{beton}) \\ f_{c,90,d} = 2,8 \end{cases}$$



30.

# Styrke- og stivhedstal for træ og stål.

$$MPa = N/mm^2$$

Regningsmæssige styrketal i MPa<sup>1</sup>. Normal sikkerhedsklasse<sup>2</sup>

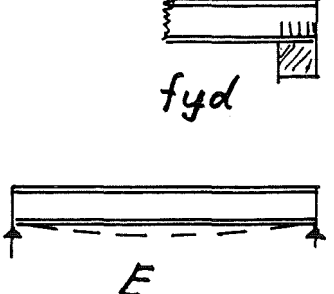
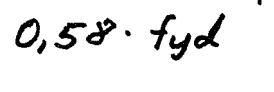
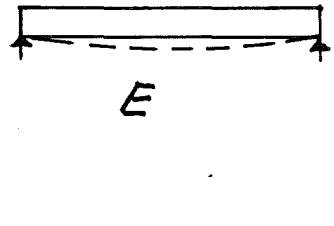
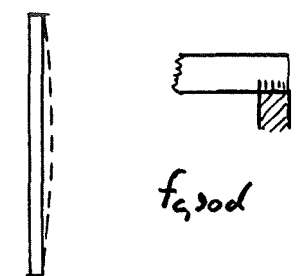
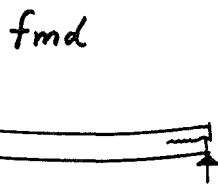
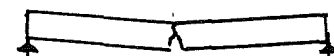
	limtre						konstruktionstre									
	L40			L30			K30			K24			K18			
	P + L	M	K	P + L	M	K	P + L	M	K	P + L	M	K	P + L	M	K	
fugiklasse I og IU																
bøjning	$f_m$	17,8	20,7	25,2	14,4	16,7	20,0	13,0	15,0	18,0	11,2	12,8	16,0	9,0	10,2	12,0
træk	$f_t$	12,0	14,0	17,0	9,6	11,1	13,3	8,7	10,0	12,0	7,5	8,5	10,7	4,3	4,8	5,7
tryk	$f_c$	0,15	0,22	0,30	0,15	0,22	0,30	0,13	0,20	0,27	0,13	0,20	0,27	0,13	0,20	0,27
forskydning	$f_s$	16,9	19,7	23,9	14,0	16,1	19,3	12,6	14,5	17,4	10,7	12,3	15,3	8,5	9,6	11,3
	$f_{son}$	3,1	3,6	4,4	3,1	3,6	4,4	2,8	3,3	4,0	2,8	3,3	4,0	2,8	3,3	4,0
	$f_s$	1,33	1,56	1,89	1,33	1,56	1,89	1,20	1,40	1,70	1,20	1,40	1,70	1,20	1,40	1,70
fugiklasse U																
bøjning	$f_m$	14,8	17,8	20,7	12,2	14,4	16,7	11,0	13,0	15,0	9,6	11,2	13,6	7,8	8,4	10,2
træk	$f_t$	10,0	12,0	14,0	8,1	9,6	11,1	7,3	8,7	10,0	6,4	7,5	9,1	3,7	4,0	4,8
tryk	$f_c$	0,13	0,19	0,26	0,13	0,19	0,26	0,12	0,17	0,23	0,12	0,17	0,23	0,12	0,17	0,23
forskydning	$f_s$	14,1	16,9	19,7	11,8	14,0	16,1	10,6	12,6	14,5	9,2	10,7	13,0	7,4	7,9	9,6
	$f_{son}$	2,6	3,1	3,6	2,6	3,1	3,6	2,3	2,8	3,3	2,3	2,8	3,3	2,3	2,8	3,3
	$f_s$	1,11	1,33	1,56	1,11	1,33	1,56	1,00	1,20	1,40	1,00	1,20	1,40	1,00	1,20	1,40

Regningsmæssige stivhedstal i MPa til brug ved deformationsberegninger

limtre konstruktionsstål	L40			L30 K20			K24			K18						
	P	L	M	P	L	M	P	L	M	P	L	M				
fugiklasse I E	8400	11200	12600	14000	7200	9600	10800	12000	6300	8400	9400	10500	5400	7200	8100	9000
fugiklasse IU E	7000	8400	9800	11200	6000	7200	8400	9600	5300	6300	7300	8400	4500	5400	6300	7200
fugiklasse U E	4200	7000	8400	9800	3600	6000	7200	8400	3200	5300	6300	7400	2700	4500	5400	6300

KONSTRUKTIONSTÅL EFTER ISO 630		REGNINGSMÆSSIG VÆRDI $f_yd$ N/mm <sup>2</sup>					
		SIKKERHEDSKLASSE					
		LAV		NORMAL		HØJ	
Fe 360	$t \leq 16$	204	216	184	194	167	175
	$16 < t \leq 40$	196	206	176	186	160	168
Fe 430	$t \leq 16$	239	252	215	227	195	205
	$16 < t \leq 40$	230	243	207	219	188	198
Fe 510	$t \leq 16$	309	326	277	293	252	265
	$16 < t \leq 35$	300	317	270	285	245	257

Elasticitetsmodul E til beregn. af nedbøjninger.	
Fe 360 - 430 - 510	$0,21 \cdot 10^6$ N/mm <sup>2</sup>

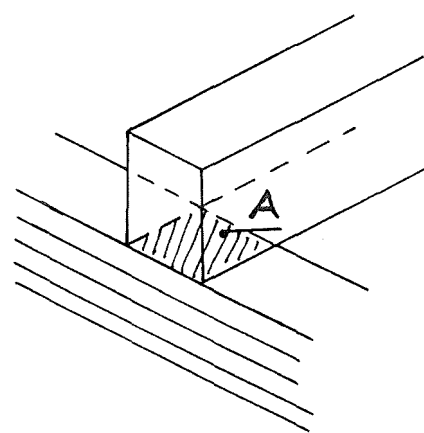
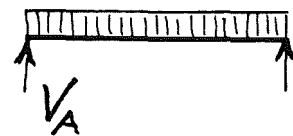


Tryk.

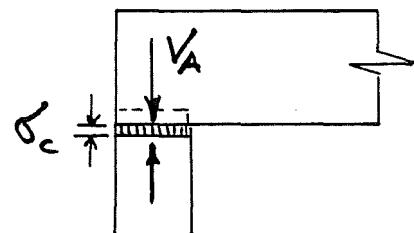
Spændingen i et vederlag findes efter samme formel, som for spænding i en trækstang.

$$\sigma_c = \frac{V_A}{A}$$

I vederlaget er der normalt 2 forskellige materialer, f. eks. træ/tegl, og derfor også 2 styrker der ikke må overskrides.



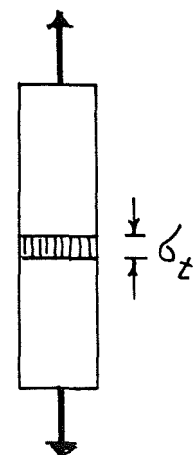
$\sigma_c = \frac{V_A}{A} \leq \begin{cases} f_{c, \text{god}} & \text{træ} \\ f_{c, \text{nd}} & \text{tegl} \end{cases}$
--

Fortegn.

$$\text{Træk} \rightarrow +N_d \rightarrow +\sigma = \sigma_t$$

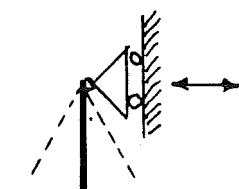
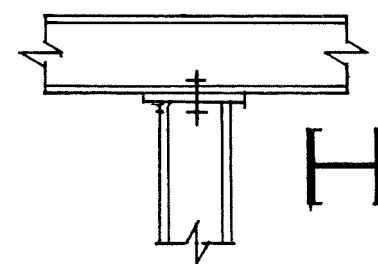
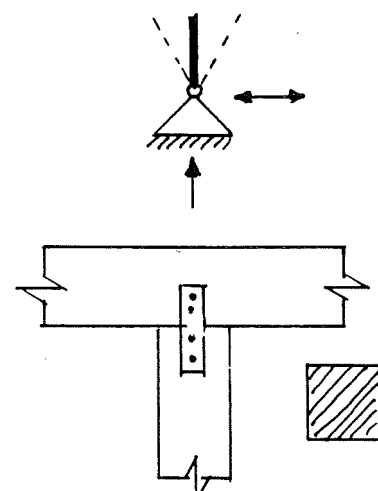
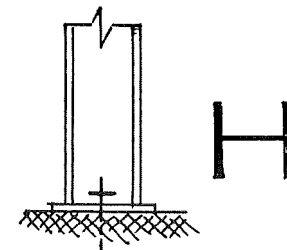
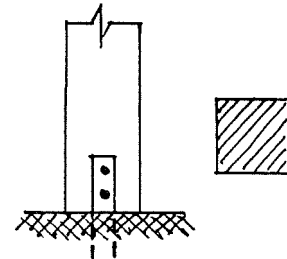
$$\text{Tryk} \rightarrow -N_d \rightarrow -\sigma = \sigma_c$$

Normalkraftens negative fortægn fortæller at det er tryk, men i spændingsformlen indsættes  $N_d$  og  $V_A$  uden fortægn idet ( $\sigma_c$ ) index c fortæller at det er en trykspænding og  $N_d$  må deraf være en trykkraft.



## Søjler.

Den statiske model for søjler, skal lige som for bjælker være fastlagt inden der kan beregnes. I husbygningskonstruktioner er langt de fleste søjler simpelt understøttede, hvilket vil sige at søjlefoden har fast simpelt leje, så det kan optage lodrette og vandrette kræfter og at søjlen kan dreje frit, der er altså ingen indspænding. I søjletoppen er der beroegelig simpel understøtning, hvilket vil sige at søjlen er styret, men lejet forhindrer ikke kraften i at gå ned til søjlefodens faste leje, top-



Lejet sikrer også at søjlen kan dreje frit. For en simpelt understøttet søjle er den regningsmæssige søjlelængde ( $l_s$ ) lig med den geometriske længde ( $L$ )

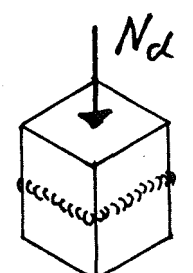
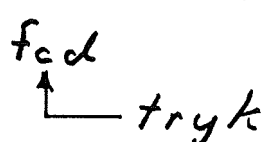
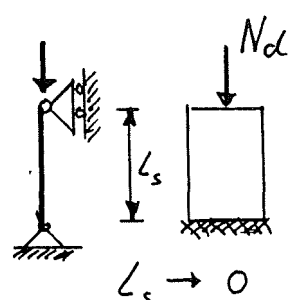
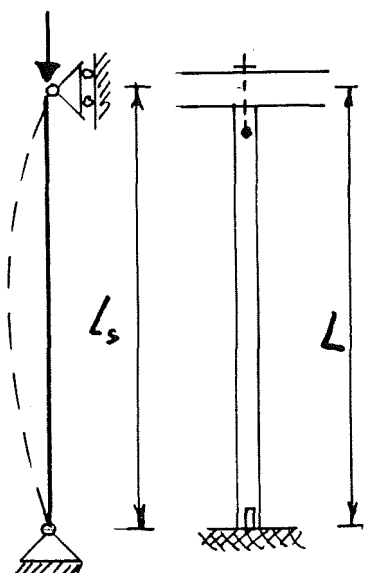
I en klo ds d.v.s. meget kort søjle, som er udsat for tryk ( $N_d$ ) skal følgende overholdes.

$$\sigma_c = \frac{N_d}{A} \leq f_{cd} \text{ træ}$$

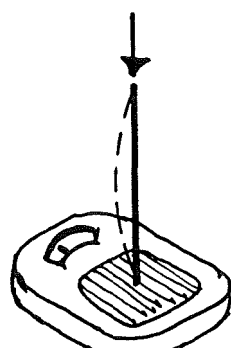
$$\sigma_c = \frac{N_d}{A} \leq f_{yd} \text{ stål}$$

Ved overbelastning vil der ske en stukning h.v.s. at bæreevnen er bestemt af materialets styrke og klo dsens areal.

I et lille forsøg med en tynd stang d.v.s. slank søjle, som trykkes mod en bade-



$$\sigma_c > f_{cd}$$



voegt, vil skalaens udsving rive at bærenevnen er konstant fra det tidspunkt hvor stangen begynder at bøje ud og til den er bøjet så meget at den knækker. Det vil altså sige at bærenevnen for en slank søjle er bestemt af dens udbøjning, og med henvisning til bjælkesteorien afhængig af:  $M$ ,  $L$ ,  $E$  og  $I$ .

$$U \approx \frac{1}{10} \cdot \frac{M \cdot L^2}{E \cdot I}$$

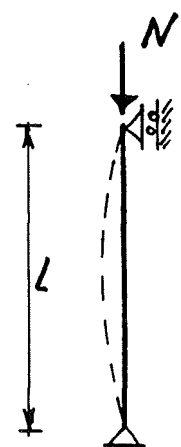
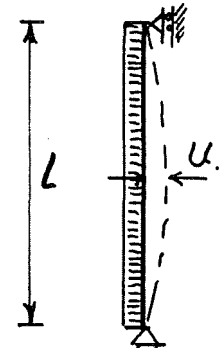
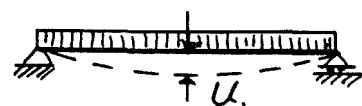
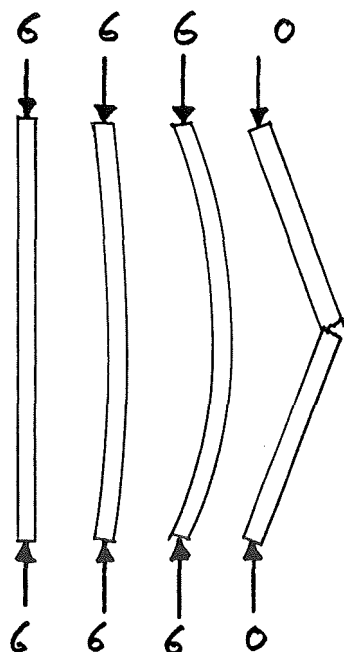
Den korrekte formel for slanke søjlers bærenevne er

$$N = \frac{\pi^2 \cdot E \cdot I}{L^2}$$

påvist af Euler i 1757.

De to formler har stor lighed i det søjlets udbøjning giver et moment.

Eks.

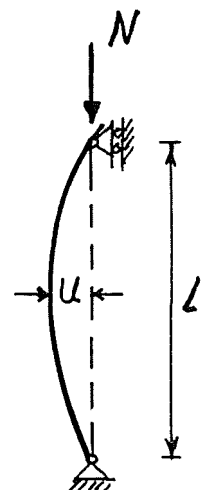


$$M = N \cdot v \Rightarrow v = \frac{M}{N}$$

Ubjælte  $\approx$  Usøjle

$$v \approx \frac{1 \cdot M \cdot L^2}{10 \cdot E \cdot I} \approx \frac{M}{N} \Rightarrow$$

$$\boxed{N \approx \frac{10 \cdot E \cdot I}{L^2}}$$



For at komme frem til en enkel søjleberegning indføres frærsnitskonstanten inertiradius ( $i$ ) som er defineret ved

$$\boxed{i^2 = \frac{I}{A}} \Rightarrow I = i^2 \cdot A$$

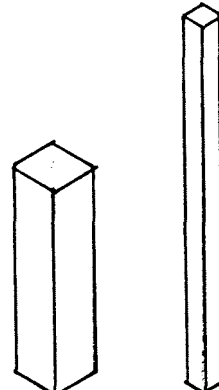
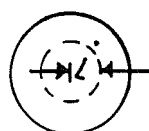
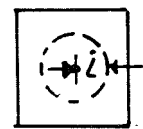
som indsættes i Eulerformlen (børcevne)

$$N = \frac{\pi^2 \cdot E \cdot I}{L_s^2} = \frac{\pi^2 \cdot E \cdot i^2 \cdot A}{L_s^2} = \frac{\pi^2 \cdot E \cdot A}{\left(\frac{L_s}{i}\right)^2}$$

hvor  $\boxed{\frac{L_s}{i}}$  er søjlens slankhedsforhold.

Hvis  $f_s$  (N/mm<sup>2</sup>) er søjlestyrken, når der er taget hen- syn til udbøjningen, kan børcevnen skrives.

$$N = \frac{\pi^2 \cdot E \cdot A}{\left(\frac{L_s}{i}\right)^2} = A \cdot f_s \Rightarrow f_s = \frac{\pi^2 \cdot E}{\left(\frac{L_s}{i}\right)^2}$$



„buet“ „slank“

Ved indførelsen af mate-  
rialestyrken  $f_c$  ( $N/mm^2$ ), kan  
søjleudbøjningsfaktoren  
 $k_s$  bestemmes som for-  
holdet mellem søjlestyrke  
og materialestyrke.

$$k_s = \frac{f_s}{f_c} = \frac{\pi^2 \cdot E}{\left(\frac{l_s}{i}\right)^2 \cdot f_c} \Rightarrow f_s = k_s \cdot f_c$$

Hvorefte bærcernen kan  
udtrykkes.

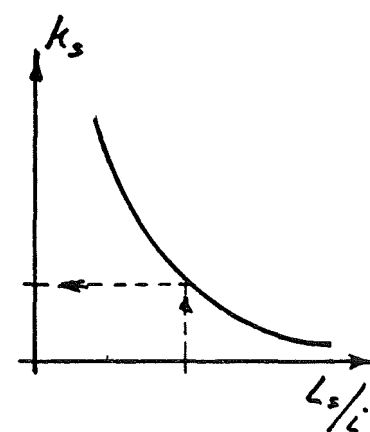
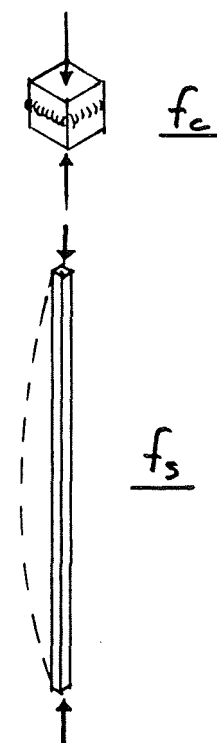
$$N = A \cdot k_s \cdot f_c$$

Hvor  $k_s$  kan bestemmes af.

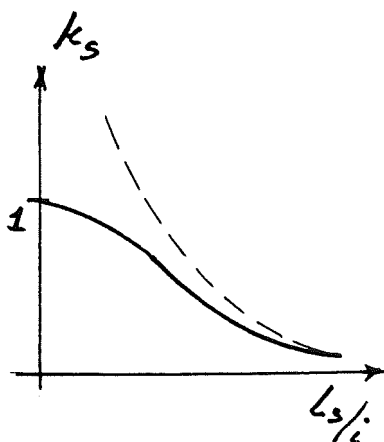
$$k_s = \frac{\pi^2 \cdot E}{\left(\frac{l_s}{i}\right)^2 \cdot f_c}$$

Optegnes  $k_s$ -kurven (hyperbel)  
som en funktion af  $\frac{l_s}{i}$   
ses at  $\frac{l_s}{i} \rightarrow 0$ . vil  $k_s \rightarrow \infty$ ,  
hvilket også er i overens-  
stemmelse med at Eulers  
formel kun gælder for  
slanke søjler.

Da søjlestyrken ikke kan være  
større end materialestyrken  
er  $k_s \leq 1$ .



På grund af skævheder, krumninger og små ekscentriciteter er den regningsmæssige spøjekurve ikke helt som den teoriske.



### Bæreevneformlen

$$N = A \cdot k_s \cdot f_c$$

giver den karakteristiske bæreevne, indføres parti-alkoefficienter ( $\gamma$ ) bliver den regningsmæssige bæreevne.

$$f_{cd} = \frac{f_c}{\gamma_m}$$

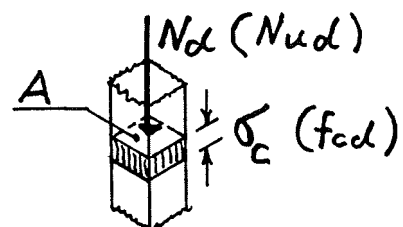
$$N_d > N_{ud}$$

$$N_d \leq N_{ud}$$

$$N_{ud} = A \cdot k_s \cdot f_{cd} \geq N_d \quad \text{træ.}$$

$$N_{ud} = A \cdot k_s \cdot f_{yd} \geq N_d \quad \text{stål.}$$

Spøjen kan bære.  
Spøjen skal bære.



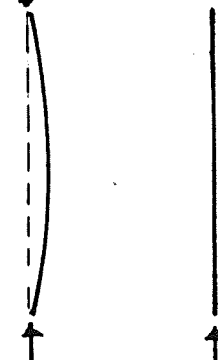
Spændingsformer kan udledes af bæreevneformlerne.

$$\sigma_c > f_{sd} \quad \sigma_c \leq f_{sd}$$

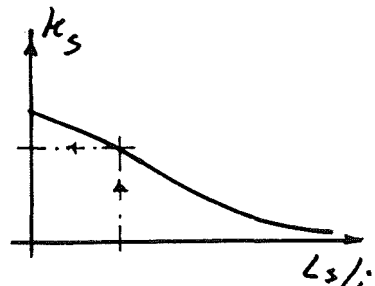
$$\sigma_c = \frac{N_d}{A} \leq k_s \cdot f_{cd} = f_{sd} \quad \text{træ.}$$

$$\sigma_c = \frac{N_d}{A} \leq k_s \cdot f_{yd} = f_{sd} \quad \text{stål.}$$

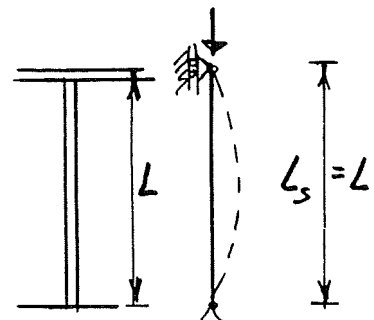
spænding  
styrke



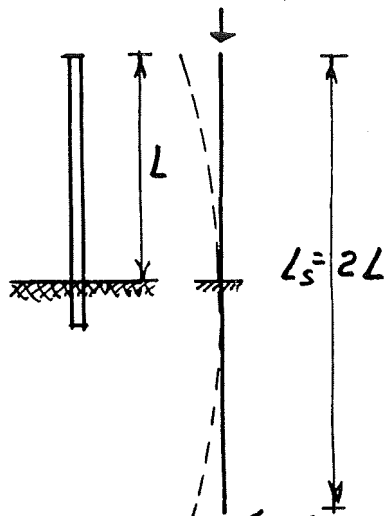
$k_s$ . Søjlefaktor, findes af søjlekurve. (side 39)



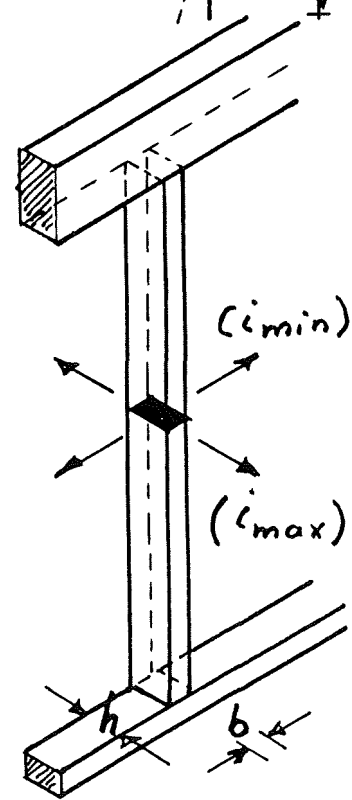
$L_s$ . Søjlelængden, er bestemt af den statiske model.



i. Inertiradius, er bestemt af søjlets ud-bøjningsretning, for fritstående søjler altid den srage retning d.v.s.  $i_{min}$ .



Hvis „i“ ikke er opgivet i tværnitsstabel, kan den for rektangulære tværnits let findes ud fra sindefinition.



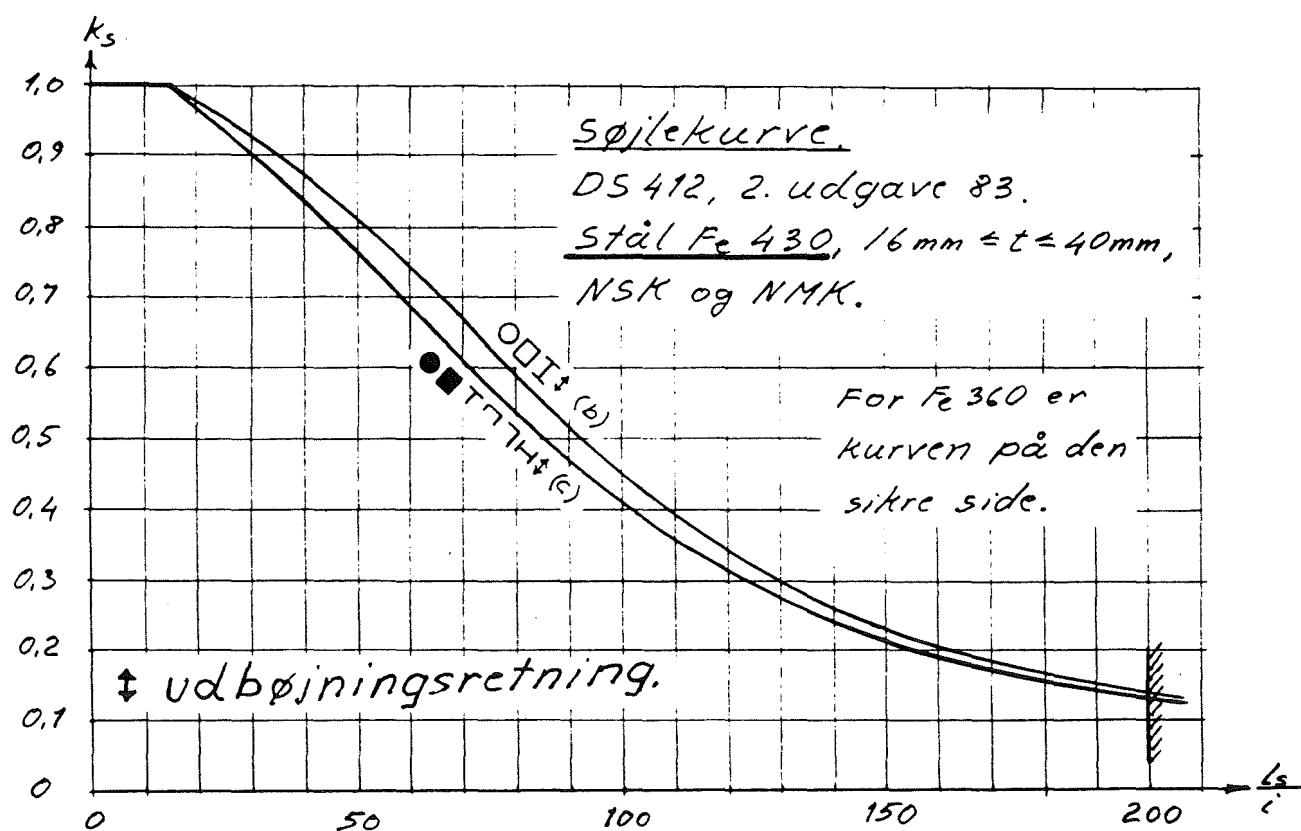
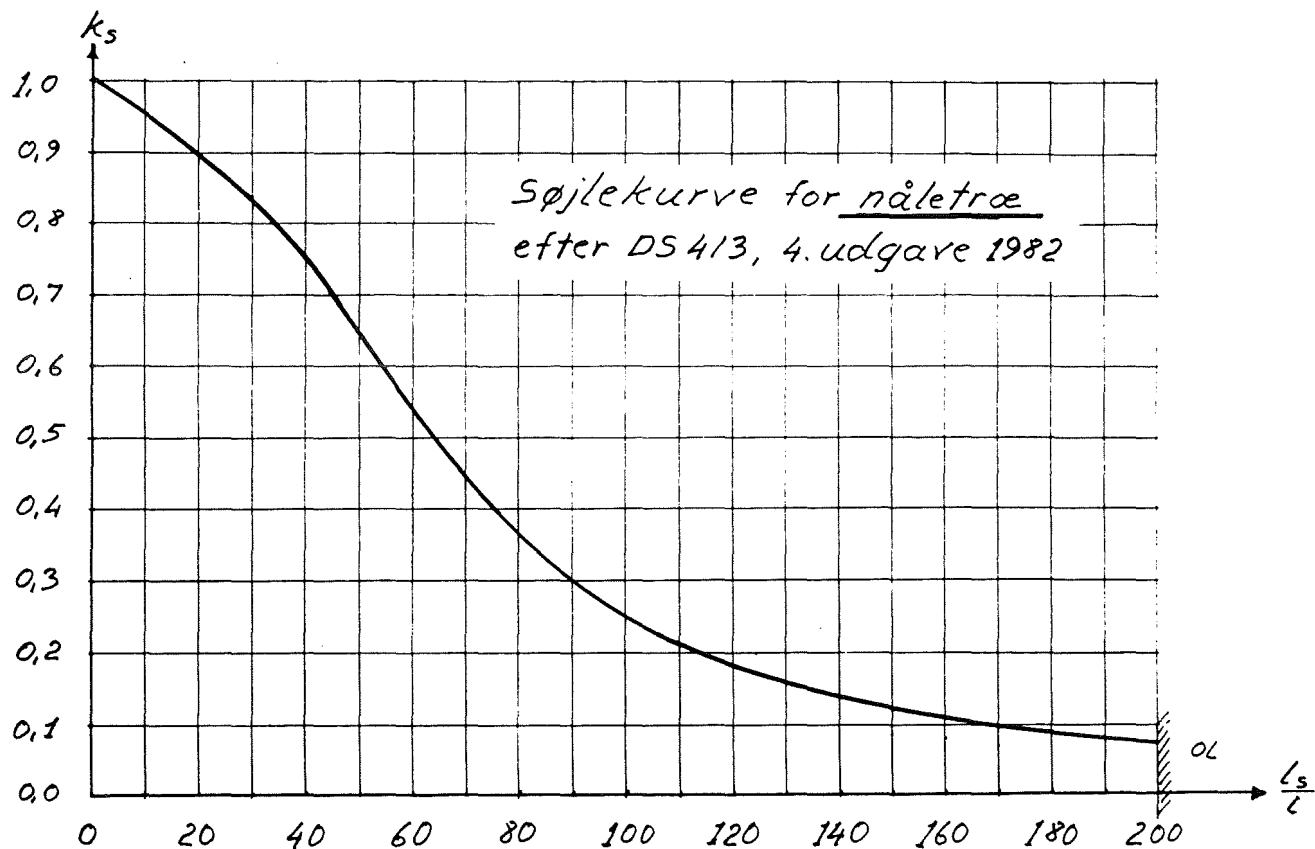
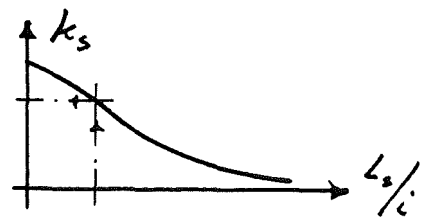
$$i_{min} = \sqrt{\frac{I_{min}}{A}} = \sqrt{\frac{\frac{1}{12} \cdot h \cdot b^3}{h \cdot b}} \Rightarrow$$

$$i_{min} = 0,29 \cdot b.$$

$$i_{max} = \sqrt{\frac{I_{max}}{A}} = \sqrt{\frac{\frac{1}{12} \cdot b \cdot h^3}{b \cdot h}} \Rightarrow$$

$$i_{max} = 0,29 \cdot h.$$

$L_s/c$  søjlers slankhedsforhold, indgangs værdi til søjlekurve.



Eksempel 14, træsøjle.

$$N_d = 40 \text{ kN}$$

$$f_{cd} = 8,5 \text{ N/mm}^2$$

$$A = 125 \times 125 \text{ mm}^2$$

$$L_s = 2,6 \text{ m}$$

$$\frac{L_s}{l_{\min}} = \frac{2600}{36,1} = 72 \rightarrow k_s = 0,42$$

$$\sigma_c = \frac{40 \cdot 10^3}{15,65 \cdot 10^3} = 2,56 \text{ N/mm}^2$$

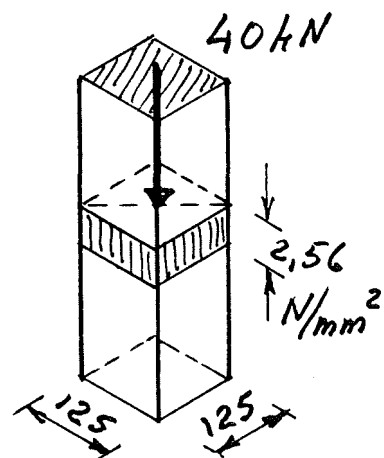
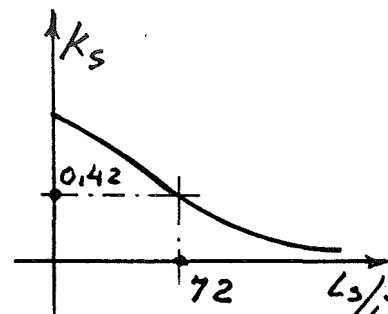
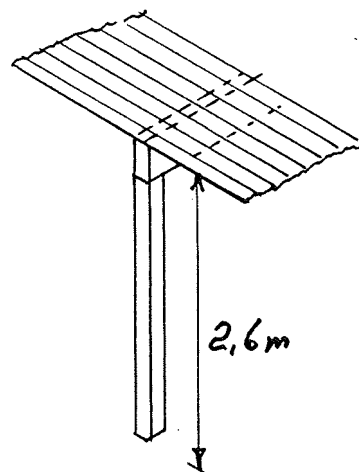
$$f_{sd} = k_s \cdot f_{cd} = 0,42 \cdot 8,5 = 3,57 \text{ N/mm}^2$$

$$\sigma_c = 2,56 \text{ N/mm}^2 < f_{sd} = 3,57 \text{ N/mm}^2$$

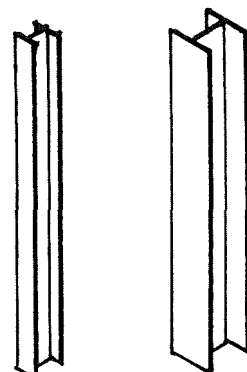
Eller. ( $A \cdot k_s \cdot f_{cd}$ )

$$N_{ud} = 15,65 \cdot 10^3 \cdot 0,42 \cdot 8,5 \cdot 10^{-3} = 55,78 \text{ kN}$$

$$\underline{N_{ud} = 55,78 \text{ kN} > N_d = 40 \text{ kN}}$$

Dimensionering.

Dimensionering af søjler er kompliceret idet bæreevnen er afhængig af både styrke ( $A, f_{cd}$ ) og stivhed ( $I, E$ ), det mest almindelige er at gætte et trærsnit, og så centrifugere enten med



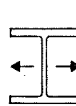
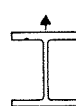
spændingsbestemmelse  
eller bæreevnebestemmelse.

Til hjælp for et rimeligt gæt på en søjle-dimension findes tabeller og kurver.

#### 6.4.2.2 Regningsmæssig bæreevne af IPE- og HE..B-søjler (kN)

Normal sikkerhedsklasse, Fe 360, normal materialekontrol.

Pilene i skitserne angiver udknækningsretning. • foran bæreevne angiver  $l_e/i > 200$ .

	knæk-længde m	profil nr.												
			80	100	120	140	160	180	200	220	240	260	270	280
	2		278	426	593	794	1000	1240	1480	1690	1920	2160	2480	Teknisk stabilitet side 247. og 248
	2,5		216	352	512	707	911	1140	1380	1600	1820	2060	2380	
	3		168	285	433	616	815	1040	1280	1500	1720	1960	2270	
	3,5		132	231	362	529	719	939	1170	1390	1610	1850	2160	
	4		106	189	303	451	627	836	1060	1280	1500	1740	2050	
	5		72,1	131	215	330	473	650	853	1070	1280	1510	1800	
	6		•51,9	95,6	159	247	361	505	677	868	1060	1280	1550	
	8		•56,8	•95,7	151	224	320	438	578	726	897	1120		
	2		408	561	732	944	1150	1400	1640	1850	2070	2300	2620	Teknisk stabilitet side 247. og 248
	2,5		372	528	700	910	1120	1360	1600	1810	2030	2270	2600	
	3		332	489	663	872	1080	1320	1560	1770	1990	2230	2560	
	3,5		288	446	621	831	1040	1280	1520	1730	1950	2190	2520	
	4		247	399	575	785	995	1230	1480	1690	1910	2150	2470	
	5		180	310	476	680	892	1130	1380	1600	1820	2060	2380	
	6		133	238	382	570	777	1020	1260	1490	1720	1960	2280	
	8		80,2	148	247	386	555	766	1000	1240	1470	1720	2040	

#### 7.4.3.2 Bæreevne

Regningsmæssig bæreevne i kN for centralt belastet, simpelt understøttet søjle. Lasttilfælde med alene P- og L-laster, fugtklasse I og IU, normal sikkerhedsklasse

tværsnit mm × mm	fri søjlelængde i m								
	2,0	2,5	3,0	3,5	4,0	4,5	5,0	5,5	6,0
<b>konstruktionstræ, K 18</b>									
75 × 75	13,7	9,3	6,6	5,0	3,9				
100 × 100	38,1	27,1	19,9	15,1	11,8	9,5	7,8	6,5	
125 × 125	78,2	59,6	45,3	35,0	27,7	22,4	18,4	15,4	13,1
150 × 150	131,5	108,0	85,8	68,2	54,8	44,7	37,1	31,2	26,5
175 × 175	196,0	170,0	142,0	117,0	95,8	79,2	66,3	56,0	47,9
200 × 200	271	244	213	181,5	152,5	128,5	108,5	92,4	79,5
225 × 225	356	329	296	261	225	193	165,5	142,5	123,0
<b>limtræ, L 40</b>									
90 <sup>1</sup> × 100	58,5	40,6	29,5	22,2	17,3	13,9	11,4		
115 × 133	139,0	103,0	76,8	58,9	46,4	37,4	30,7	25,7	21,8
140 × 167	258	206	160,5	126,0	100,5	81,7	67,6	56,7	48,2
160 × 167	324	272	221	178,0	144,0	118,0	98,2	82,8	70,6
185 × 200	484	426	363	303	251	209	175,0	148,5	127,5

I Det forudsættes, at tværsnittet er optimet af mindst 4 lameller, ellers skal bæreevnen reduceres med faktoren 0,75.

Teknisk  
stabilitet  
side 297

Eks. 15 stålspille.

Fe. 430

HE - B. profil.

$$l_s = 3,0 \text{ m.}$$

$$N_d = 230 \text{ kN}$$


---

Iflg. tabel. HE 120 B.  
 forudsætning  $f_yd = 184 \text{ N/mm}^2$

$$\text{Fe 430} \rightarrow f_yd = 215 \text{ N/mm}^2$$

$$N_{ud} \approx 285 \cdot \frac{215}{184} = 333 \text{ kN}$$

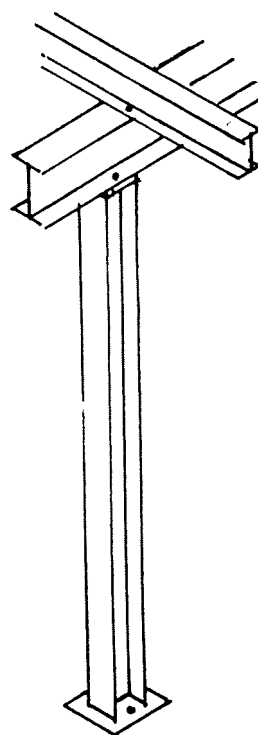
$$\underline{N_{ud} \approx 333 \text{ kN}} > \underline{N_d = 230 \text{ kN}}$$

$$\frac{l_s}{i_{min}} = \frac{3000}{30,6} = 98 \rightarrow k_s = 0,43$$

$$\sigma_c = \frac{230 \cdot 10^3}{3,4 \cdot 10^3} = 67,65 \text{ N/mm}^2$$

$$f_{sd} = 0,43 \cdot 215 = 92,45 \text{ N/mm}^2$$

$$\underline{\sigma_c = 67,65 \text{ N/mm}^2 \leq f_{sd} = 92,45 \text{ N/mm}^2}$$



$$\sigma_c = \frac{N_d}{A} \leq f_{sd} = k_s \cdot f_yd$$

Eller.

$$N_{ud} = 3,4 \cdot 10^3 \cdot 0,43 \cdot 215 \cdot 10^{-3} = 314 \text{ kN}$$

$$\underline{N_{ud} = 314 \text{ kN} \geq N_d = 230 \text{ kN}}$$

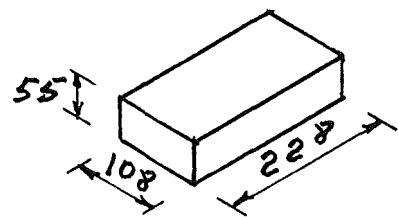
$$N_{ud} = A \cdot k_s \cdot f_yd$$

# Murvoerkskonstruktioner.

## stenformater:

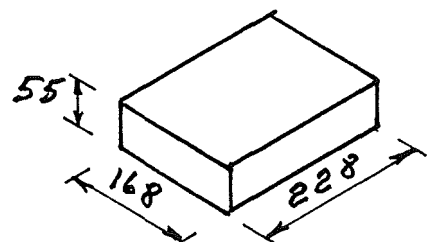
### Normalsten.

$228 \times 108 \times 55$  mm.



### Bredsten.

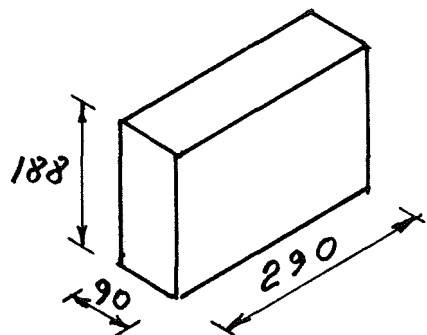
$228 \times 168 \times 55$  mm.



## Blokformater:

### Minimumsmål

$290 \times 90 \times 188$  mm.



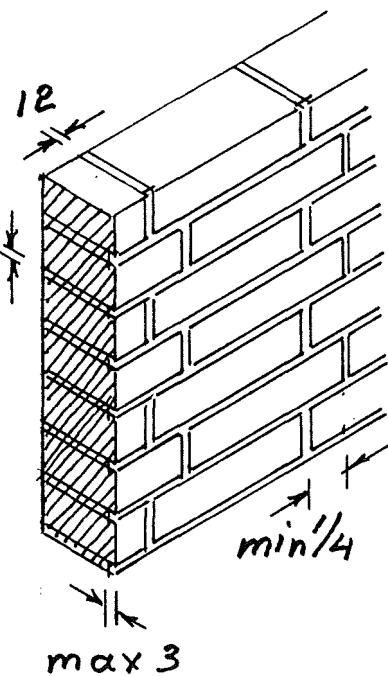
## Fuger.

Sten- og blokmurværke mures med 12 mm ligge- og studs fuge.

## Bærende murvoerk.

Allt bærende murværk skal mures i forbandt 12 mm med mindst  $\frac{1}{4}$ -sten eller  $\frac{1}{4}$ -blokloengdes forskydning.

For fugedybde større end 3 mm, skal træsnitsarealet reduceres med den fulde fugedybde.

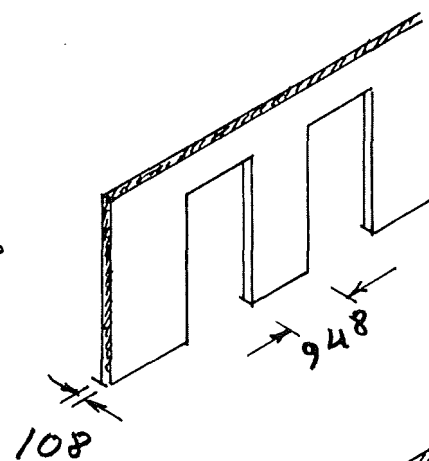


## Minimumstvoersnit.

Murvoerk af sten må normalt kun regnes børende, når følgende tvørsnit overholdes.

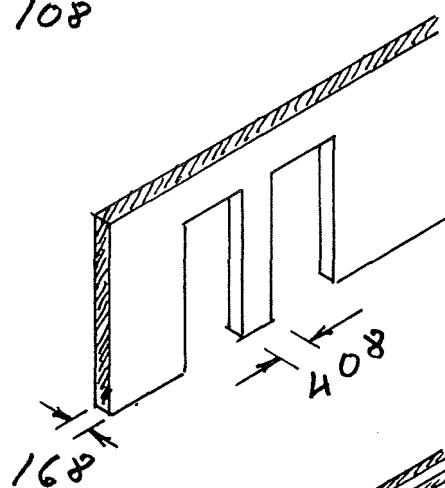
½-stensræg - 108 mm.

$b = 4$  sten - 948 mm.



¾-stensræg - 168 mm.

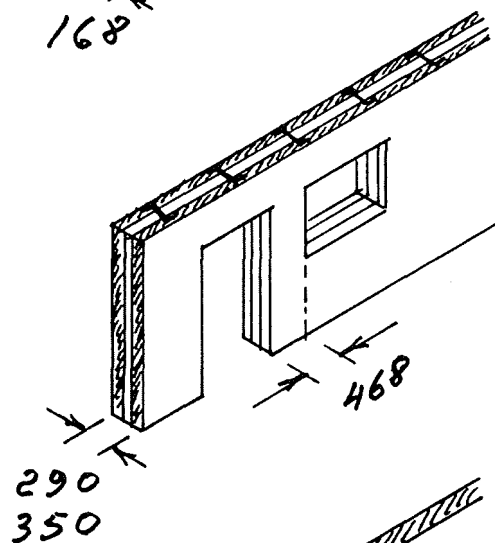
$b = 1\frac{3}{4}$  sten - 408 mm.



290 mm eller 350 mm

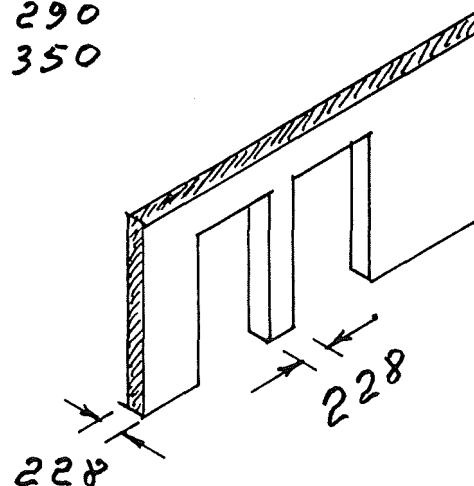
hulmur med trådbind-  
dere.  $\frac{1}{2}$ -sten +  $\frac{1}{2}$ -sten.

$b = 2$  sten - 468 mm.



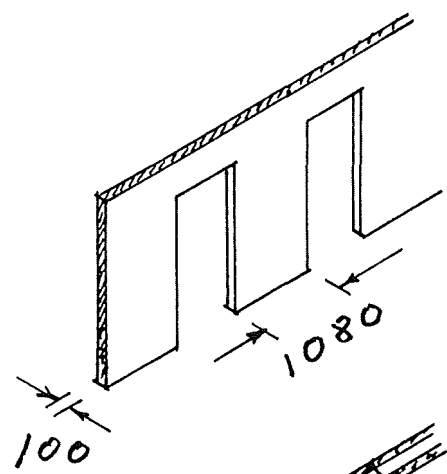
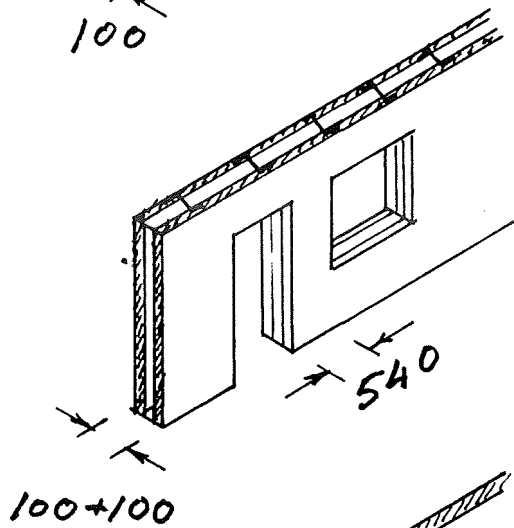
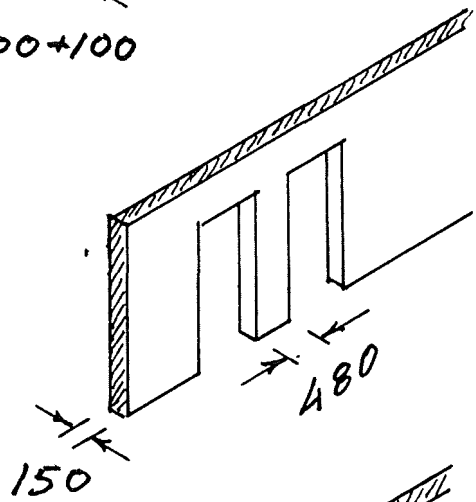
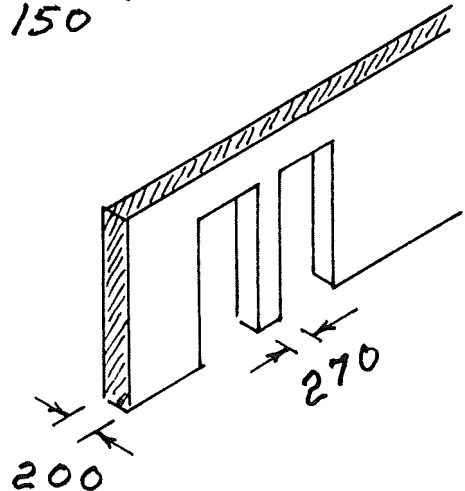
1/4-stensræg - 228 mm.

$b = \frac{1}{4}$  sten - 228 mm.



Murvoerk\_af\_blokke

må normalt kun  
regnes børende, når  
følgende froersnit  
over holdes.

100 mm. $b \geq 1080 \text{ mm.}$ 100+100 mm hulmur  
med trådbindere. $b \geq 540 \text{ mm.}$ 150 mm. $b \geq 480 \text{ mm.}$ 200 mm. $b \geq 270 \text{ mm.}$ 

## Sten- og blokklasser.

Klassebetegnelsen er afledt af sten og blokkes karakteristiske trykstyrke  $f_c$  ( $N/mm^2$ )

Stentype	stenklasse
4	
7	
10	
Fuldbrandt	15
Hårdbrandt	22
Klinkbr.	30
	37
	45

## Mørtel.

Normen omfatter 4 referencemørtler, som alle er kalkcementmørtler (KC).

bloktype	blokkasse
porebeton	3
letklinkerbeton	3
moler	4
kalksandsten	30
tegl	30

stenmurværk kan mures med alle fire referencemørtler. De i parentes angivne mørtler kan forventes at have samme styrke som gruppens referencemørtel.

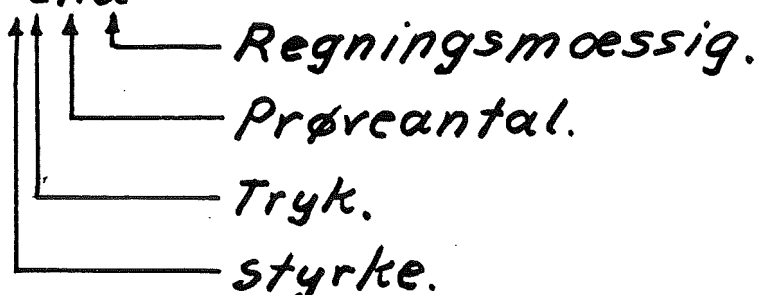
mørteltype for murværk af mursten	
KC.20/80/550	(C.100/400) (M.100/400)
KC.35/65/650	
KC.50/50/700	(M.100/600)
KC.60/40/850	(M.100/600)

Blokmurværk kan kun mures i de tre stærkeste referencemørtler.

mørteltype for murværk af blokke	
KC.20/80/550	(C.100/400) (M.100/400)
KC.35/650/650	
KC.50/50/700	(M.100/600)

Regningsmæssige trykstyrker for murværk.

Fand.

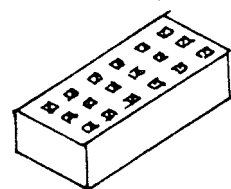


# Regningsmæssige styrketal.

Regn. trykstyrke fnd, normal sikkerheds- og kontrolklasser.										
		Mørteltype KC.								
Klasse	Sten.	Blok	20/80/550		35/65/650		50/50/700		60/40/850	
			Sten.	Blok	Sten.	Blok	Sten.	Blok	Sten.	Blok
Sten.	Blok.	Mass. Hul.	Mass.	Hul.	Mass.	Hul.	Mass.	Hul.	Mass.	Hul.
2,5		0,87			0,87				0,82	
3,0		1,02			1,02				0,92	
3,5		1,17			1,17				1,07	
4,0	4,0	1,07	1,33	0,97	0,68	1,28	0,87	0,61	1,17	0,66
	4,5		1,43			1,38			1,28	
	5,0		1,53			1,48			1,38	
7,0		1,89		1,73	1,21		1,58	1,11	1,12	0,79
10	10	2,70	2,45	2,45	1,71	2,40	2,24	1,57	2,24	1,63
15	15	3,42	3,01	3,16	2,21	2,96	2,81	1,96	2,81	2,04
	20		3,42			3,32			3,16	
22		4,18		3,88	2,71		3,47	2,43		2,50
	25		3,93			3,72			3,42	
30	30	4,95	4,44	4,59	3,21	4,13	4,08	2,86	3,67	2,96
37		5,56		5,20	3,64		4,59	3,21		3,37
45		6,22		5,82	4,07		5,60	3,57		3,72

## Hulsten.

Styrken fnd er for murvoerk af hulsten, reduceret med faktoren 0,7 for de 3 svageste referencemortler.



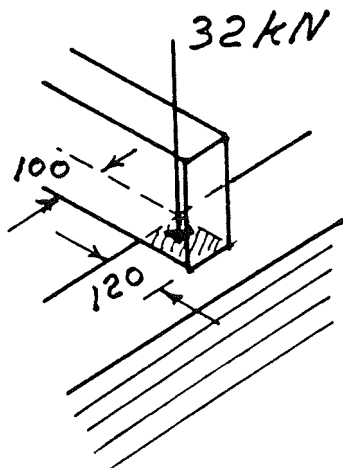
## Vederlag. se side 31.

### Eksempel 16.

St. kl. 15, KC. 20/80/550.

$$\sigma_c = \frac{32,00 \cdot 10^3}{100 \cdot 120} = 2,67 \text{ N/mm}^2$$

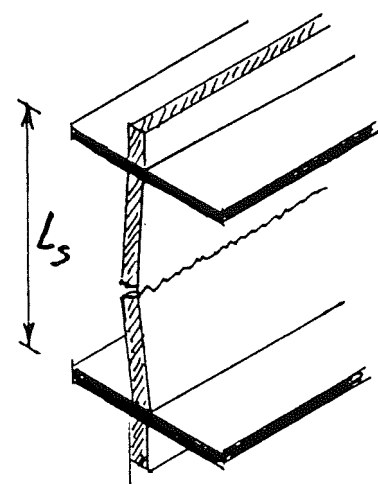
$$\sigma_c = 2,67 \stackrel{?}{=} f_{nd} = 3,42 \text{ N/mm}^2$$



## Mur med søjlefunktion.

En lodret belastet mur bøjer ud som en søjle, og dens bæreevne beregnes af formlen:

$$N_{ud} = k_s \cdot k_t \cdot b_e \cdot (t_d - 2e_t) \cdot f_{cnd} \stackrel{?}{=} N_d$$



$N_{ud}$  -

↑  
Regningsmæssig.  
↓  
Ultimativ.  
↓  
Normalkraft.

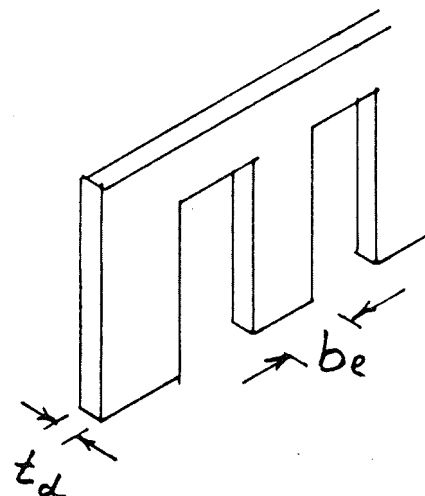
$k_t$ = 0,7 for massive mure med $t \leq 90$ mm
= 0,9 for massive mure med $90 < t \leq 125$ mm
= 1,0 for massive mure med $t > 125$ mm
= 1,0 for vanger i hule mure

$k_s$  - Søjlefaktor.

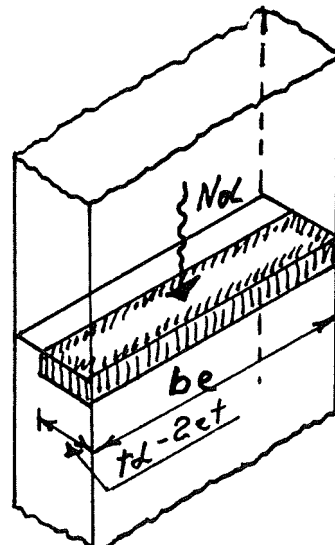
$k_t$  - Trærsnitsfaktor.

$b_e$  - Effektiv bredde.

$t_d$  - Regningsmæssig  
murtykkelse.



For hulmure med  
trådbindere er  $t_d$   
den bærende van-  
ges tykkelse.



$b_e \cdot (t_d - 2e_t)$  - Regningsmæssigt  
spændingsareal.

**et** - murens resulterende excentricitet i træretning.

et består af en række forskellige bidrag, som der ikke skal gøres rede for her. Men hvis murens last med rimelig tolerancce er centralt placeret, kan der tilnærmet regnes med følgende værdier for småhuse.

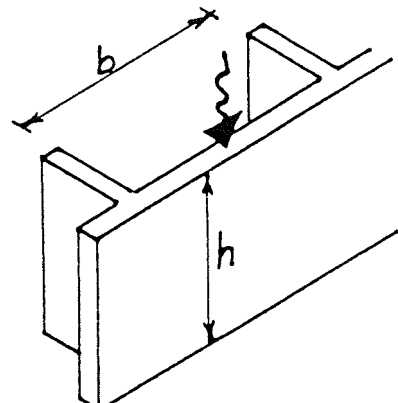
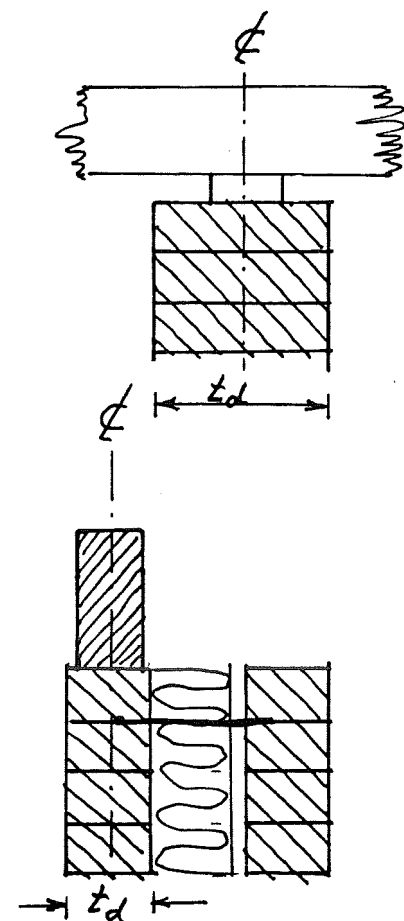
Skillevoegge.	25mm.
Vindbelastede ydervoegge.	30mm.

**ls** - regningsmæssig sagelængde,

Oftest vil  $l_s$  være lig murens højde mellem understøtningerne.

For hulmure med trådbindere kan  $l_s$  reduceres med faktoren 0,9.

For træerfastværede mure kan  $l_s$  også reduceres.



For et murfelt understøttet på fire sider kan regnes:

$$l_s = \frac{h}{1 + \left(\frac{h}{b}\right)^2} \quad \text{for } b \geq h$$

$$l_s = \frac{1}{2} b \quad \text{for } b \leq h$$

hvor

h er etagehøjden

b er afstanden mellem tværvæggene.

For et murfelt understøttet på tre sider kan regnes

$$l_s = \frac{h}{1 + \left(\frac{h}{3b}\right)^2} \quad \text{for } b \geq \frac{h}{3}$$

$$l_s = \frac{3b}{2} \quad \text{for } b \leq \frac{h}{3}$$

hvor

b er afstanden fra tværvæg til vægafslutning.

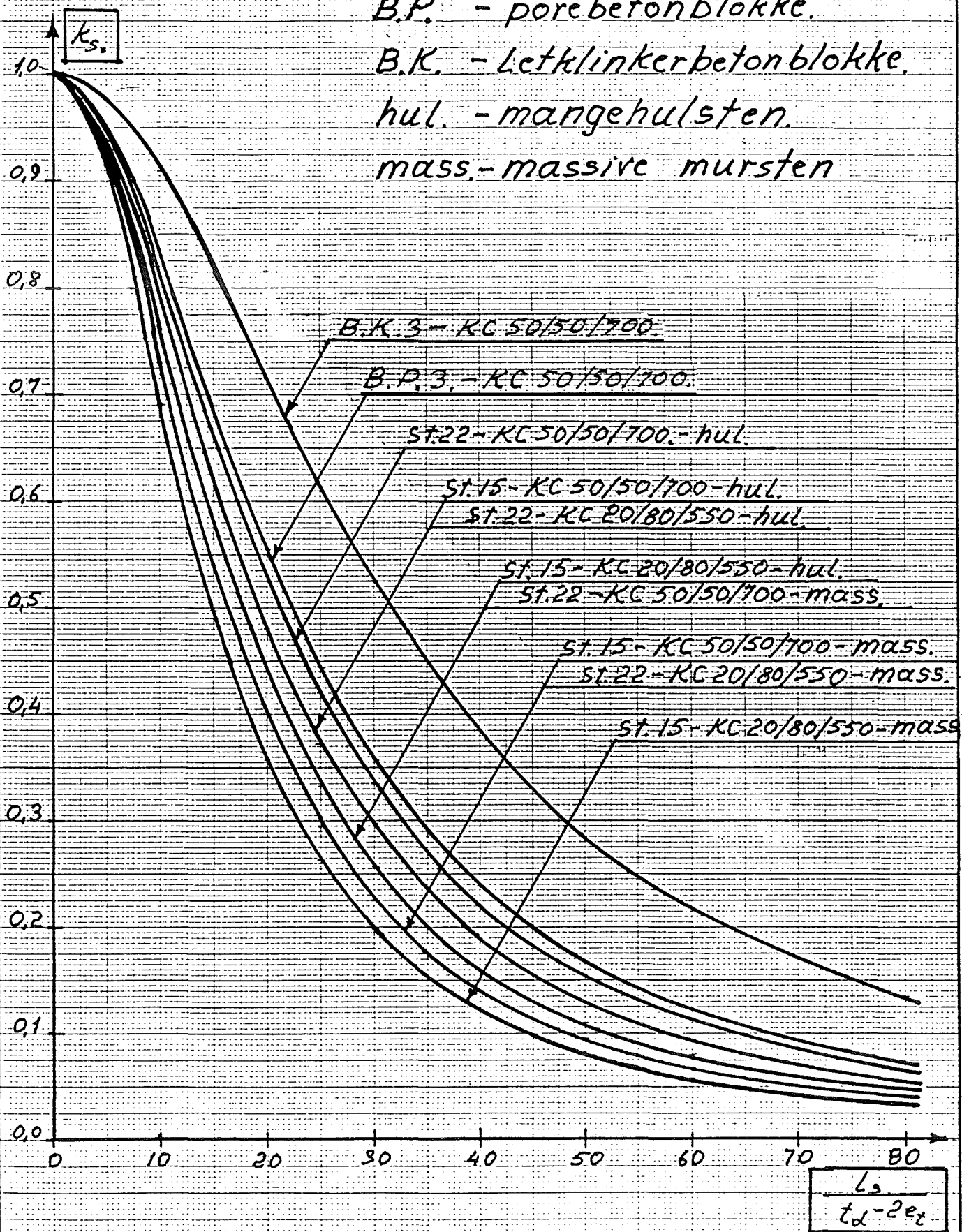
# Søjlekurver.

B.P. - porebetonblokke.

B.K. - Letklinkerbetonblokke.

hul. - mangehulsten.

mass. - massive mursten



Eksempel 17.

1/2 st. mass, stenk l. 15, KC. 50/50/700.

$$b = 1068 \text{ mm} \stackrel{?}{=} 948 \text{ mm.}$$

$$N_d = 5,1 \cdot 1,9 + 2,3(1,9 \cdot 0,7 + 1,1 \cdot 2,1) = 18,06 \text{ kN.}$$

$$\frac{L_s}{t_d - 2e_f} = \frac{2800}{108 - 2 \cdot 25} = 48 \rightarrow k_s = 0,10$$

$$N_{ud} = 0,10 \cdot 0,9 \cdot 1068 \cdot (108 - 2 \cdot 25) \cdot 2,81 \cdot 10^{-3} = 15,67 \text{ kN.}$$

$$N_{ud} = 15,67 \text{ kN} \stackrel{?}{=} N_d = 18,06 \text{ kN \%}$$

3/4 st. stenk l. 15, KC. 50/50/700.

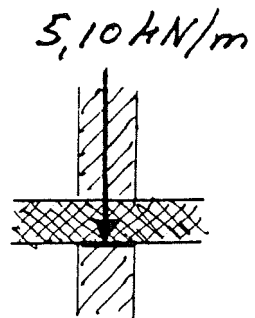
$$b = 1068 \text{ mm} \stackrel{?}{=} 408 \text{ mm.}$$

$$N_d = 5,1 \cdot 1,9 + 3,3(1,9 \cdot 0,7 + 1,1 \cdot 2,1) = 21,70 \text{ kN}$$

$$\frac{L_s}{t_d - 2e_f} = \frac{2800}{168 - 2 \cdot 25} = 24 \rightarrow k_s = 0,31$$

$$N_{ud} = 0,31 \cdot 1,0 \cdot 1068 \cdot (168 - 2 \cdot 25) \cdot 2,81 \cdot 10^{-3} = 109,78 \text{ kN}$$

$$N_{ud} = 109,78 \text{ kN} \stackrel{?}{=} N_d = 21,70 \text{ kN.}$$

Eksempel 18 19.

108+108 mm hulmur

stenk l 22, KC. 50/50/700.

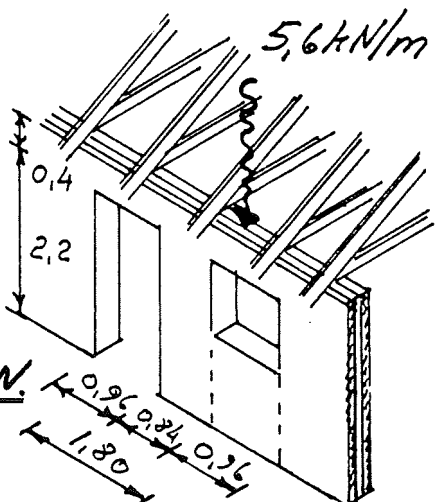
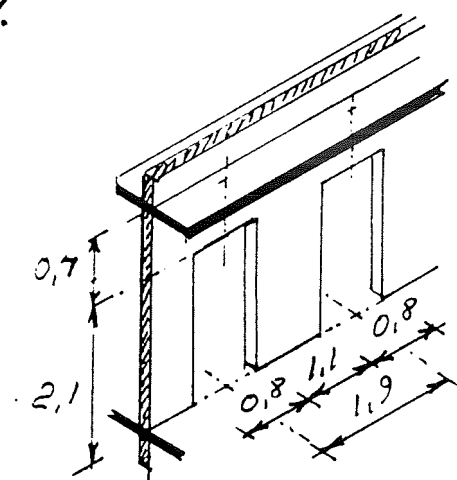
$$b = 828 \text{ mm} \stackrel{?}{=} 408 \text{ mm}$$

$$N_d = 5,6 \cdot 1,8 + 1,9(0,4 \cdot 1,8 + 2,2 \cdot 0,83) = 14,91 \text{ kN}$$

$$\frac{L_s}{t_d - 2e_f} = \frac{2600 \cdot 0,9}{108 - 2 \cdot 30} = 49 \rightarrow k_s = 0,11$$

$$N_{ud} = 0,11 \cdot 1,0 \cdot 828 \cdot (108 - 2 \cdot 30) \cdot 3,47 \cdot 10^{-3} = 15,17 \text{ kN.}$$

$$N_{ud} = 15,17 \text{ kN} \stackrel{?}{=} N_d = 14,91 \text{ kN}$$



## Jernbetonbjælker.

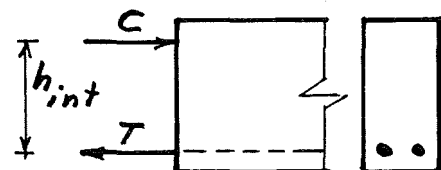
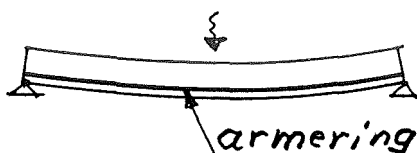
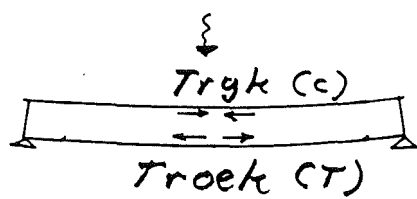
Beton har en stor trykstyrke, men kun en lille trækstyrke. Det betyder at trykket i oversiden af den belastede bjælke kan optages af betonen, men trækket i undersiden kan betonen ikke klare, hvorfor det er nødvendigt at armere.

Da der skal være ligevægt i bjælken er  $c = T$  h.v.s. bjælkens indvendige kraeftter danner kraftparret

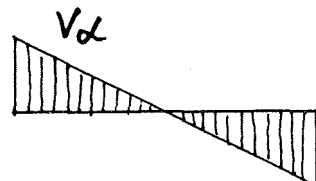
$$T \cdot h_{int} = c \cdot h_{int} = M$$

og  $M$  er her det moment bjælken kan klare.

Hvis momentet  $M_d$  som kommer af bjælkens last sættes lig det indvendige moment  $M$  kan størrelsen af  $T$  bestemmes.



$$\frac{c}{T} \frac{h_{int}}{h_{int}} = M$$



$$M_d = T \cdot h_{int} \Rightarrow$$

$$T = \frac{M_d}{h_{int}}$$

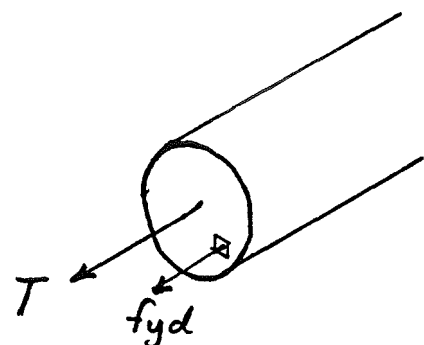
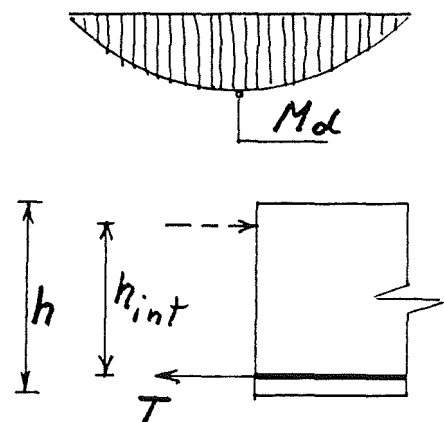
den interne højde  $h_{int}$   
er afhængig af hvor  
meget armering der er  
i bjælken, og må der-  
for vælges.

$$h_{int} \approx 0,8 \cdot h$$

Trekket  $T$  i armeringen  
er lig med armeringsa-  
realed  $A_s$  gange med  
armeringssstyrken  $f_yd$ .

$$T = A_s \cdot f_yd = \frac{M_d}{0,8 \cdot h} \Rightarrow$$

$A_s = \frac{M_d}{0,8 \cdot h \cdot f_yd}$	Armering i jernbetonbj.
--	----------------------------

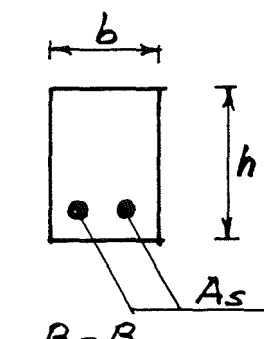
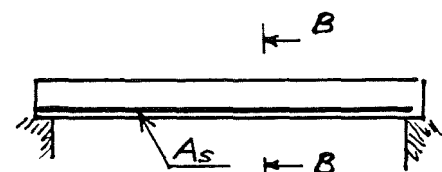


$M_d$ : Bjælkens moment  
i Nmm.

$A_s$ : Bjælkens armering  
i  $\text{mm}^2$ .

$h$ : Bjælkehøjde i mm.

$f_yd$ : Armeringsstyrke i  $\text{N/mm}^2$ .



Tabel for bjælke-  
arming  $A_s$  findes  
i Teknisk ståbi TS.

d mm	masse kg/m				antal armeringsstænger			
	R	T/K	1	2	3	4		
5	0,154		20	39	59	78		
6	0,222	0,228	28	56	85	113		
7	0,302		38	77	115	154		
8	0,395	0,407	50	100	151	201		

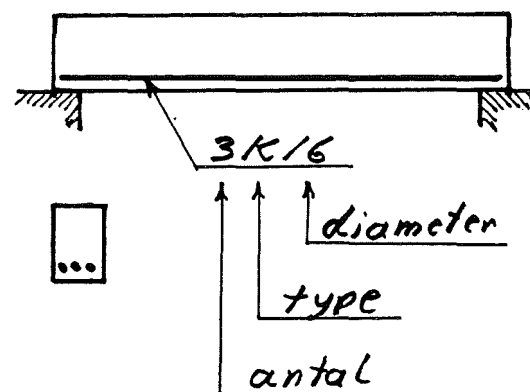
Armeringsstyrken fyld er  
bestemt af:  
Sikkerhedsklasse.  
Kontrolklasse.  
Armeringstype.

T.S. 157			sikkerhedsklasse
kontrolklasse	lav	normal	høj
	$\gamma_1 = 0,9$	$\gamma_1 = 1,0$	$\gamma_1 = 1,1$
lempet	$\gamma_5 = 1,1$	0,99	1,10
normal	$\gamma_5 = 1,0$	0,90	1,00
skærpet	$\gamma_5 = 0,95$	0,86	0,95
			1,05

5.3.3.2 Armering				T.S. 157
Normal sikkerhedsklasse og normal kontrolklasse ( $\gamma_c = 1,4$ )				
betegnelse	$f_{yk}$ MPa	$f_{yck}$ MPa	$f_{yd}$ MPa	$f_{ycd}$ MPa
glat armering				
Handelsstål	200	200	143	143
Fe 360 (St 37) $d > 16$	225	225	161	161
Fe 360 (St 37) $d \leq 16$	235	235	168	168
Fe 430 (St 44) $d > 16$	265	265	189	189
Fe 430 (St 44) $d \leq 16$	275	275	196	196
Fe 510 (St 52) $d > 16$	345	345	246	246
Fe 510 (St 52) $d \leq 16$	355	355	254	254
Ribbestål				
Kamstål Ks 410	410	410	293	293 <sup>1</sup>
Kamstål Ks 550	550	550	393	393 <sup>1</sup>
Tentorstål T	550	440	393	314 <sup>1</sup>

På armeringstegninger  
anvendes symboler for  
at skelne mellem de for-  
stellige arm. typer:

- Fe stål - R
- Ks 410 - K
- Ks 410 S - S
- Ks 550 - Z
- Ks 550 S - YS
- Tentor - Y



S østen styrketal bety-  
der svejsbar.

Til armeret beton  
skal mindst an-  
vendes beton 15.

5.3.3.1 Beton							T.S. 154
Beton ved normal sikkerhedsklasse og normal kontrolklasse							
							betontrykstyrke $f_{ck}$ MPa
							5 10 15 20 25 30
$f_{ck}$							0,7 1,0 1,2 1,4 1,6 1,8
$v$							0,63 0,60 0,58 0,55
armeret	$f_{cd}$						8,3 11,1 13,9 16,7
$\gamma_c = 1,8$	$f_{cdt}$						0,67 0,78 0,89 1,00
uармерет	$f_{cd}$	2	4	6	8	10	10
$\gamma_c = 2,5$	$f_{cdt}$	0,28	0,40	0,48	0,56	0,64	0,64

Eksempel 20.

Normal sik. kl.

Normal kon. kl.

Beton 20.

Armering  $K_s$  410 (k). $b \times h = 150 \times 250 \text{ mm}.$  $M_d = 21,60 \text{ kNm}.$  $f_yd = 293 \text{ N/mm}^2$ 

$$A_s \approx \frac{21,60 \cdot 10^6}{0,8 \cdot 250 \cdot 293} = 369 \text{ mm}^2$$

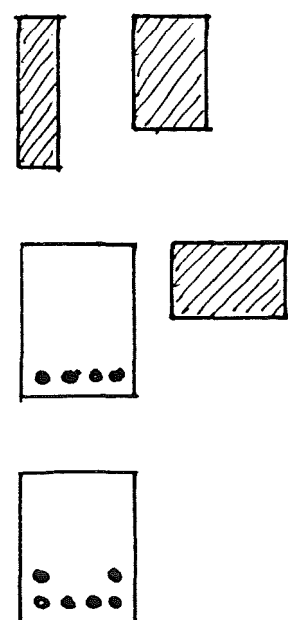
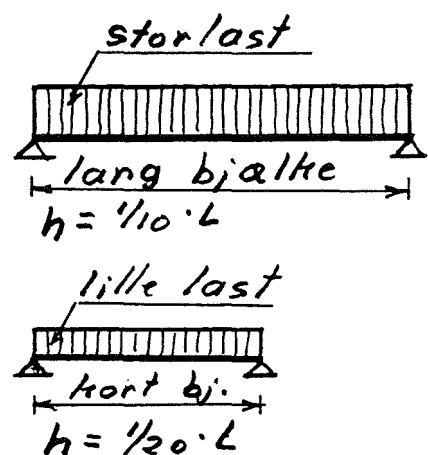
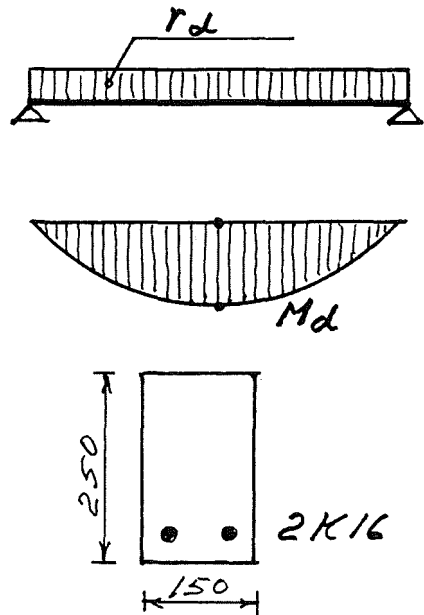
$$\underline{\text{Valg}} \quad 2K16 - A_s = 402 \text{ mm}^2$$

Jernbetonbjælters dimension  $b \times h$  vælges ud fra spændridde  $L$  og størrelsen af lasten.

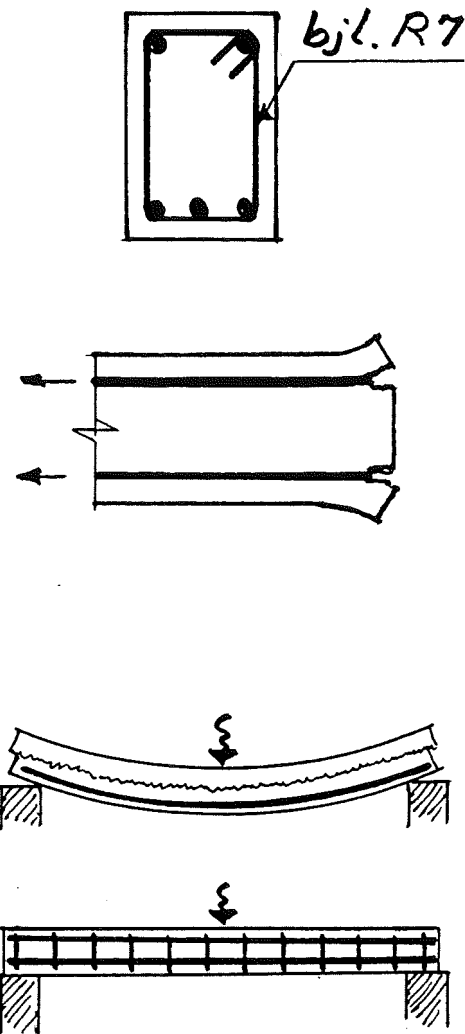
$$\frac{1}{20} \cdot L \leq h \leq \frac{1}{10} \cdot L$$

Bredden  $b$  vælges så trørsnittet bliver pænt, og så der er plads til armeringen, helst i et lag og max. 2 lag.

$$b \geq \begin{cases} \frac{1}{3} \cdot h \\ 150 \text{ mm} \\ (100 \text{ mm}) \end{cases}$$

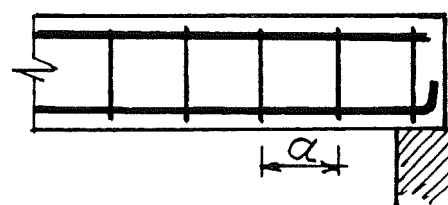


Jernbetonbjælker skal også have træerarme-ring, d.v.s. bøjler som anbringes udenom langdearm. bøjlernes opgave er at holde sammen på længdejernene, således at disse ikke sprænger ud og dermed mistet forbindelsen med betonen, samtidig skal bøjlerne også modvirke de langsgående forskydninger i betonen.

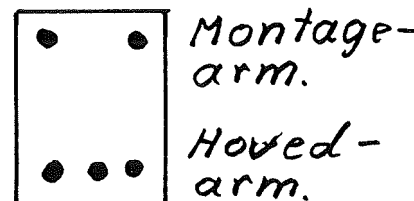


Til bjælker vælg bøjeldimension  $d_t = 7 \text{ mm}$ , og bøjleafstand  $\alpha$ .

$$\alpha \leq \begin{cases} b \\ 0,7 \cdot h \\ 300 \text{ mm} \end{cases}$$



Montagestøngerne i oversiden af bjælken deltager ikke i bærerullen, og kan vælges 2-4 mm mindre end hovedarm.



Armeringen skal være dækket af et betonlag, hvis tykkelse er bestemt af det omgivende miljø.

Armeringsstængerne skal placeres med så stor indbyrdes afstand at udstøbing kan ske uden stenredet.

Minimum dæklag og afstande se tabel.

### Sejt brud.

Et jernbetonträrsnit skal være normalarmert, hvilket vil sige at armeringen skal flyde før betonen knuses.

Dette sikres ved det mekaniske armeringsforhold.

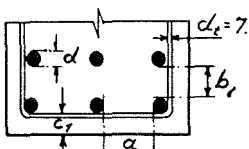
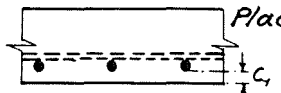
$$w = \frac{A_s \cdot f_y}{0.9 \cdot h \cdot b \cdot f_{cd}} \left\{ \begin{array}{l} \leq w_{bal} \\ \geq w_{min} \end{array} \right.$$

Størrelsen på  $w_{bal}$  og  $w_{min}$  findes i styrketabellerne for armering og beton.

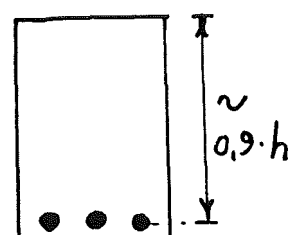
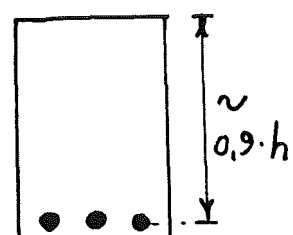
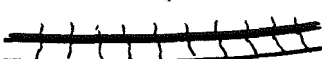
Armeringsplacering i skoerpet og normal kontrol.

d	$a$ c c <sub>1</sub>	$b_1$ nøddesten nøddesten	Miljøklasser					
			c <sub>1</sub> med b <sub>1</sub> /R7	c <sub>1</sub> - plade	aggressivt	moderat	passivt	aggressivt
6								35 25 15
8								35 25 15
10	26	42	16	32	37	27	22	35 25 15
12	26	42	16	32	37	27	22	35 25 18
14	28	42	16	32	37	27	22	35 25 21
16	32	42	16	32	37	27	24	35 25 24
20	40	42	20	32	37	30	30	35 30 30
25	50	50	25	32	38	38	38	
32	64	64	32	32	48	48	48	
35	70	70	35	35	53	53	53	

Ved tempet kontrol-klasse tillægges C og C<sub>1</sub> 5mm.



Bjælke.



Eksempel 21.

SIK. N, KKL. N.  
 Arm.  $k_s 550.S$   
 Beton 20-nøddesten.  
 Passiv miljøklasse.  
 $f_{cn} = 2,3 \text{ N/mm}^2$

$$\left. \begin{array}{l} f_{yd} = 393 \\ f_{cd} = 11,1 \text{ N/mm}^2 \end{array} \right\}$$

Last på etage,  $r_d = 3,30 \text{ kN/m}^2$

$$h = \left\{ \begin{array}{l} \frac{1}{20} \cdot 4000 = 200 \\ \frac{1}{10} \cdot 4000 = 400 \end{array} \right\} \frac{V_a/g}{h = 300 \text{ mm}}$$

$$b = \left\{ \begin{array}{l} \frac{1}{3} \cdot 300 = 100 \\ 150 \end{array} \right\} \frac{V_a/g}{b = 180 \text{ mm}}$$

$$L = 4,00 + 2 \cdot \frac{1}{2} \cdot 0,16 = 4,16 \text{ m}$$

Last på bjælke incl. egv.

$$r_d = 3,30 \cdot 3,70 + 0,18 \cdot 0,30 \cdot 24 = 13,51 \text{ kN/m}$$

$$M_d = \frac{1}{8} \cdot 13,51 \cdot 4,16^2 = 29,22 \text{ kNm}$$

$$A_s \approx \frac{29,22 \cdot 10^6}{0,8 \cdot 300 \cdot 393} = 310 \text{ mm}^2$$

$$V_a/g \quad 2 \text{ YS14} - A_s = 308 \text{ mm}^2$$

$$b_{min} = 22 + 14 + 42 + 14 + 22 = 114 \text{ mm} \stackrel{=}{=} b = 180 \text{ mm}$$

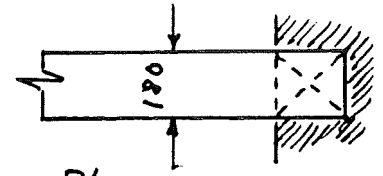
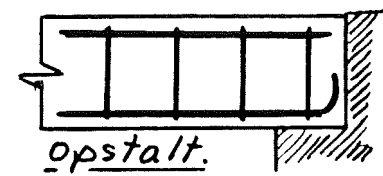
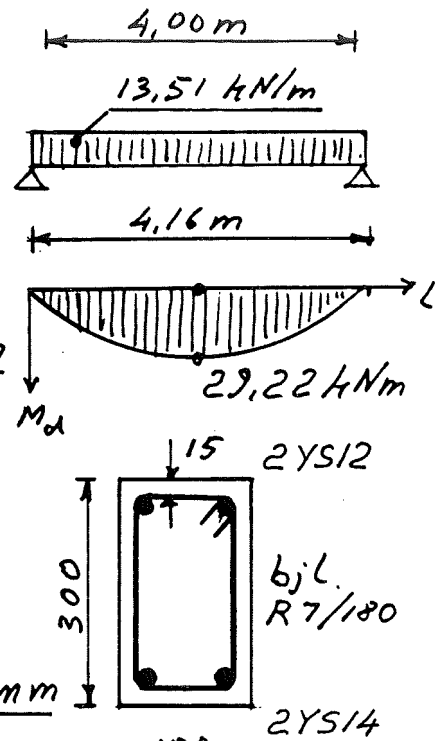
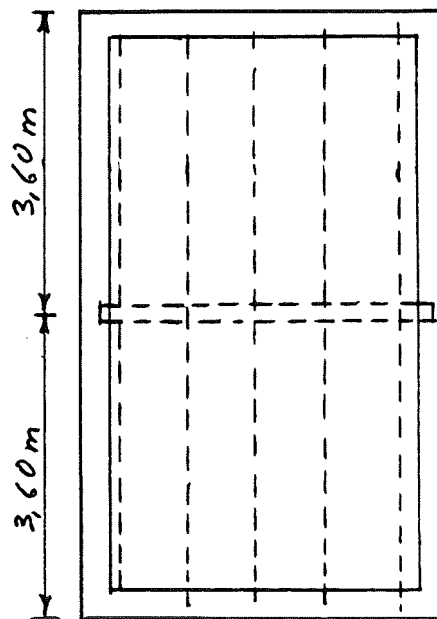
$$W = \frac{308 \cdot 393}{0,9 \cdot 300 \cdot 180 \cdot 11,1} = 0,22 \quad \left\{ \begin{array}{l} \bar{w}_{bal} = 0,448 \\ \bar{w}_{min} = 0,041 \end{array} \right.$$

$$\alpha_{bjL} \stackrel{=}{=} \left\{ \begin{array}{l} b = 180 \\ 0,7 \cdot h = 0,7 \cdot 300 = 210 \\ 300 \end{array} \right\} \underline{\underline{bjL R7/180}}$$

Vederlag.

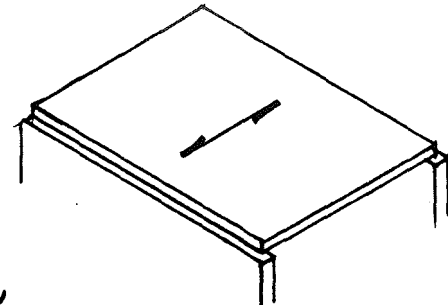
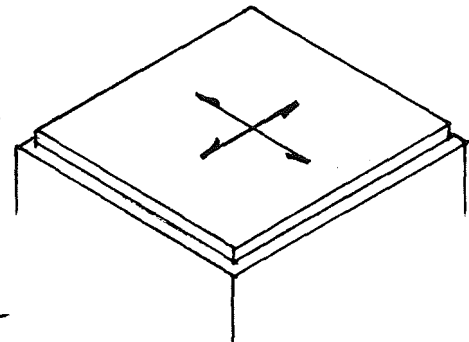
$$V_A = V_B = \frac{1}{2} \cdot 13,51 \cdot 4,16 = 28,10 \text{ kN}$$

$$\sigma_c = \frac{28,10 \cdot 10^3}{180 \cdot 160} = 0,98 \text{ N/mm}^2 \stackrel{=}{=} \left\{ \begin{array}{l} f_{cn} = 2,3 \\ f_{cd} = 11,1 \end{array} \right.$$

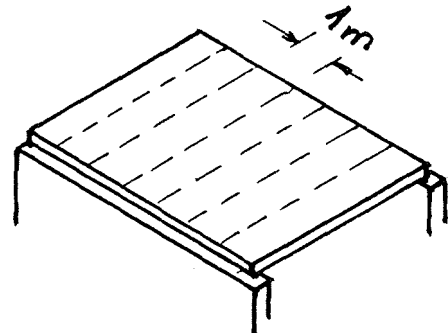


## Jernbetonplader.

Rektangulærer jernbetonplader kan enten være dobbeltspændte, d.v.s. at de bører i begge retninger, og derfor skal være understøttet langs alle 4 sider. Eller også kan de være enkeltspændte, d.v.s. de bører kun i den ene retning og behøver kun at være understøttet langs 2 modstående sider.



En enkeltspændt plade beregnes som en række 1 m brede bjælker d.v.s. at momentet regnes som for bjælker.



$$M_d = \frac{1}{8} \cdot r_d (\text{kN/m}) \cdot L^2 (\text{m}^2) = (\text{kNm})$$

Når pladen regnes 1 m bred bliver momentet.



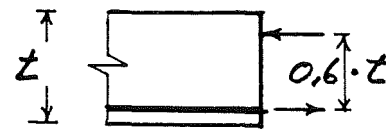
$$m_d = \frac{1}{8} \cdot r_d (\text{kN/m}^2) \cdot L^2 (\text{m}^2) = (\text{kNm/m}). m_d$$

Bemærk lille bogstav p.g.a. moment pr. m.



# Armeringsarealset (hovedarmering)

$$a_s \approx \frac{m_d}{0,6 \cdot t \cdot f_y d} \text{ (mm}^2/\text{m)}$$



På grund af pladens rige „højde“ ( $t$ ) sættes.

$$\text{h}_\text{int} \approx 0,6 \cdot t$$

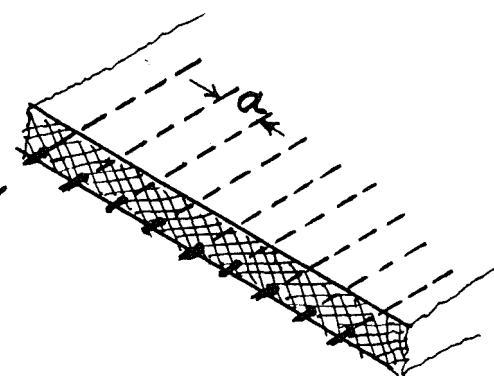
Når  $a_s$  er beregnet kan armeringen findes i pladearmeringtabel i T.S.

armerings- afstand mm	antal stænger per m	armeringsdiameter mm			
		5	6	7	8
70	14,3	280	404	550	718
75	13,3	261	377	513	670
80	12,5	245	353	481	628
85	11,8	232	333	453	591
90	11,1	218	314	428	559
95	10,5	206	298	405	529

Til hjælp for at bestemme en fornuftig armering, kan stangdiameter vælges.

$$d \approx \frac{1}{10} \cdot t$$

og armeringsafstand.



$$a \left\{ \begin{array}{l} \geq 100 \text{ mm} \\ \leq \{ 2 \cdot t \\ 250 \text{ mm} \end{array} \right.$$

Normalarmeret tværsnit.

$$w = \frac{a_s \cdot f_y d}{0,9 \cdot t \cdot 1000 \cdot f_{cd}} \left\{ \begin{array}{l} \geq w_{bal} \\ \leq w_{min} \end{array} \right.$$

61.

### Eksempel 22.

$$m_d = 15,00 \text{ kNm/m}$$

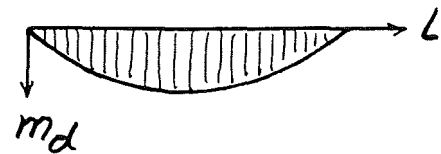
$$f_y d = 393 \text{ N/mm}^2$$

$$t = 120 \text{ mm.}$$

$$\alpha_s = \frac{15,00 \cdot 10^6}{0,6 \cdot 120 \cdot 393} = 530 \text{ mm}^2/\text{m}$$

$$d \approx \frac{1}{10} \cdot 120 = 12 \text{ mm}$$

$$\alpha \left\{ \begin{array}{l} \leq 100 \text{ mm} \\ = 2 \cdot 120 = 240 \text{ mm} \\ \geq 250 \text{ mm} \end{array} \right.$$



Valg

YS 12/200

$$\alpha_s = 565 \text{ mm}^2/\text{m}$$

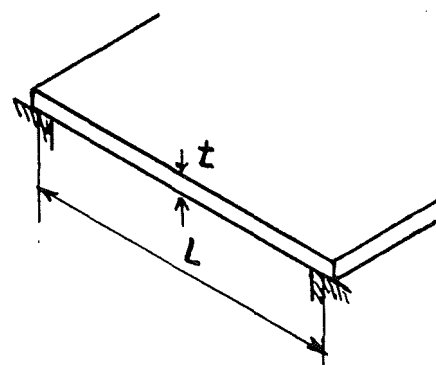
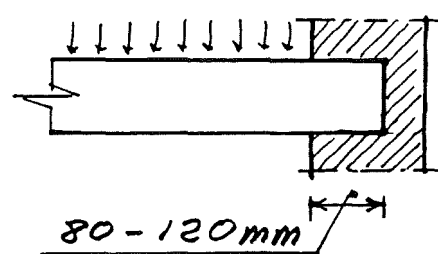
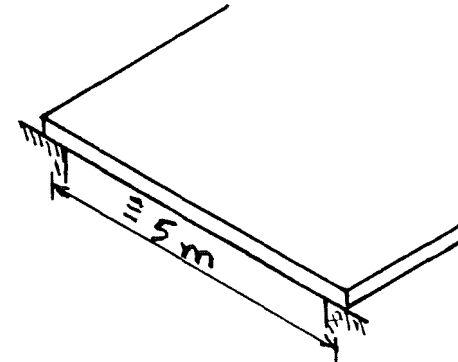
En enkelspændt plade bør ikke være for lang

$$L \leq 5 \text{ m}$$

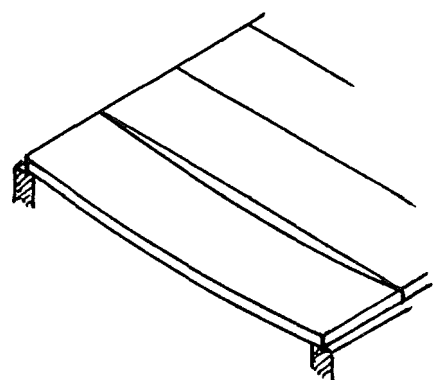
Pladens vederlag bør være 80-120 mm

Pladens tykkelse kan ud fra stivhedstav vælges til

$$t \approx \begin{cases} \frac{1}{30} \cdot L \\ 80 \text{ mm} \end{cases}$$



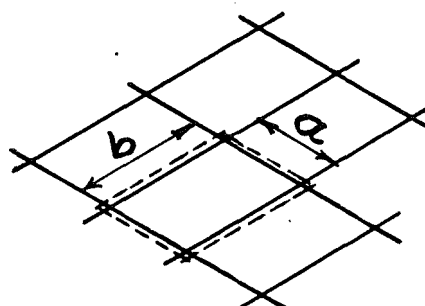
Da pladen ikke i praksis uden videre kan voere en række 1m brede plader, lægges den på tværs en fordelingsarmering (tværarmering)



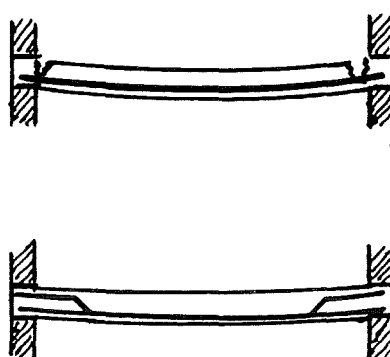
$$\alpha_t \geq \begin{cases} \frac{1}{5} \cdot \alpha_s \\ R7 \\ el.(K)8 \\ el. T6 \end{cases} \begin{matrix} \text{pr. 250} \\ (b=250) \end{matrix} \quad \alpha_t \text{ samme type som } \alpha_s$$

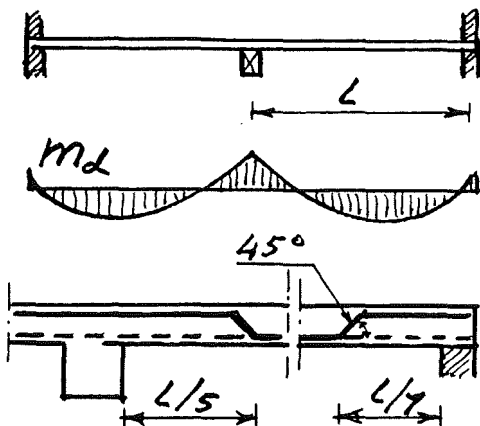
Normen stiller krav til maskeomkreds.

$$O = 2(a+b) \leq \begin{cases} 1200 \text{ mm} \\ 10 \cdot t \end{cases}$$



Ved pladens understøtninger vil/kan der p.g.a. indspænding blive træk i pladens overside, for at sikre imod brud skal halvdelen af armeringen bukkes op efter følgende regler.



Hovedarmering:Mellomunderstøtn. 4/5Endeunderstøtn. 4/7Fordelingsarmering:Alle understøtn. 2 t; 1/3 · tEksempel 23.

SIK. N, KKL. N

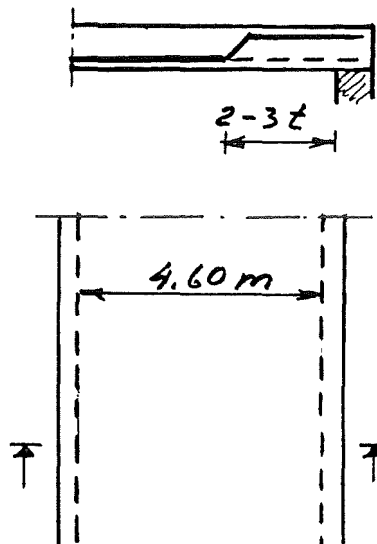
Arm. Ks 410

Beton 20, nøddesten

Passiv miljøklasse.

$$L = 4600 + 2 \cdot \frac{1}{2} \cdot 100 = 4700 \text{ mm} = 5000$$

$$t \geq \left\{ \begin{array}{l} \frac{1}{30} \cdot 4700 = 156 \\ 80 \end{array} \right\} \text{ Valg } 160 \text{ mm}$$

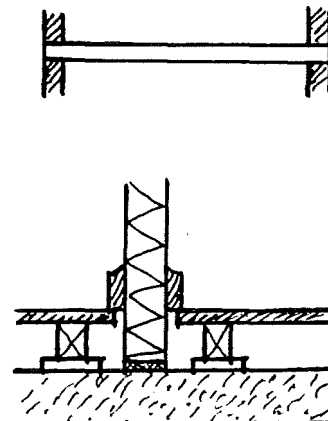
Last:

$$\text{Nytte last} \quad 1,50 \cdot 1,3 = 1,95$$

$$\text{Lette røegge} \quad 1,00 \cdot 1,0 = 1,00$$

$$\text{Gulv på strøer} \quad 0,25 \cdot 1,0 = 0,25$$

$$\text{egv. pl.} \quad 0,16 \cdot 24 \cdot 1,0 = 3,84$$

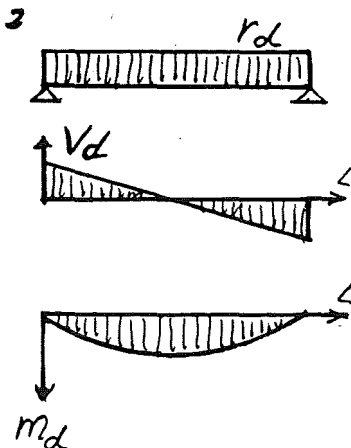


$$r_d = 7,04 \text{ kN/m}^3$$

$$m_d = \frac{1}{8} \cdot 7,04 \cdot 4,7^2 = 19,44 \text{ kNm/m}$$

$$V_A = V_B = \frac{1}{2} \cdot 7,04 \cdot 4,7 = 16,54 \text{ kN/m}$$

$$V_d = V_A = 16,54 \text{ kN/m}$$



$$\alpha_s = \frac{19,44 \cdot 10^6}{0,6 \cdot 160 \cdot 293} = 691 \text{ mm}^2/\text{m}$$

$$d \approx \frac{1}{10} \cdot 160 = 16 \text{ mm}$$

$$\frac{100}{100} \leq \alpha \leq \begin{cases} 2 \cdot 160 = 320 \text{ mm} \\ 250 \text{ mm} \end{cases}$$

$$\text{Valg } K14/200 - \alpha_s = 769 \text{ mm}^2/\text{m}$$

$$W = \frac{769 \cdot 293}{0,9 \cdot 160 \cdot 1000 \cdot 11,1} = 0,14 \quad \begin{cases} \bar{w}_{bal} = 0,505 \\ \bar{w}_{min} = 0,041 \end{cases}$$

$$\alpha_t \geq \begin{cases} \frac{1}{5} \cdot 691 = 138 \text{ mm}^2/\text{m} \\ K8/250 \end{cases}$$

$$\text{Valg } K8/250, \alpha_t = 201 \text{ mm}^2/\text{m}$$

$$O_c = \frac{1}{2}(200+250) = 225 \equiv \begin{cases} \frac{1200}{10 \cdot 160} = 1600 \text{ mm} \end{cases}$$

$$\frac{1}{7} \cdot 4700 = 671 \text{ mm} \rightarrow \text{valg } 700 \text{ mm}$$

$$\left. \begin{array}{l} 2 \cdot 160 = 320 \\ 3 \cdot 160 = 480 \end{array} \right\} \rightarrow \text{Valg } 400 \text{ mm}$$

$$\text{Dæklag } c = 21 \text{ mm}$$

Noter:

Beton:

$f_{ck} \geq 20 \text{ MN/m}^2$  - nøddesten.

Armering:

Kamstål Ks 410 (K).

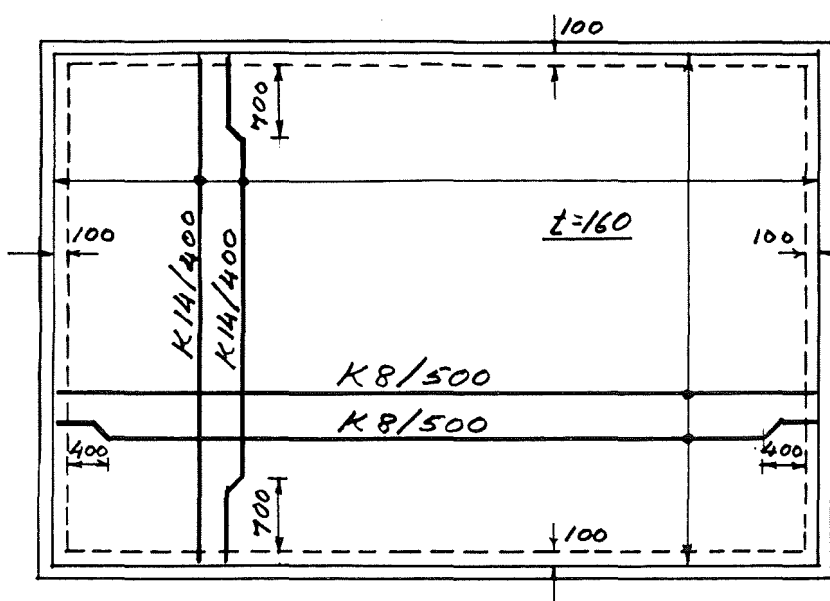
Normal kontrolklasse.

Passiv miljøklasse.

Dæklag 21 mm.

Stødlængder  $\begin{cases} K14 - 550 \\ K8 - 300 \end{cases}$

Ubenørnte mål er mm.

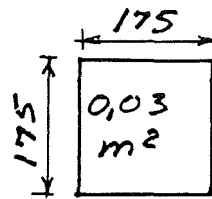


## Jernbetonsøjler.

For at en jernbeton-søjle må regnes bærende, skal følgende krav være opfyldt:

Betontværsnit.

$$A_c \geq 0,03 \text{ m}^2$$



$$0,175^2 = 0,03 \text{ m}^2$$

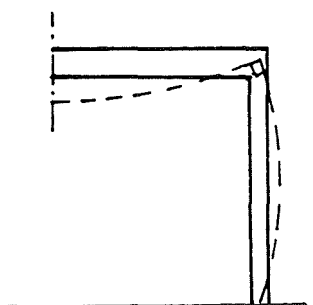
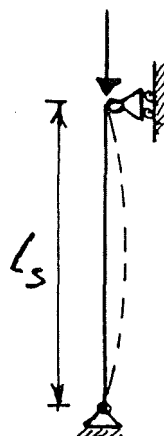
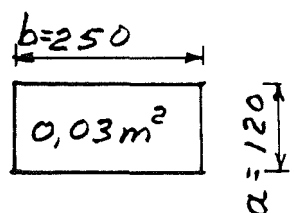
Hvilket betyder at en kvaratisk søjle mindst skal være  $175 \times 175 \text{ mm}$

søjletværsnittets mindste side.  $a \geq b$

$$a \geq 120 \text{ mm}$$

En af forudsætningerne ved søjleberegninger er at den statiske model har hængsellede i top og bund. Men en søjle støbt in-sidet hvor bjælken og søjlen støbes ud i et, opfylder ikke denne betingelse. Bjælkens nedbøjning påvirker søjlen udbøjn.

$$0,12 \cdot 0,25 = 0,03 \text{ m}^2$$



Dette forhold korrigeres ved at øge lasten med en ekscentricitetsfaktor ( $k$ ), som er afhængig af søjlenes placering. Det er kun lasten fra den bjælke der ligger af på den beregnede søjle der skal ganges med  $k$ .

$$(N_d) = V_1 + G_1 + [V_2 \cdot k] + G_2 =$$

I T.S. side 193 er der en bærcævnetabel for en række kvadratiske træsnit.

#### Eksempel 24.

SIK. N, KKL. N,  $l_s = 2,8 \text{ m}$ .

Armering Fe 360, Beton 20.

$V_A + V_B$  Ø. etage  $120 \text{ kN}$

$V_A + V_B$  m. etage  $160 \text{ kN}$

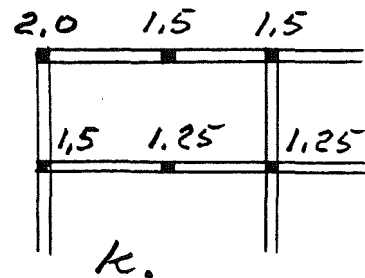
$$N_d = 120 + 160 \cdot 2,0 + g \cdot s \phi = 440 + g \cdot s \phi.$$

Iflg tabel:  $N_{ud} = 484 \text{ kN}$

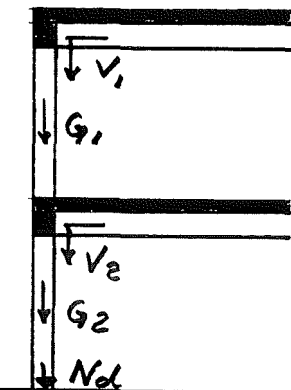
$$200 \times 200 - 4R16 - \text{bj. R7/240} - L_s = 3,0 \text{ m}$$

$$N_d = 120 + 160 \cdot 2,0 + 0,2 \cdot 0,2 \cdot 2 \cdot 2,8 \cdot 24 =$$

$$(N_d) = 445,38 \text{ kN} < N_{ud} = 484 \text{ kN}$$

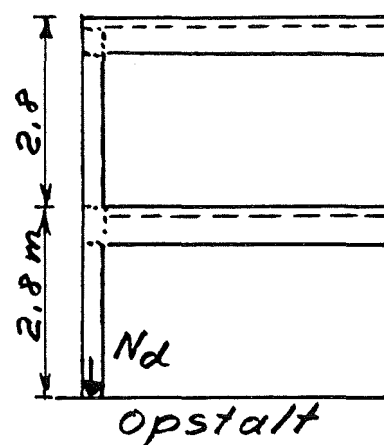


$k$ .

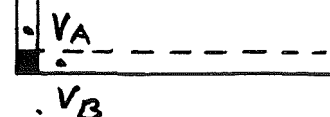


T.S. 193.

sidelinie b mm	hoved- armering	bøjle- armering	fri søjlelængde	
			2,0 m	3,0 m
175	4 R 12 4 R 16	R 5/180 R 7/240	369 428	326 376
200	4 R 12 4 R 16 4 R 20	R 5/180 R 7/240 R 7/300	472 531 595	425 484 523



Plan.



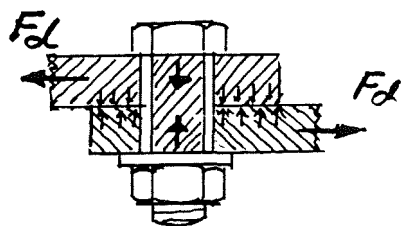
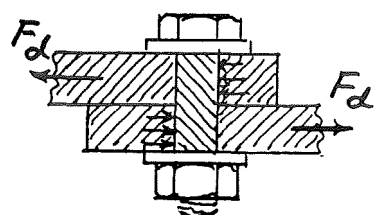
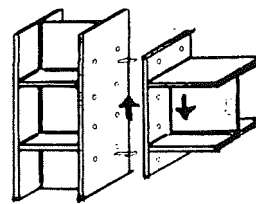
## Boltsamlinger.

Montagesamlinger af stålkonstruktioner er næsten altid boltsamlinger, disse kan deles i 2 typer dornsamlinger og friktionssamlinger.

Dornboltens svigt for tværlast vil være et overklip af bolten, og friktionssamlingens svigt for tværlast vil være en glidning mellem de sammenspændte plader.

Bolte fremstilles i en række boltkvaliteter, ud fra hvilket boltens regningsmæssige styrke  $f_{bolt}$  kan beregnes, den mest anvendte bolt i dag er kvalitetsklasse 8.8

Dornbolte kan enten være en (dyr) afdrejet pas-bolt d.v.s. en bolt der passer præcis i hullet,



REGNINGSMÆSSIG VERDI $f_{bolt} \text{ N/mm}^2$	
BOLTEKVALITETS KLASSE	SIKKERHEDSKL. NORMAL
3.6	141
4.6	198
4.8	250
5.6	234
5.8	313
6.8	375
→ 8.8	500
9.8	563
10.9	641
12.9	769

eller det kan være den mere anvendte slipbolt, d.v.s. en valset bolt hvor hullet er større end bolten.

### Tværlastede slipbolte.

$$d_{bolt} < 18 \text{ mm} \rightarrow hul \leq d_{bolt} + 1,0 \text{ mm}$$

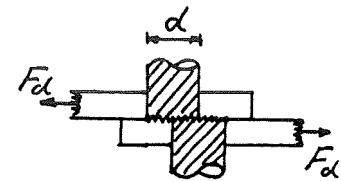
$$d_{bolt} \geq 18 \text{ mm} \rightarrow hul \leq d_{bolt} + 1,5 \text{ mm}$$

Seksekantskruer og metrikker

med metrisk gevind

Ydre gevind-diameter mm	Kerne-diam. mm	Kerne-arealet mm <sup>2</sup>	Spannings-arealet mm <sup>2</sup>	Skæfte-arealet mm <sup>2</sup>
M 8	6,65	34,7	37,6	50,3
M 10	8,38	55,1	59,5	78,5
M 12	10,1	80,2	86,3	117
M 14	11,8	110	118	154
M 16	13,8	150	160	201
M 20	17,3	235	250	314
M 22	19,3	292	309	380
M 24	20,7	338	360	452
M 27	23,7	443	468	573
M 30	26,2	540	571	707
M 36	31,7	788	831	1018
M 42	37,1	1083	1140	1385
M 48	42,6	1424	1498	1810

T.S.  
279.



Overklip.

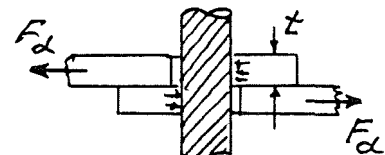
$$\Sigma = \frac{F_d}{A_{skift}} \approx 0,58 \cdot f_{bolt}$$

Hulrand.

$$\sigma = \frac{F_d}{z \cdot d} \leq \frac{f_y d}{0,65}$$

### Slipbolte.

Tværlast -> Overklip  
Hulrand



Slipboltes bæreevne kan findes i T.S. side 277.

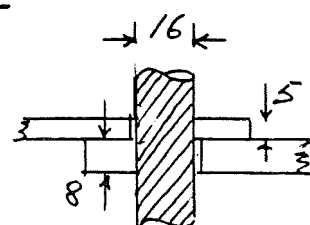
### Eksempel 25.

Boltkvalitet Ø.Ø.,  $F_c = 360$ .

$$F_{ud} = \left\{ \begin{array}{l} \text{bolt. } 58,0 \\ \text{hulrand. } 22,6 \end{array} \right\} \text{ kN} \geq \frac{F_d}{n \cdot \text{bolte}}$$

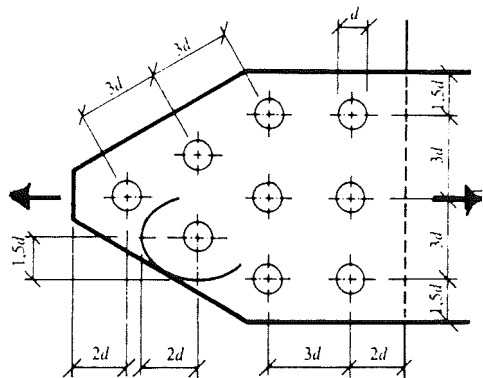
For at få den fulde udnyttelse af bolten, skal mindste pladetykkelse være

$$t = 13 \text{ mm} \rightarrow F_{ud} = 58,8 \text{ kN}$$

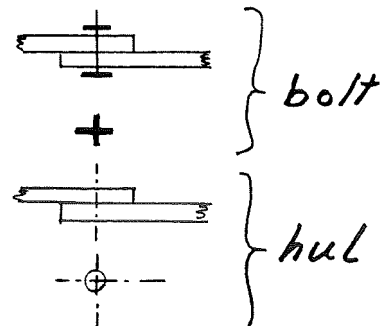


Afstandsregler.

For at undgå forstyrrende  
ningsbrud mellem bolt-  
hullerne, stiller normen  
krav til hulafstand.

Signaturer.

På tegninger står der  
kunne ses forskel på  
huller og bolte, møtrik-  
side bør markeres.

Eksempel 26.

Bolt 8.8., Fe. 430.

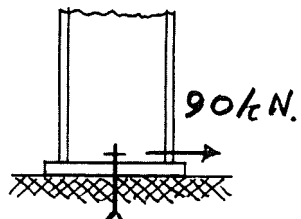
$$F_d = 90 \text{ kN}, 2 \text{ M?} -$$

Overklip.

$$F_d = \frac{1}{2} \cdot 90,0 = 45,0 \text{ kN/bolt}$$

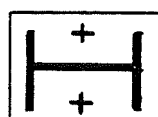
I fl/g. tabel M16,  $F_{ud} = 58,0 \text{ kN}$

$$\sigma = \frac{90,0 \cdot 10^3}{2 \cdot 201} = 223,9 \text{ N/mm}^2 \leq 0,58 \cdot 500 = 290$$



Hulrand.

$$F_d = \frac{90 \cdot 0,85}{2} = 38,25 \text{ kN/bolt}$$



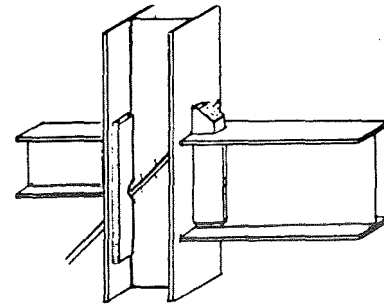
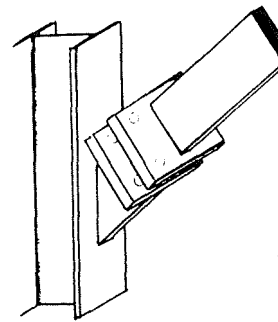
I fl/g. tabel z=10mm,  $F_{ud} = 45,2 \text{ kN}$

$$\sigma = \frac{90 \cdot 10^3}{2 \cdot 10 \cdot 16} = 281,25 \text{ N/mm}^2 \leq \frac{215}{0,65} = 330,77$$

### Traekbelastede slipbolte.

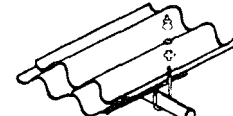
For belastning i boltens aksial/retning bliver boltens snitkraft normalkraften ( $N_d$ ). For denne last er boltens svageste snit ved gevindet  $A_s =$  spændingsarealet.

På grund af hærvirkning reduceres boltens styrke med faktoren 1,2, når gevindet er rullet.



$$\sigma = \frac{N_d}{A_s} \leq \frac{f_{bolt}}{1,2}$$

Traekboltes bærcervne findes i T.S. 277.



### Eksempel 27.

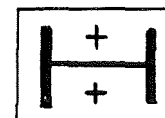
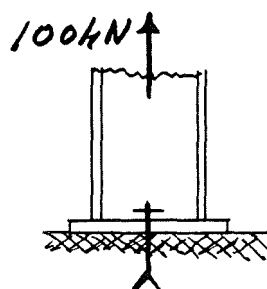
Bolt 8.8., Fe. 430.

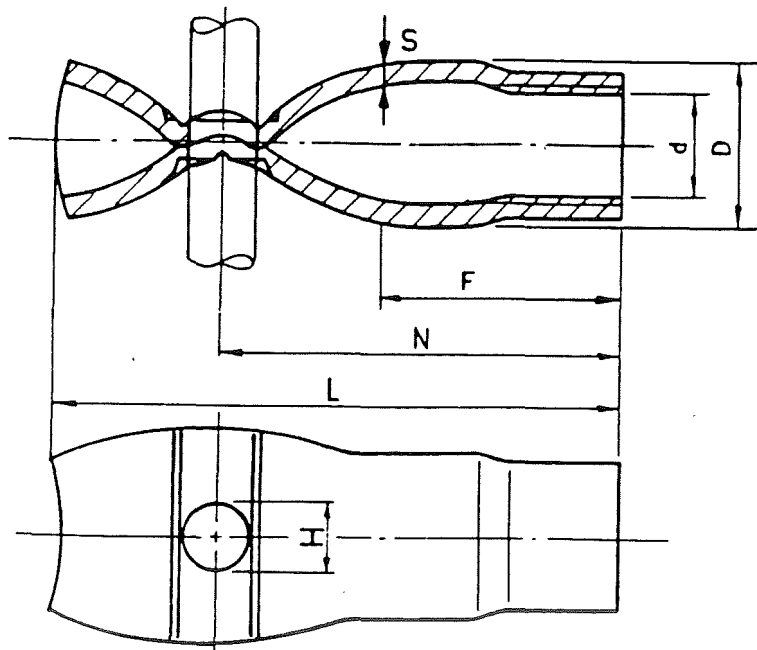
$$N_d = 100,0 \text{ kN}, 2 \text{ M}^2.$$

$$N_d = \frac{100,0}{2} = 50,0 \text{ kN/bolt}$$

I flgtabel MIC,  $N_{ud} = 66,7 \text{ kN}$

$$\sigma = \frac{100,0 \cdot 10^3}{2 \cdot 160} = 312,5 \text{ N/mm}^2 \leq \frac{500}{1,2} = 416,67.$$





Til transport af elementer  
bør type AMT anvendes

Mål i mm							Vægt gr.	Tilrædelig max. belastning tons	Prøvebelastning tons	Sikkerhedsfaktor
d M/WG	L	HØ	S	F	DØ	N				
M 10 3/8"	55	5,5	1,5	25	13	40	25	0,4	2,5	6,2
M 12 1/2"	65	7	2,0	30	17	45	45	0,8	3,5	4,3
M 16 5/8"	75	9	2,5	35	22	55	85	1,1	4,5	4,0
M 20 3/4"	95	11	3,25	42	27	70	170	1,5	8,0	5,3
M 24 1"	140	14	4,0	85	34	110	415	2,0	11,0	5,5
M 30 1 1/4"	190	17	4,0	100	42,5	145	730	2,3	16,0	6,9

Ret til ændringer forbeholdes

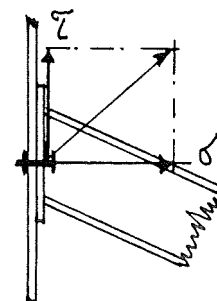
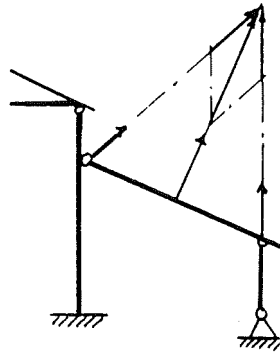
Andre dimensioner på bestilling

Tegnet:	C. GERICKE A/S Gammelgårdsvæj 65 3520 Farum Danmark Tlf. (01) 95 12 55	C. G. LETTE RØRMØTRIKKER TYPE RME	Oktobre 1974
Kontr.			
Godkendt			3/211-2

72.

## Slipbolte med træk- og forstyrningslast.

De resulterende spændinger fra de 2 laster må ikke overskride bolten's styrke.

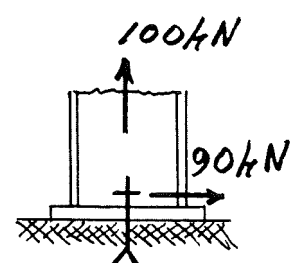


## Eksempel 28.

$$\text{If/}g \text{ eks. 25. } \underline{\tau = 223,9 \text{ N/mm}^2}$$

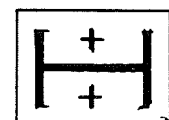
$$\text{If/}g \text{ eks. 26. } \underline{\delta = 312,5 \text{ N/mm}^2}$$

$$\sqrt{(1,2 \cdot 312,5)^2 + 3(223,9)^2} = \underline{539,5 \text{ N/mm}^2 \leq 500\%}$$



Nyt valg  $2M20$ ,  $z = 10 \text{ mm}$

Dokumenter at samlingens spændinger er i orden?

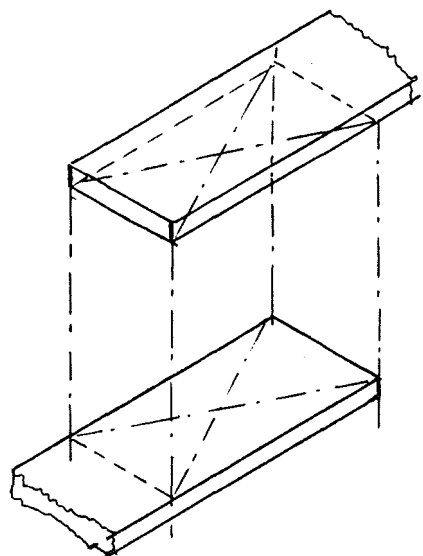


## Spændbolte.

For at opnå den nødvendige friktion mellem kontaktfladerne skal følgende være opfyldt.

### Rensning af kontaktfladerne

Ved normal behandling skal kontaktfladerne renses for valsehud, rust og lignende ved flammerrensning eller sandblæsning. Efter rensningen skal kontaktfladerne være jævne og plane.



### Planatretning af kontaktfladerne

Safremt anlægsfladerne har buer eller lignende fx på grund af svejse-deformationer eller støbeunøjagtigheder, skal der foretages en planatretning af anlægsfladerne

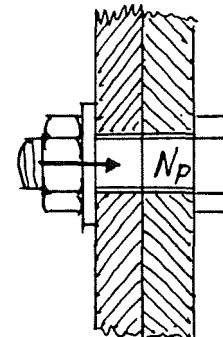
### Renholdelse af kontaktfladerne

Der skal drages omsorg for, at kontaktfladerne umiddelbart før samling er fri for fugt, is, rust, olie, fedt, maling og lignende.

Forspændingskraften pr.  
bolt for 8.8. bolte.

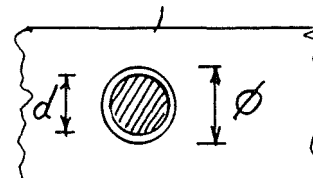
$$N_p = 0,75 \cdot 640 \cdot A_s$$

Den regningsmæssige friktion for stål/stål Fe 360 og Fe 430 er  $\mu_d = 0,35$



Bærcrævnen er også afhængig af hullets størrelse i forhold til bolten.

$\phi_{hul} - d_{bolt}$	1 mm	2 mm	3 mm
$C_5$	1,0	1,1	1,25



Spændboltes bærcrævne

$$Fud = \frac{0,35 \cdot N_p}{C_5}$$

$Fud$	+	+	+	$Fud$
	+	+	+	

Eksempel 29.

Bolt 8.8, M16

$$\varnothing_{hul} - d_{bolt} = 3 \text{ mm}$$

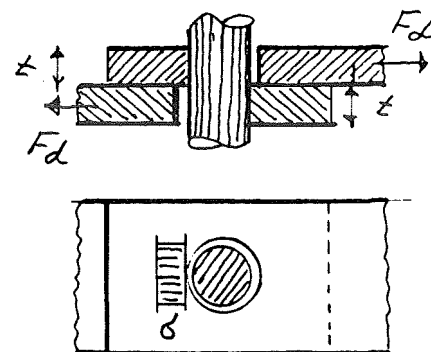
$$N_p = 0,75 \cdot 640 \cdot 160 \cdot 10^{-3} = 76,8 \text{ kN}$$

$$F_{ud} = \frac{0,35 \cdot 76,8}{1,25} = 21,6 \text{ kN}$$

Np og Fud se TS 278.

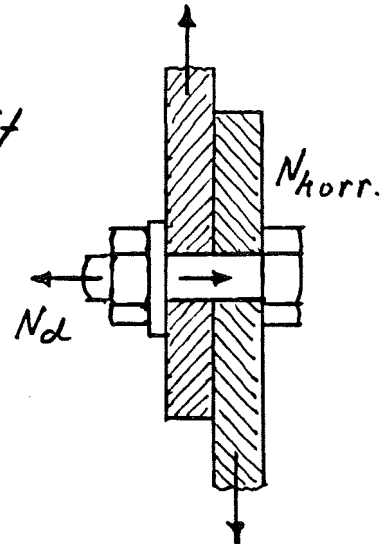
Spændbolte skal undersøges for hulrand lige som trælastede slipbolte.

$$\sigma = \frac{F_d}{\zeta \cdot d} \leq \frac{f_{yd}}{0,5}$$

Spændbolte med ydre træk.

Boltens forspændingskraft bliver formindsket af det ydre træk, og da samtidig boltens trækstyrke fyd/1,2 skal overholdes bliver

$$N_{korrig} = N_p - N_d \text{ for 8.8. bolte}$$



$$N_{korrig} = \frac{500}{1,2} \cdot A_s - N_d$$

og

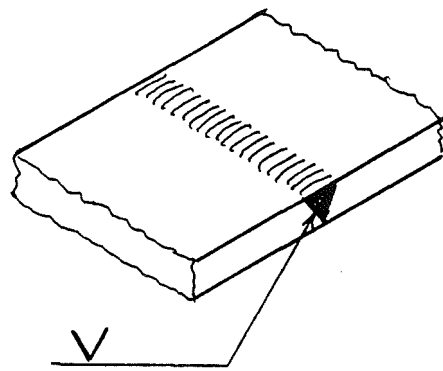
$$F_{ud} = \frac{0,35 \cdot N_{korrig}}{c_s}$$

## Svejsesamlinger.

Svejsesamlingers styrke  
er afhængig af:

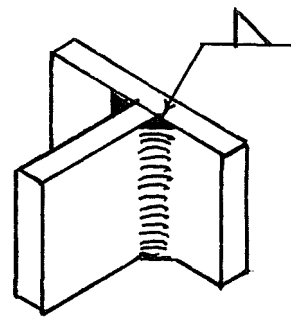
1. Stålstyrke  $\left\{ \begin{array}{l} Fe\ 360 \\ Fe\ 430 \\ Fe\ 510 \end{array} \right.$

idet valg af elektrode  
altid skal tilpasses  
konstruktionsstållet.



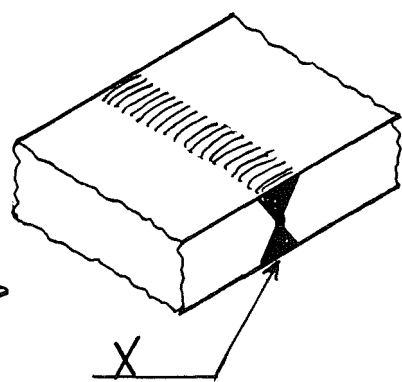
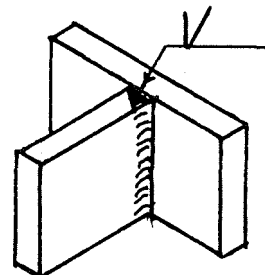
2. Sømtype  $\left\{ \begin{array}{l} \text{Kantsømme} \\ \text{Stumpsømme} \end{array} \right.$

Stumpsømme er bedst,  
men også den dyreste  
på grund af tildannelsen  
af sømtværsnit.



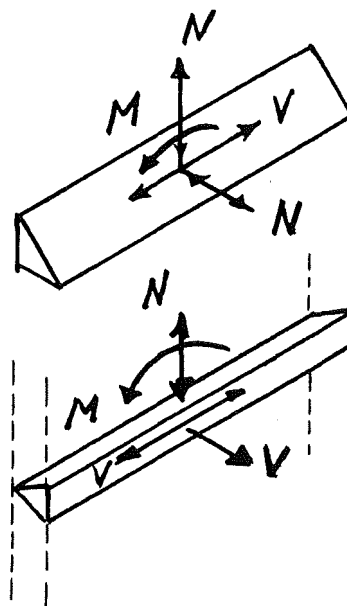
3. Sømklasser  $\left\{ \begin{array}{l} A - \text{god.} \\ B - \text{bedre.} \\ C - \text{bedst.} \end{array} \right.$

Svejsning i sømklassen A giver mindst styrke,  
men da den kræver  
mindst kontrol bliver  
den billigst. Sømklassen  
A er almindeligvis til-  
strækkelig til husbygg-  
ningskonstruktioner.



4. Snit-kraft
- |                 |
|-----------------|
| Trekk (N)       |
| Tryk (N)        |
| Moment (M)      |
| Forskydning (V) |

Afhængig af sørklasse og snitkraft øges svejsdæmmens spænding med en sørnfaktor.



Sørmtyppe	Snitkraft	Sørklasse		
		A	B	C
Stumpsør	Trekk	1,5	1,2	1,0
	Tryk	1,2	1,0	1,0
	Moment	1,5	1,2	1,0
	Forskydning	1,2	1,0	1,0
Kantsør	Trekk	1,8	1,5	1,4
	Tryk	1,7	1,4	1,4
	Moment	1,8	1,5	1,4
	Forskydning	1,2	1,0	1,0

### Stumpsømme.

Regningsmæssigt areal.

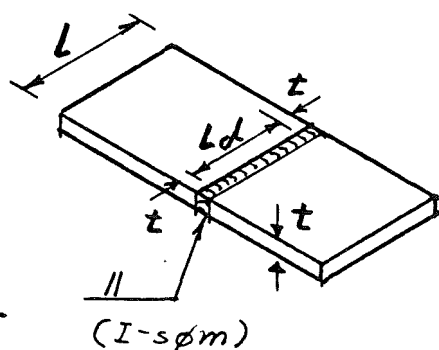
$$A_d = l_d \cdot t$$

Regningsmæssig sørmlængde.

$$l_d = l - 2 \cdot t$$

Regningsmæssig sørmtykkelse.

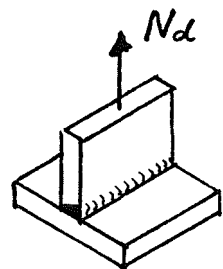
$t$  = mindste pladetykkelse



Spoendingsformler for  
stumpsømme i klasse A.

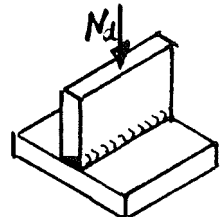
Traek.

$$\delta_N = 1,5 \cdot \frac{Nd}{t \cdot (L-2t)} \leq fyd$$



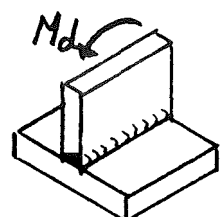
Tryk.

$$\delta_N = 1,2 \cdot \frac{Nd}{t \cdot (L-2t)} \leq fyd$$



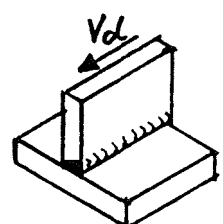
Moment.

$$\delta_M = 1,5 \cdot \frac{Md}{t \cdot t \cdot (L-2t)^2} \leq fyd$$



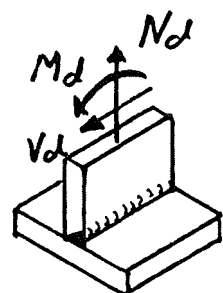
Forskydning.

$$\bar{\epsilon}_v = 1,2 \cdot \frac{Vd}{t(L-2t)} \leq 0,58 \cdot fyd$$

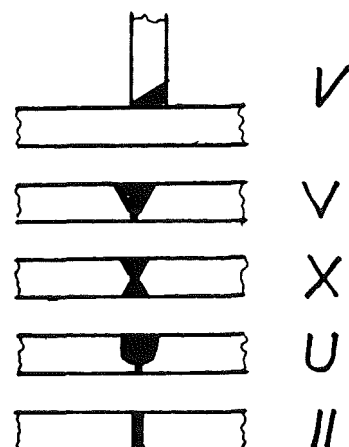


Hvis svejsetsømmen er utsat for en kombination af snitkræfter skal følgende også eftervises.

$$\sqrt{(\delta_N \pm \delta_M)^2 + 3(\bar{\epsilon}_v)^2} \leq fyd$$



Valget af stumpsømmes form er afhængig af tykkelsen på pladerne den skal sammensvejses, der skal være plads til at svejse.



Eksempel 30.

$$f_{yd} = 184 \text{ N/mm}^2$$

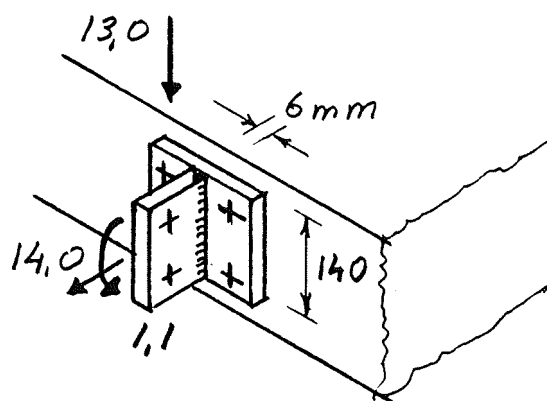
$$M_d = 1,1 \text{ kNm}$$

$$N_d = 14,0 \text{ kN}$$

$$V_d = 13,0 \text{ kN}$$

$$t = 6 \text{ mm}$$

Sømklasse A



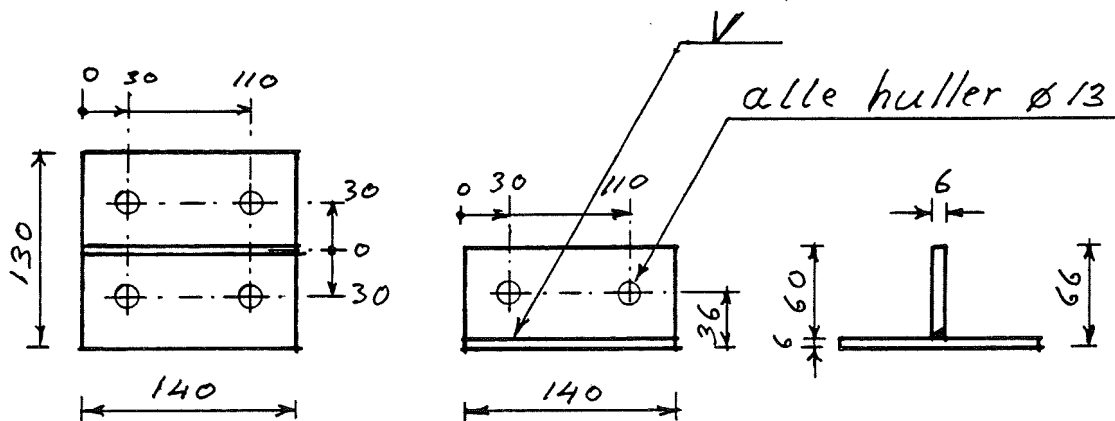
$$c_d = 140 - 2 \cdot 6 = 128 \text{ mm}$$

$$\delta_N = 1,5 \cdot \frac{14,0 \cdot 10^3}{6 \cdot 128} = \underline{27,3 \text{ N/mm}^2 \leq 184 \text{ N/mm}^2}$$

$$\delta_M = 1,5 \cdot \frac{1,1 \cdot 10^6}{\frac{1}{6} \cdot 6 \cdot 128^2} = \underline{100,7 \text{ N/mm}^2 \leq 184 \text{ N/mm}^2}$$

$$\delta_V = 1,2 \cdot \frac{13,0 \cdot 10^3}{6 \cdot 128} = \underline{20,3 \text{ N/mm}^2 \leq 0,58 \cdot 184 = 106,7}$$

$$\sqrt{(27,3 + 100,7)^2 + 3(20,3)^2} = \underline{132,7 \text{ N/mm}^2 \leq 184 \text{ N/mm}^2}$$



## Kantsømme.

$\alpha = \text{sømtykkelse}$

$$3 \text{ mm} \leq \alpha \leq 20 \text{ mm}$$

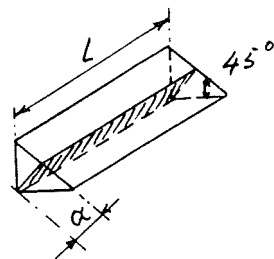
Regningsmæssigt sømaredl.

$$L_d = \alpha \cdot L_d$$

Regningsmæssig sømlængde.

$$L_d = L - 2\alpha$$

$$L_d = \begin{cases} 8 \cdot \alpha \\ 40 \text{ mm} \end{cases}$$



For at undgå ekscentricitet, vil kantsømmestørstet altid være dobbelte.

Spændingsformler for dobbelt kantsøm i klasse A.

Trek.

$$\sigma_N = 1,8 \cdot \frac{N_d}{2 \cdot \alpha \cdot (L - 2\alpha)} \leq f_y d$$

Tryk.

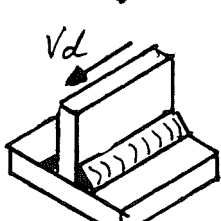
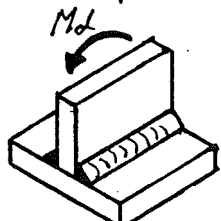
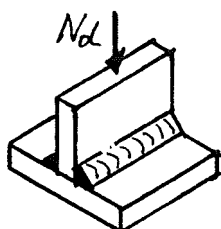
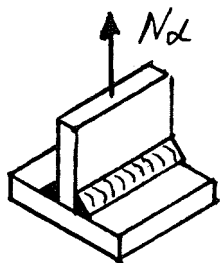
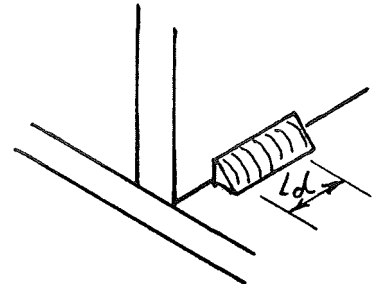
$$\sigma_N = 1,7 \cdot \frac{N_d}{2 \cdot \alpha \cdot (L - 2\alpha)} \leq f_y d$$

Moment.

$$\delta_M = 1,8 \cdot \frac{M_d}{2 \cdot \frac{1}{6} \cdot \alpha \cdot (L - 2\alpha)^2} \leq f_y d$$

Forskydning

$$\Sigma_v = 1,2 \cdot \frac{V_d}{2 \cdot \alpha \cdot (L - 2\alpha)} \leq 0,58 \cdot f_y d$$



Ved kombination af snitkraeftter skal følgende også eftervises.

$$\sqrt{(\sigma_N \pm \sigma_M)^2 + 3(\epsilon_v)^2} \leq fyd$$

### Eksempel 31.

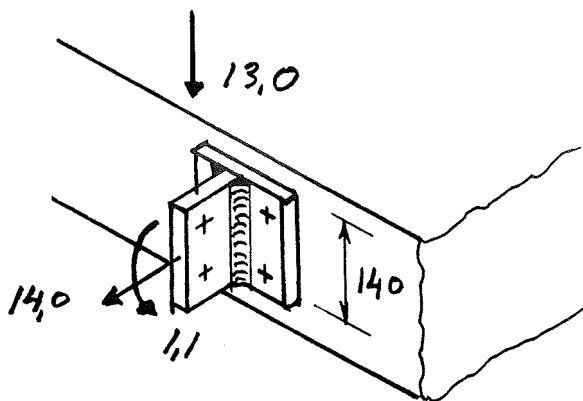
$$fyd = 184 \text{ N/mm}^2$$

$$M_d = 1,1 \text{ kNm}$$

$$N_d = 14,0 \text{ kN}$$

$$V_d = 13,0 \text{ kN}$$

Sømklasse A



$$3 \text{ mm} \leq 4 \text{ mm} \leq 20 \text{ mm}$$

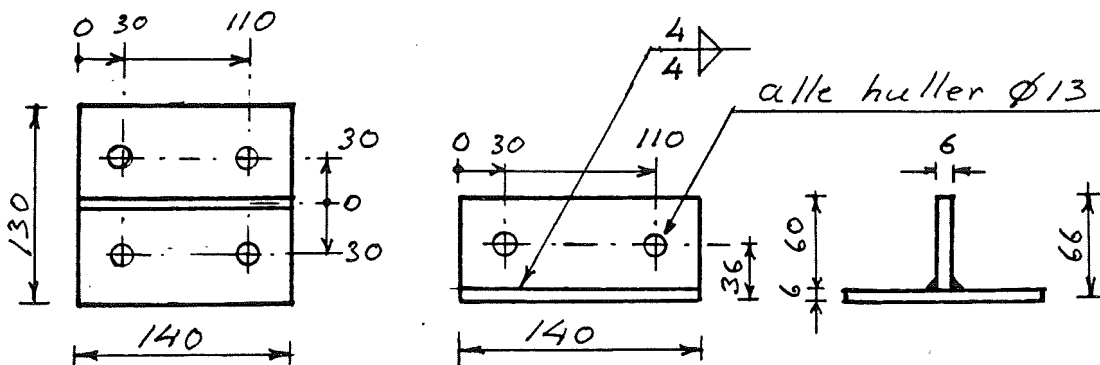
$$l_d = 140 - 2 \cdot 4 = 132 \text{ mm}$$

$$\sigma_N = 1,8 \cdot \frac{14,0 \cdot 10^3}{2 \cdot 1,1 \cdot 132} = 23,9 \text{ N/mm}^2 \leq 184 \text{ N/mm}^2$$

$$\sigma_M = 1,8 \cdot \frac{1,1 \cdot 10^6}{2 \cdot 1,1 \cdot 4 \cdot 132} = 85,2 \text{ N/mm}^2 \leq 184 \text{ N/mm}^2$$

$$\epsilon_v = 1,2 \cdot \frac{13,0 \cdot 10^3}{2 \cdot 4 \cdot 132} = 14,8 \text{ N/mm}^2 \leq 0,58 \cdot 184 = 106,7 \text{ N/mm}^2$$

$$\sqrt{(23,9 + 85,2)^2 + 3(14,8)^2} = 112,1 \text{ N/mm}^2 \leq 184 \text{ N/mm}^2$$



## Svejsesymboler på tegninger.

Kantsømmes dimension anbefales angivet med sit a-mål, men kan også angives med sit z-mål.

Hvis der ikke er angivet nogen længde skal der svejses hele vejen.

Ved stumpspømme kan dimensionen udelades, hvis der skal gennemsvej'sen i hele tykkelsen.

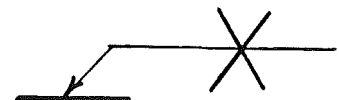
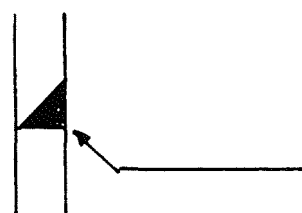
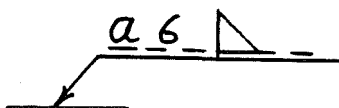
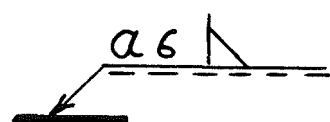
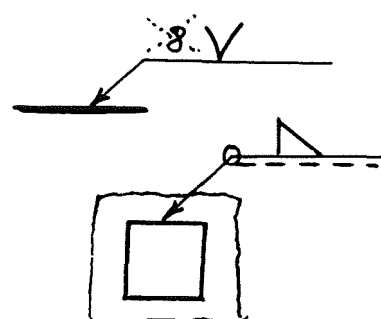
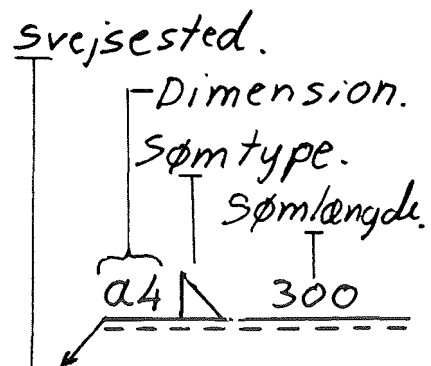
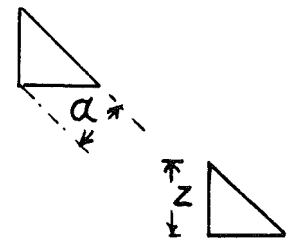
Svejsning hele vejen rundt markeres med en bolle.

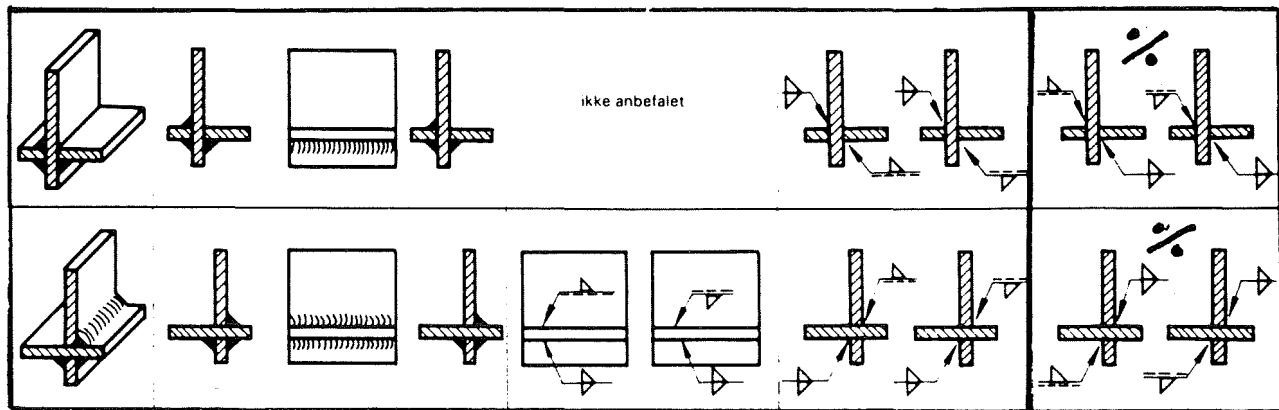
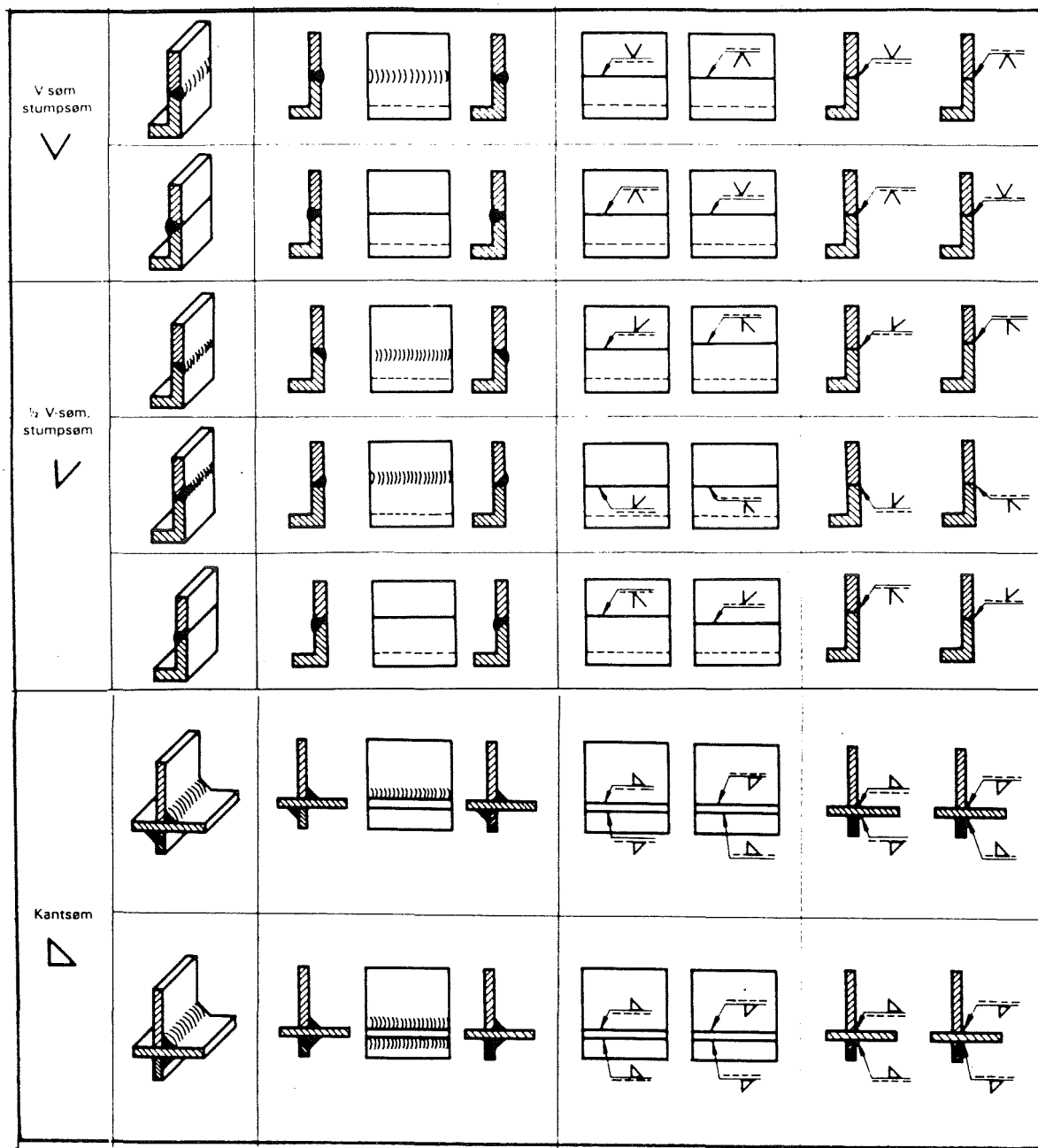
Oplysninger om svejsning på forsiden skrives på fuldstregelinien.

Og om bagsiden skrives på den punkterede linie.

Ved usymmetrisk tildannede stumpfuger skal pilespidsen vende mod den profilerede kant.

Ved symmetriske sørme udelades den punkterede linie.

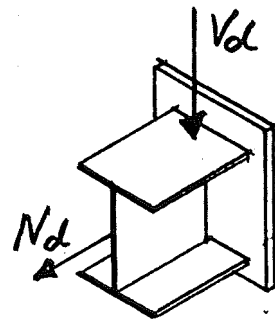




Hvis der i en samling er både træer- og længdesømme, kan der ikke umiddelbart laves spændingsbestemmelse på grund af forskellige snitkraeftter og sømfaktorer. Under forudsætning at den svejses i sømklassen A, vil en tilnærmet svejsesømstyrke, der på den sikre side tager hensyn til ovenstående, være 0,48 · fyd.

Derefter kan samlingens styrke/bæreevne effektiviseres for både stumpømme og kantsømme ved følgende bæercevneudtryk.

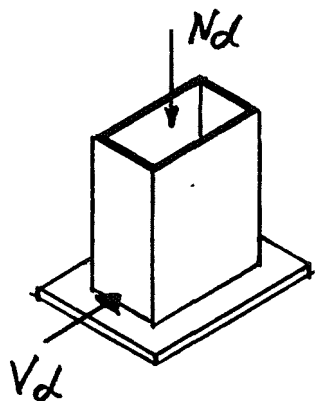
$$\Sigma N_{ud} + V_{ud} = A_d \cdot 0,48 \cdot f_y d \geq \Sigma N_d + V_d$$



$$\begin{aligned}\sigma_N &= \frac{N_d}{A_d} \leq \frac{f_y d}{1,8} \Rightarrow \\ \sigma_N &\leq 0,56 \cdot f_y d\end{aligned}$$

$$\begin{aligned}\Sigma_v &= \frac{V_d}{A_d} \leq \frac{0,58 \cdot f_y d}{1,2} \Rightarrow \\ \Sigma_v &\leq 0,48 \cdot f_y d\end{aligned}$$

$$\begin{aligned}\sigma_N &= \frac{N_d}{A_d} \leq \frac{f_y d}{1,7} \Rightarrow \\ \sigma_N &\leq 0,59 \cdot f_y d\end{aligned}$$



Eksempel 32.

$$fyd = 215 \text{ N/mm}^2, \alpha = 4 \text{ mm (A)}$$

$$V_d = 150 \text{ kN}, N_d = 80 \text{ kN}$$

— — — — —  
Sømme ved flanger.

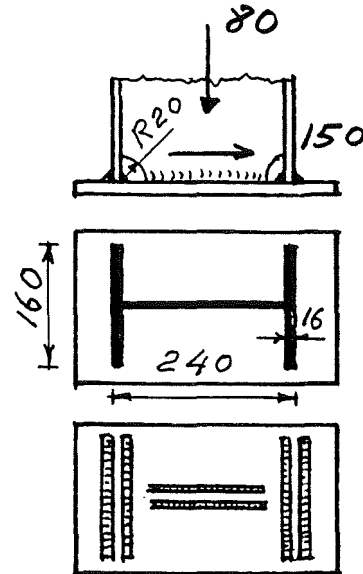
$$4 \text{ stk} \cdot 4 \cdot (160 - 2 \cdot 4) = 2432$$

Sømme ved krop.

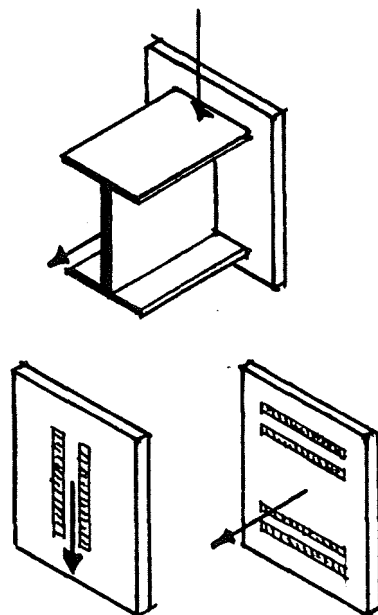
$$2 \text{ stk} \cdot 4 \cdot (240 - 2(16 + 20 + 4)) = 1280$$

$$Ad = 3712 \text{ mm}^2$$

$$Fud = 3712 \cdot 0,48 \cdot 215 \cdot 10^{-3} = 383,1 \text{ kN} \geq 150 + 80 = 230 \text{ kN}$$



En anden metode hvor man f. eks. lader sørjs ved krop optage kraften i den ene retning, og sørjs ved flanger optage kraften i den anden retning er også acceptabel.

Eksempel 33.

$$RHS 100 \times 200, \alpha = 4 \text{ mm}$$

$$fyd = 215 \text{ N/mm}^2, \text{ sømkel. A}$$

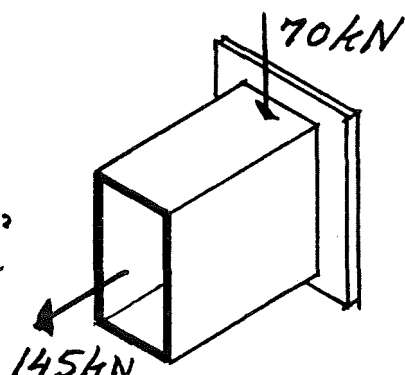
$$V_d = 70 \text{ kN}, N_d = 145 \text{ kN}$$

$$\delta_N = 1,8 \cdot \frac{145 \cdot 10^3}{2 \cdot 4 \cdot (100 - 2 \cdot 4)} = 169,9 \text{ N/mm}^2$$

$$\delta_N = 169,9 \text{ N/mm}^2 \leq fyd = 215 \text{ N/mm}^2$$

$$\bar{\Sigma}_v = 1,2 \cdot \frac{70 \cdot 10^3}{2 \cdot 4 \cdot (200 - 2 \cdot 4)} = 114,1 \text{ N/mm}^2$$

$$\bar{\Sigma}_v = 114,1 \text{ N/mm}^2 \leq 0,58 \cdot 215 = 124,7 \text{ N/mm}^2$$



## Sammensatte fladers tyngdepunkt.

Et areals tyngdepunkt kan bestemmes som resultanten af delarealernes tyngdepunkt.

Da summen af delarealetnes momenter, må være liget så stort som det samlede areals moment omkring en valgt akse, skal følgende være opfyldt.

$$\Sigma (A \cdot z) = (\Sigma A) \cdot z_0 \Rightarrow$$

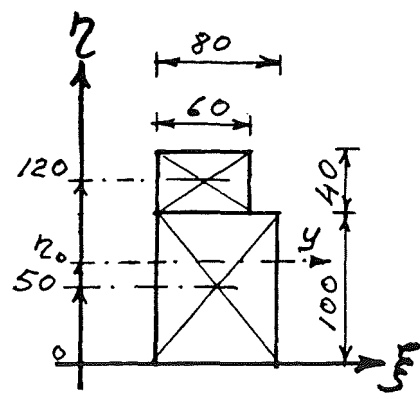
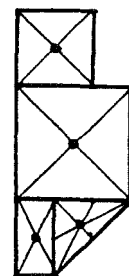
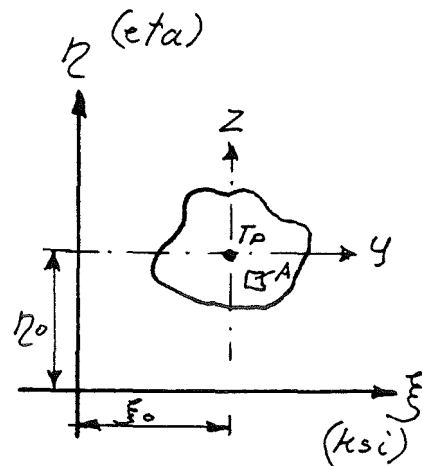
$$z_0 = \frac{\Sigma (A \cdot z)}{\Sigma A}$$

$z_0$  er afstanden fra den valgte akse og til arealets tyngdepunkt.

Ved beregningen opdeles arealet i delarealer med kendt tyngdepunkt, se T.S. side 34-37.

### Eksempel 34.

$$z_0 = \frac{100 \cdot 80 \cdot 50 + 60 \cdot 40 \cdot 120}{100 \cdot 80 + 60 \cdot 40} = \underline{66 \text{ mm.}}$$



## Arealers inertimoment.

Ved et areals inertimoment om en linie forstås den positive sum af de enkelte arealelementer gange med kadratet på deres afstand fra linien.

$$I_g = \int_A z^2 \cdot dA = I_y + z_0^2 \cdot A$$

$I_y$  er trærsnittets inertimoment om dets egen tyngdepunktsakse (se T.S.)

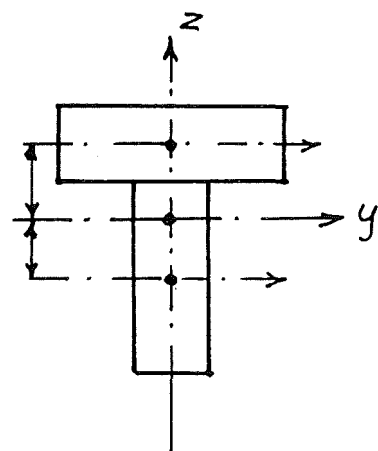
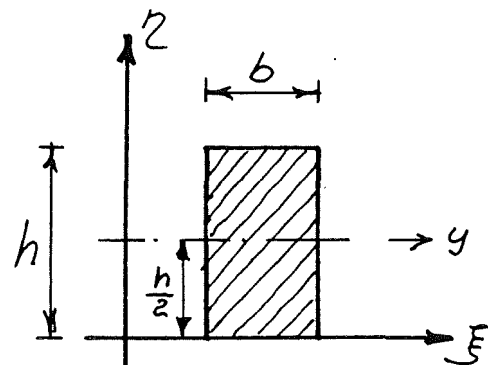
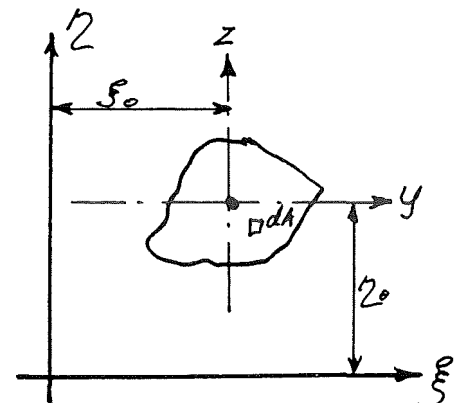
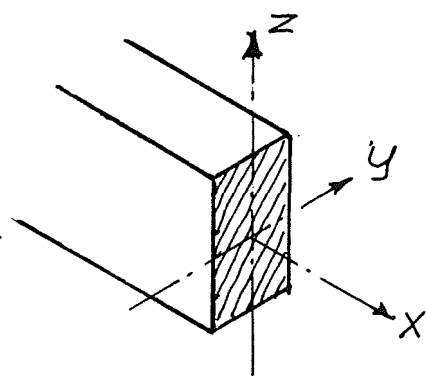
### Eksempel 35.

$$\begin{aligned} I_g &= \frac{1}{12} \cdot b \cdot h^3 + \left(\frac{h}{2}\right)^2 \cdot b \cdot h = \\ &= \frac{1}{12} \cdot b \cdot h^3 + \frac{h^2}{4} \cdot b \cdot h = \\ &= \left(\frac{1}{12} + \frac{1}{4}\right) \cdot b \cdot h^3 = \\ &= \left(\frac{1}{12} + \frac{3}{12}\right) \cdot b \cdot h^3 = \end{aligned}$$

$$I_g = \frac{1}{3} \cdot b \cdot h^3$$

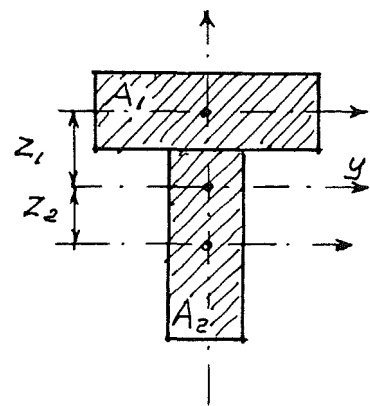
Når inertimomentet skal findes af et trærsnit sammensat af deltrærsnit med kendt inertimoment bruges flytteformlen.

$$I_y = \sum I_o + Z^2 \cdot A$$



$$I_y = I_{o,1} + I_{o,2} + I_{o,n} + z_1^2 \cdot A_1 + z_2^2 \cdot A_2 + z_n^2 \cdot A_n$$

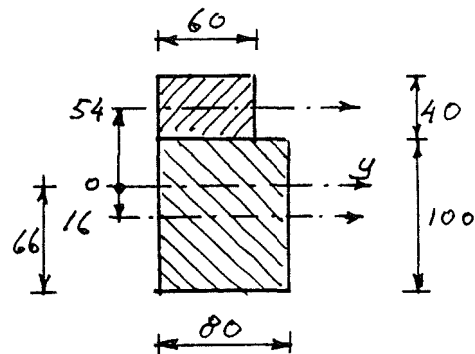
$I_o$  er deltrærsnittets inertimoment om egen tp.-akse,  
og  $y$  er flytteafstanden  
fra deltrærsnittets tyngdepunktsakse til hele trærsnittets fælles tp.-akse.  
 $A$  er deltrærsnittets areal.



### Eksempel 36.

$$I_y = \frac{1}{12} \cdot 80 \cdot 100^3 + \frac{1}{12} \cdot 60 \cdot 40^3 + \\ 16^2 \cdot 80 \cdot 100 + 54^2 \cdot 60 \cdot 40 =$$

$$I_y = \underline{\underline{15,59 \cdot 10^6 \text{ mm}^4}}$$



Beregning af inertimoment gøres lettere og mere overskueligt i skemaform.

	$A = b \cdot h$	$\bar{z}$	$S_g = A \cdot \bar{z}$	$I_o = \frac{1}{12} \cdot b \cdot h^3$	$z$	$I_y = I_o + z^2 \cdot A$
I	$40 \cdot 60 = 2,4 \cdot 10^3$	120	$288,0 \cdot 10^3$	$\frac{1}{12} \cdot 60 \cdot 40^3$	54	$8,92 \cdot 10^6$
II	$80 \cdot 100 = 8,0 \cdot 10^3$	50	$400,0 \cdot 10^3$	$\frac{1}{12} \cdot 80 \cdot 100^3$	16	$6,67 \cdot 10^6$
$\Sigma$	$10,4 \cdot 10^3$		$688,0 \cdot 10^3$			$15,59 \cdot 10^6 \text{ mm}^4$

$$R_o = \frac{688,0 \cdot 10^3}{10,4 \cdot 10^3} = \underline{\underline{66 \text{ mm}}}$$

## Huller i trærsnit med kendt inertimoment.

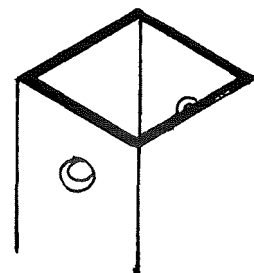
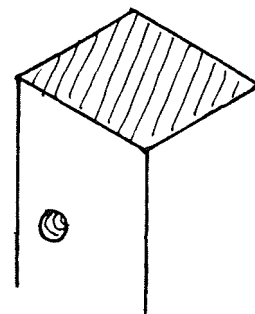
Her kan flytte formlen også bruges.

$$I_y = I_o + z^2 \cdot A \Rightarrow$$

$$I_{y,red} = I_y - (I_o + z^2 \cdot A)$$

$I_y$  er inertimoment i træsnitsstabel.

$I_o + z^2 \cdot A$  er fradrag for huller.



### Eksempel 37.

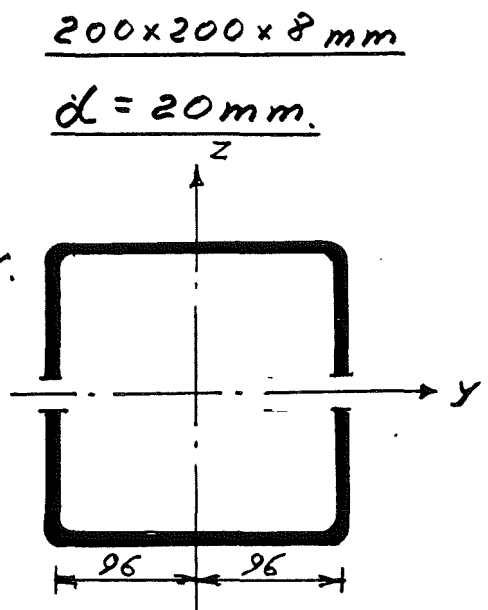
Huller symmetrisk i forhold til tyngdepunktsakser.

$$I_y = 29,6 \cdot 10^6 - (\frac{1}{12} \cdot 8 \cdot 20^3 + 0^2 \cdot 8 \cdot 20) \cdot 2 =$$

$$I_y = \underline{29,59 \cdot 10^6 \text{ mm}^4}$$

$$I_z = 29,6 \cdot 10^6 - (\frac{1}{12} \cdot 20 \cdot 8^3 + 96^2 \cdot 8 \cdot 20) \cdot 2 =$$

$$I_z = \underline{26,65 \cdot 10^6 \text{ mm}^4}$$



$$I_y = I_z = 29,6 \cdot 10^6 \text{ mm}^4$$

### Eksempel 38.

Huller usymmetrisk i forhold til tyngdepunktsakser. D.v.s. tyngdepunktsakserne for det reducerede og det oprindelige

troørsnit ikke er sammenfaldende.

$$z_0 = \frac{5,98 \cdot 10^3 \cdot 100 - 2 \cdot 8 \cdot 20 \cdot 150}{5,98 \cdot 10^3 - 2 \cdot 8 \cdot 20} =$$

$$z_0 = \underline{97 \text{ mm}}$$

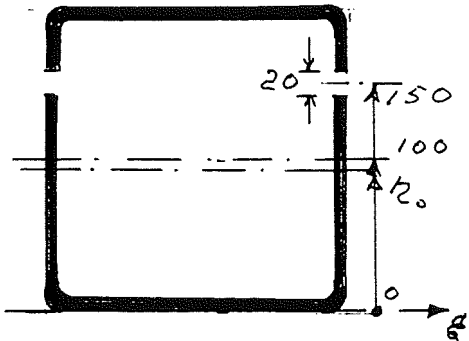
D.v.s. tyngdepunktet flyttes 3 mm p.g.a. huller.

Inertimoment af det fulde troørsnit om dets nytstående akse.

$$I_y = 29,6 \cdot 10^6 + 5,98 \cdot 10^3 \cdot 3^2 = 29,65 \cdot 10^6$$

Fradrag for huller.

$$-(\frac{1}{12} \cdot 8 \cdot 20^3 + 8 \cdot 20 \cdot 53^2) \cdot 2 = -0,91 \cdot 10^6$$



$$200 \times 200 \times 8 \text{ mm}$$

$$I = 29,6 \cdot 10^6 \text{ mm}^4$$

$$A = 5,98 \cdot 10^3 \text{ mm}^2$$

$$d = 20 \text{ mm}$$

$$y = 150 - 97 = 53 \text{ mm.}$$

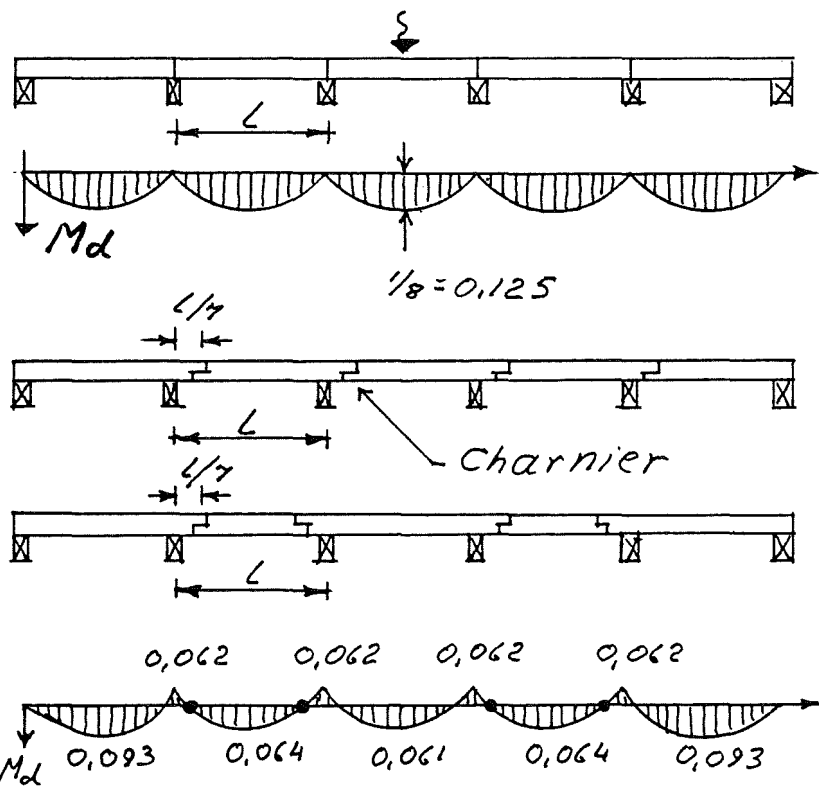
$$\underline{\underline{I_{y,rad} = 28,74 \cdot 10^6 \text{ mm}^4}}$$

## Gerberbjælker.

Åse og lignende sekundære konstruktioner kan med fordel udføres som gerberåse, fordelen er at der kan anvendes mindre dimension end ved simpelt understøttede åse.

$$M_d = \frac{1}{8} \cdot r_d \cdot L^2$$

### Simpel understøttet.



### Gerber.

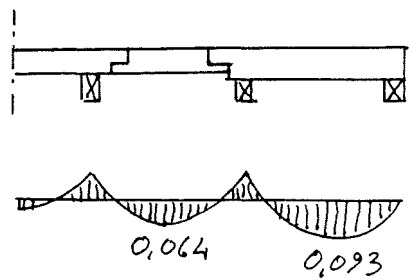
### Gerber.

Hvis charnier placeres i afstanden  $\frac{1}{7}$  fra understøtningen, vil pos. og neg. momenter ved mellemfagene have nogenlunde samme størrelse, men noget større i yderfag.

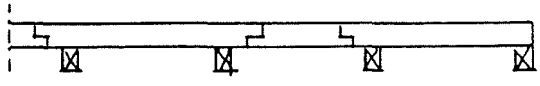
$$M_d = 0,093 \cdot r_d \cdot L^2$$

$$M_d = 0,064 \cdot r_d \cdot L^2$$

Hvis det accepteres med større dimension i yderfagene kan faktorerne 0,093 for yderfag og 0,064 for mellemfag bruges.



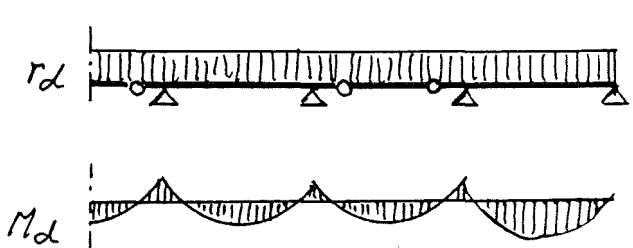
Ved lige store dimensioner i alle fag og med charnier 1/2 fra understøtning, samt jævnt fordele last.



$$M_d = 0,095 \cdot r_d \cdot L^2$$

$$U = 0,0089 \cdot \frac{q_k \cdot L^4}{E \cdot I}$$

$$I = 0,0089 \cdot \frac{q_k \cdot L^4}{E \cdot U}$$



### Eksempel 39.

Sne  $0,75 \text{ kN/m}^2$ , g.  $0,27 \text{ kN/m}^2$

$f_y d = 215 \text{ N/mm}^2$ , IPE? g  $\sim 0,2 \text{ kN/m}$

$$r_d = (0,75 \cdot 1,3 + 0,27) 3,2 + 0,2 = 4,18 \text{ kN/m}$$

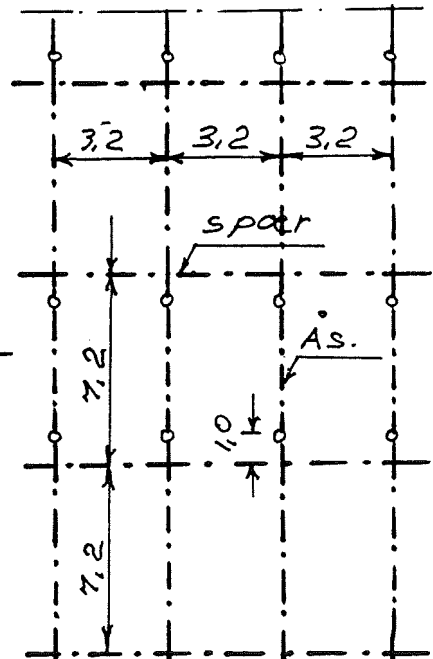
$$M_d = 0,095 \cdot 4,18 \cdot 7,2^2 = 20,59 \text{ kNm}$$

$$W = \frac{20,59 \cdot 10^6}{215} = 95,77 \cdot 10^3 \text{ mm}^3$$

### Valg IPE 160.

$$I = 8,69 \cdot 10^6 \text{ mm}^4, W = 109 \cdot 10^3 \text{ mm}^3$$

$$U = 0,0089 \cdot \frac{0,75 \cdot 3,2 \cdot 7,2^4 \cdot 10^{12}}{0,21 \cdot 10^6 \cdot 8,69 \cdot 10^6} = \underline{31 \text{ mm}} < \frac{2800}{200} = \underline{36 \text{ mm}}$$



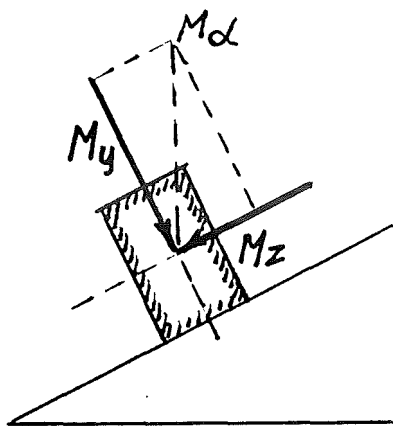
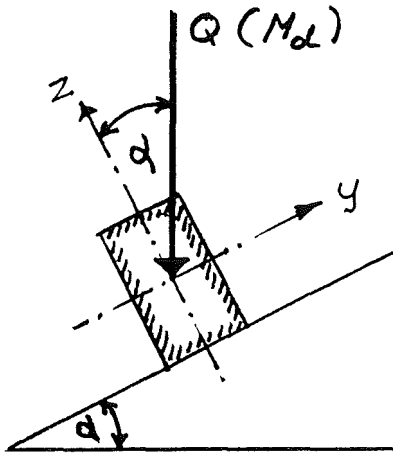
## Skæv bøjning.

Når en bjælke ikke modtager lasten i sit symmetriplan er der tale om skæv bøjning.

Lettest vil beregningen ske ved at momentet fra den „skæve“ last findes, og derefter oplyses i bjælkenes 2 hovedretninger.

$$M_z = M_d \cdot \sin \alpha$$

$$M_y = M_d \cdot \cos \alpha$$



For  $M_y$  findes spændingerne af:

$$\sigma_y = \frac{M_y}{W_y}$$

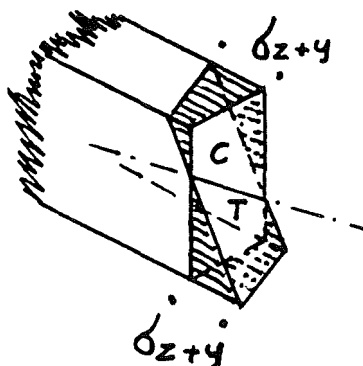
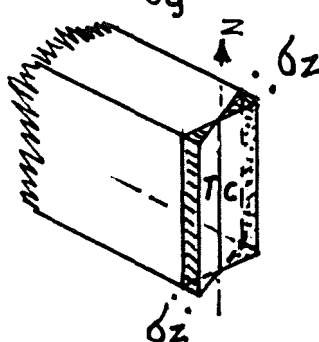
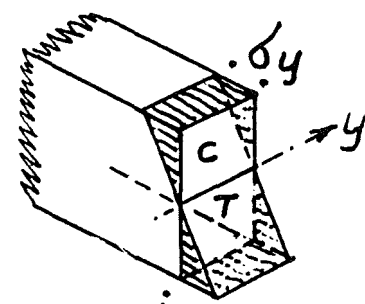
og for  $M_z$

$$\sigma_z = \frac{M_z}{W_z}$$

og de resulterende spændinger bliver

$$\sigma_{z+y} = \sigma_z + \sigma_y \text{ eller}$$

$$\sigma_{z+y} = \frac{M_z}{W_z} + \frac{M_y}{W_y} \leq f_{md} \text{ el. fyd}$$



## skæv nedbøjning.

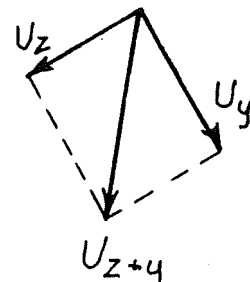
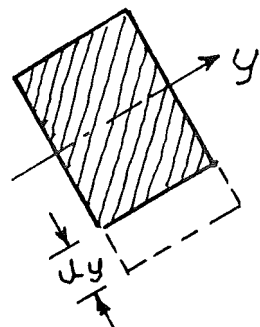
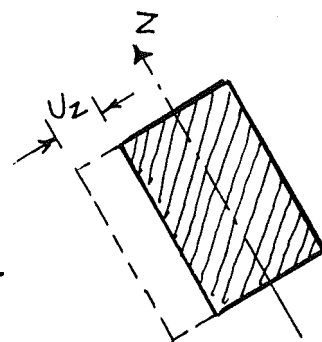
For bjælker med skæv bøjning, beregnes nedbøjningen som resultanten af nedbøjningerne i y- og z-retning.

For en simpel understøttet bjælke med jævnt fordelt last.

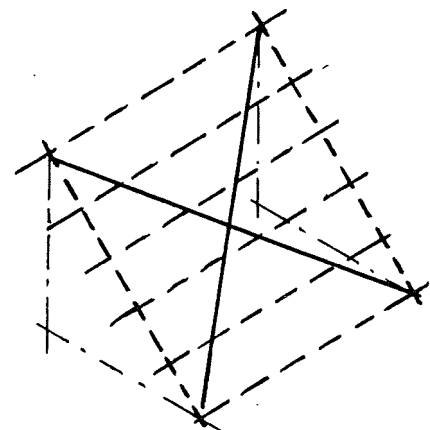
$$U_z = \frac{5}{384} \cdot \frac{q_k \cdot \sin \alpha \cdot L^4}{E \cdot I_z}$$

$$U_y = \frac{5}{384} \cdot \frac{q_k \cdot \cos \alpha \cdot L^4}{E \cdot I_y}$$

$$U_{z+y} = \sqrt{U_z^2 + U_y^2}$$



Hvis tagbeklædningen fungerer som skive i tagets plan, vil der ikke være skæv bøjning, idet udbøjning da kun kan forekomme vinkelret på tagets plan.



Eksempel 40.

$$Sne. 0,75 \text{ kN/m}^2, g. 0,60 \text{ kN/m}^2$$

$$\alpha = 30^\circ, a = 0,9 \text{ m}, K18, l = 4,00 \text{ m}$$

$$r_d = (1,3 \cdot 0,75 + 0,60) \cdot 0,9 = 1,42 \text{ kN/m}$$

$$M_d = \frac{1}{8} \cdot 1,42 \cdot 4,0^2 = 2,84 \text{ kNm}$$

$$M_z = 2,84 \cdot \sin 30^\circ = 1,42 \text{ kNm}$$

$$M_y = 2,84 \cdot \cos 30^\circ = 2,46 \text{ kNm}$$

$$W_z = \frac{1,42 \cdot 10^6}{9,0} = 157,8 \cdot 10^3 \text{ mm}^3$$

$$W_y = \frac{2,46 \cdot 10^6}{9,0} = 273,3 \cdot 10^3 \text{ mm}^3$$

Da spændingen bliver

$\sigma_z + \sigma_y$  skal  $W_z$  og  $W_y$  for-dobles.

Valg. 150x150 mm

$$W_z = W_y = 563 \cdot 10^3, I_z = I_y = 42,2 \cdot 10^6$$

$$\sigma_{z+y} = \frac{1,42 \cdot 10^6}{563 \cdot 10^3} + \frac{2,46 \cdot 10^6}{563 \cdot 10^3} = 6,89 \text{ N/mm}^2 < 9,0$$

$$u_z = \frac{5}{384} \cdot \frac{0,75 \cdot 0,9 \cdot \sin 30^\circ \cdot 4,0^4 \cdot 10^{12}}{5400 \cdot 42,2 \cdot 10^6} = 4,9 \text{ mm}$$

$$u_y = \frac{5}{384} \cdot \frac{0,75 \cdot 0,9 \cdot \cos 30^\circ \cdot 4,0^4 \cdot 10^{12}}{5400 \cdot 42,2 \cdot 10^6} = 8,6 \text{ mm}$$

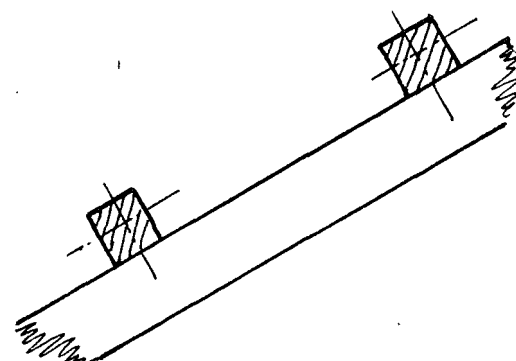
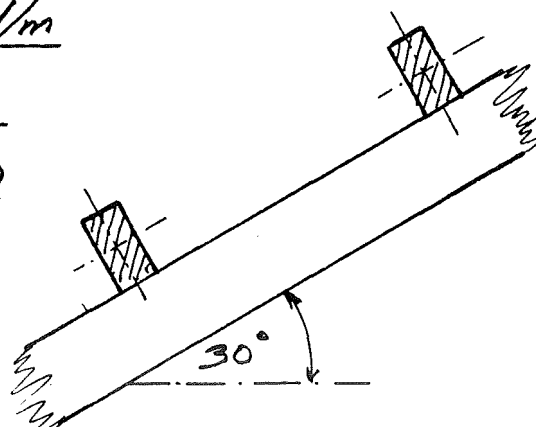
$$u = \sqrt{4,9^2 + 8,6^2} = 9,9 \text{ mm} < \frac{4000}{400} = 10 \text{ mm}$$

Eller 100x200 mm  $W_z = 333 \cdot 10^3,$

$$I_z = 16,65 \cdot 10^6, I_y = 66,7 \cdot 10^6, W_y = 667 \cdot 10^3$$

$$\sigma_{z+y} = ?$$

$$u = ?$$



## 2-Charnieres rammer.

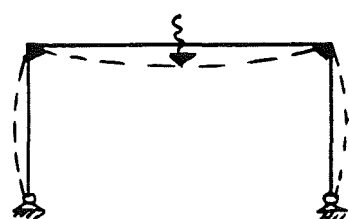
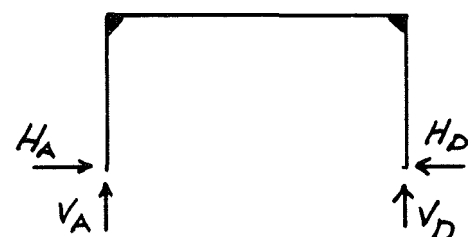
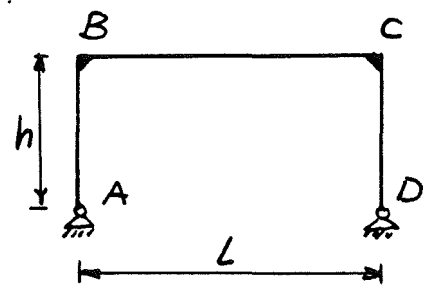
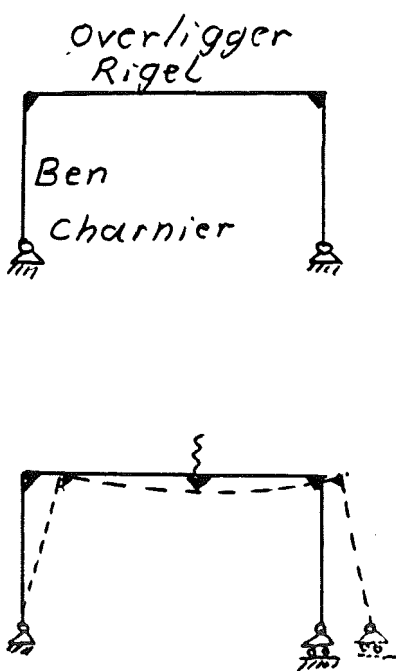
Denne rammetype er en statisk ubestemt konstruktion.

For at være stabil skal rammen have 2 faste lejer, hvilket giver 4 ukendte.

De lodrette reaktioner  $V_A$  og  $V_D$  kan bestemmes ved hjælp af ligevægtsligningerne.

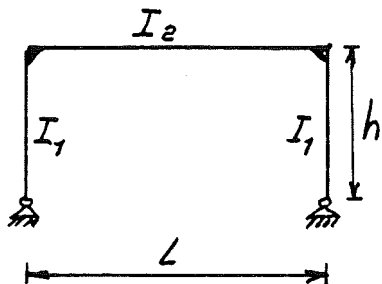
De vandrette reaktioner kan ikke bestemmes ved hjælp af ligevægtsligningerne. Størrelsen af  $H_A$  og  $H_D$  er afhængig af rammens last, geometri ( $L \cdot h$ ) og deformationer ( $I$ ). Last og geometri er kendte, men rammedelenes inertimoment kendes ikke.

Til hjælp for beregningen indføres en faktor der tager hensyn til ovenstående deformationsforhold.



$$k = \frac{I_2}{I_1} \cdot \frac{h}{L}$$

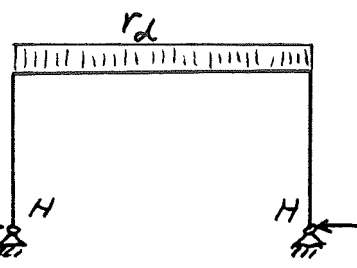
Inertimomenterne  $I_1$  og  $I_2$  bestemmes eller gøttes efter deres indbyrdes forhold, f.eks. 1/1 hvilket vil sige rammeben og overligger lige store.



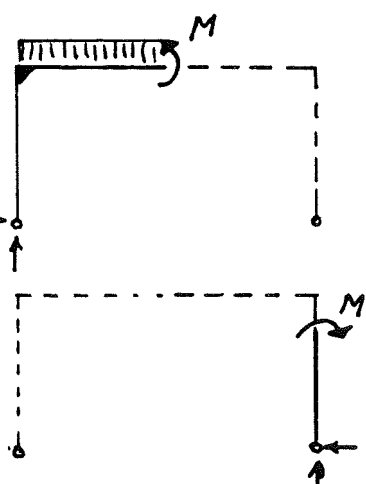
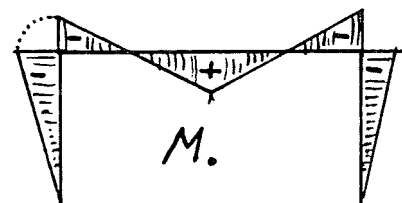
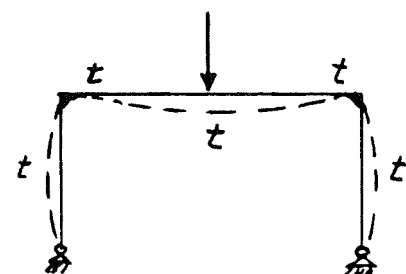
I teknisk ståbi side 116 findes formler til at bestemme størrelsen af de vandrette reaktioner. Derefter kan rammen snitkraeftter findes ved hjælp af ligevoegtsligningerne.

Når en ramme har træk i indersiden er momentet positivt, og for træk i ydersiden er momentet negativt.

Fortegnsregel. Regnes rammedelen til venstre for snittet tegnes snitpilen mod uret, og regnes rammedelen til højre for snittet tegnes snitpilen med uret.



$$H = \frac{rd \cdot L^2}{4 \cdot h (2k+3)}$$



Sammenhøengen med last og momentkurve er den samme som for bjælker, jævnt fordelt last giver en parabelformet momentkurve, en enkelkraft giver et knækpunkt og ingen last giver en ret linje.

En skitsering af rammens deformation, hvor ramme-hjørnernes vinkel ikke ændres vil kunne være til hjælp når momentkurven skal tegnes.

### Eksempel 41.

Jævnt fordelt lodret last på overligger  $r_d = 10,0 \text{ kN/m}$   
 $h = 3,0 \text{ m}$ ,  $L = 8,0 \text{ m}$

overligger og ben lige store.

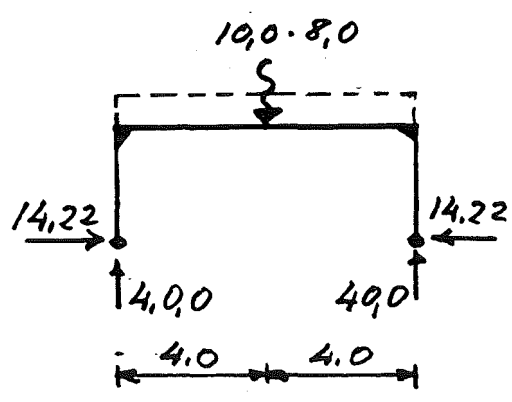
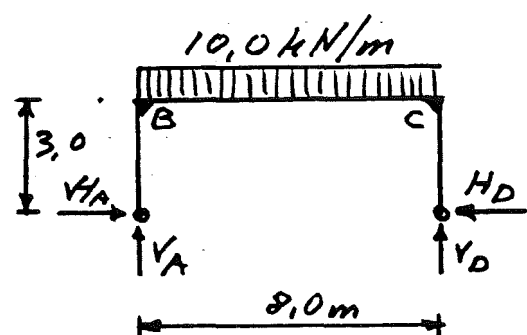
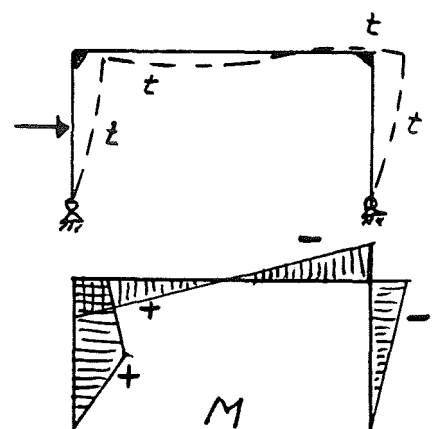
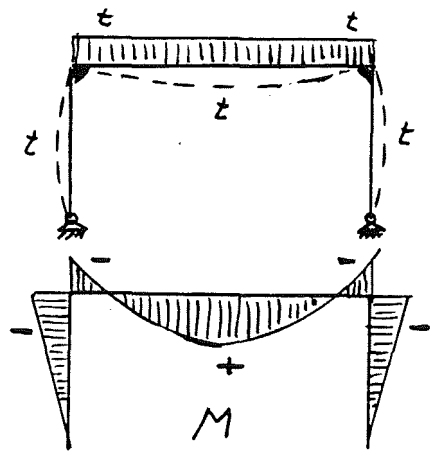
$$K = \frac{1}{1} \cdot \frac{3}{8} = \underline{0,375}$$

$$H_A = H_D = \frac{10,0 \cdot 8,0^2}{4 \cdot 3 (2 \cdot 0,375 + 3)} = \underline{14,22 \text{ kN}}$$

$\sum M = 0$ :  $V_A$ :

$$10,0 \cdot 8,0 \cdot 4,0 - V_D \cdot 8,0 = 0 \Rightarrow$$

$$V_D = \frac{10,0 \cdot 8,0 \cdot 4,0}{8,0} = \underline{40,0 \text{ kN}}$$

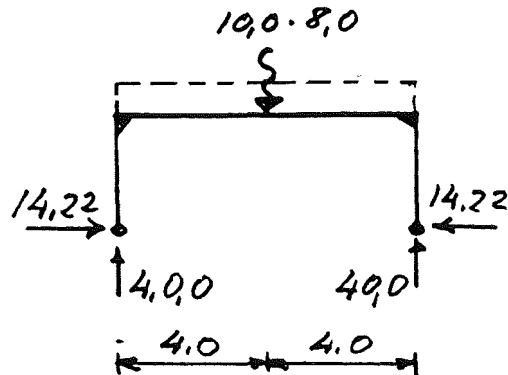


$\sum M = 0 \downarrow D:$

$$V_A \cdot 8,0 - 10,0 \cdot 8,0 \cdot 4,0 = 0 \Rightarrow$$

$$V_A = \frac{10,0 \cdot 8,0 \cdot 4,0}{8,0} = 40,0 \text{ kN}$$

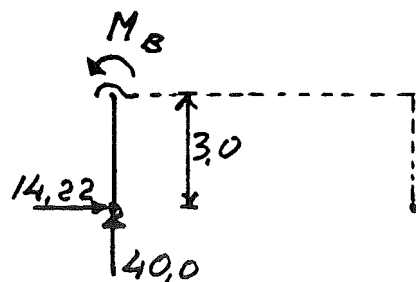
$$\sum V = 0: 40,0 - 10,0 \cdot 8,0 + 40,0 = 0$$



$\sum M = 0 \downarrow B:$

$$- 14,22 \cdot 3,0 - M_B = 0 \Rightarrow$$

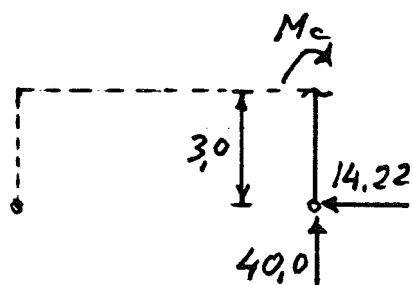
$$M_B = - 14,22 \cdot 3,0 = - 42,66 \text{ kNm}$$



$\sum M = 0 \downarrow C:$

$$14,22 \cdot 3,0 + M_C = 0 \Rightarrow$$

$$M_C = - 14,22 \cdot 3,0 = - 42,66 \text{ kNm}$$

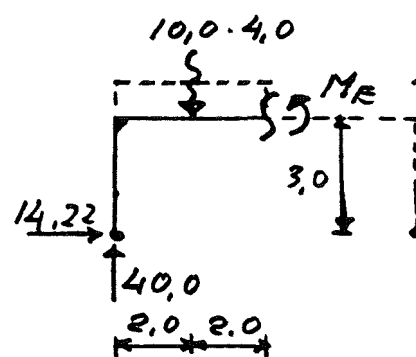


$\sum M = 0 \downarrow E:$

$$40,0 \cdot 4,0 - 14,22 \cdot 3,0 - 10,0 \cdot 4,0 \cdot 2,0 - M_E = 0 \Rightarrow$$

$$M_E = 40,0 \cdot 4,0 - 14,22 \cdot 3,0 - 10,0 \cdot 4,0 \cdot 2,0 =$$

$$M_E = 37,34 \text{ kNm}$$



Da  $M_B = M_C \approx |M_E|$

vil forudsætningen

$I_1 = I_2$  let kunne opfyldes.

Hvis momenterne var meget forskellige kunne omregning være nødvendig.  $M_d$ -kurve. dog ikke hvis  $I_1 = I_2$  fastholdes.

